

1952

762

NaNO_3 , KNO_3 (Тм)

Бергман А.Г., Беруль С.И.

Извест. Сектора Физ.Хим.Анал., Инст.
общей неорг.хим., Акад.Наук СССР, 1952,
21, 178-83

Взаимодействие между ...

Be

V 1601 1952

6758

Sm(NaF, KF, NaCl, KCl, AgCl, AgNO₃,
NaNO₃, CaCl₂, PbCl₂, PbJ₂, HgBr₂)

Sutra G.

Colloques intern. contre natl.
recherche sci. (Paris)

1952, 39, Electrolyse C38-C40
A criterion for the ...

Be

752 - X - BP

1953

$\text{NaNO}_2 \cdot \text{NaNO}_3$ (Ttr)

Берман А.Р., берущ. С.Н.,
Маконова Н.Н.

Изд. Сокольская физ. хим. астрономия

Ин-т общ. и приклад. химии им. Курчатова /,
1953, № 26, 183-188

Микрорентгеноскопия ...

Be

еерб Ф.К.

V 2656 - B.P.

1953

LiNO₃, NaNO₃, KNO₃, RbNO₃, CsNO₃, AgNO₃ (Tm, Ttr)

Davis W.J., Rogers S.E., Ubbelohde A.R.

Proc. Roy. Soc. (London), 1953, A220, 14-24

Melting and crystal structure. The mechanism
of melting of Group I nitrates.

CA, 1954, 4277d

Est. fEkg Th. Φ. M.

Be.

6755

Y-376

VI-3893-BP 1953
BP-6755-X

LiCl, NaCl, KCl, NaF, ~~NaNO₃~~, KNO₃,

TlCl, AgCl, PbCl₂ (Sm)

Воскресенская Н.К.

Изв.сект.Физ-хим.анал., АН СССР,
1953, 23, I65-75

Attempt at classification of ...

Be

Есть в. в.

NaNO_3

Byz-6755-X

1953

Восточносибирская Н.К.

Кривое
ниавное
расщепление

изв. секторе
анализа
изв. хим. сектора
СССР, 1953, 23,

● 155-73

NaNO_3 берегов А. Т., 1954

113

Реметников Н. А.

Уг. севера союз.-хими. ака-
демии наук АН СССР,
1954, 25, с. 208.

[29]

NaNO_3 (крист)  T_m

1954

NaNO_3

Bees W

Angew. Chem., 1954, 66, 336

Panau-cu.
pacuca

I LiNO_3

6749

VJ-3829

1954

Tm(AgCl, CuCl, CdCl₂, PbCl₂, SnCl₂,
LiNO₃, NaNO₃, KNO₃, AgNO₃, NaNO₂, KNO₂)

Cakau

J. Chem. Soc. Japan. Pure Chem. Soc.,
1954, 75, N 2, 182-189

Chem. Abstrs., 1954, 48, 12492

Физико-химические свойства...

Бс

Nano₃

L 1954

BP-599-X

Брехов Р., Тенов А.

Докл. Высш. дн.

1954, 7, VI, 34-40

X-7532 1954

NaNO₃ (Tr)

Neekobur U.A.,

Н. Guy. Канада,

1954, 28, 2255-2257

T

NaNO_3 (T_b)

X-7531 1954

Мохнаткии М. ГТ.,

Ил. приг. Хицуми;

1954, 28, 552-553

T

Соколов В.А., Милот Н.Е. | 1955

NaNO_3 ИСФХА, 1955, 26, 123 - 131

X-180-X

Теплоемкость и теплоемкость
излучения излучающей камеры

камеры

$C_p > 298$

29

ΔH_{molar}

T_{molar}

$C_p (n)$

$$C_p(n) = \frac{33,6 \text{ кДж/моль}}{5} = 6,7 \text{ кДж/моль}$$

2-ой

X-56-3-6358

TOK	H _r -H _o	S _r
-----	--------------------------------	----------------

298,16	4120	27,6
--------	------	------

400	6600	34,8
-----	------	------

500	9640	41,6
-----	------	------

579,6	13080	47,8
-------	-------	------

579,6	<u>16675</u>	51,00
-------	--------------	-------

ΔH _n	<u>3595</u>	
-----------------	-------------	--

600	19035	55,2
-----	-------	------

650	19415	57,9
-----	-------	------

Соколов В.А. Шмидт Н.Е. | 1955

NaNO_3

ИСДХА, 1955, 26, 123-131

Температура и тепловой
направление NaNO_3
(420 - 387°C).

$$\Delta H_{306,4 \pm 0,1^{\circ}\text{C}} = 3596 \pm 8 \text{ кал/моль}$$

При $t = \sim 273,8^{\circ}\text{C}$ - аномалия

с обратным максимумом

X-56-3-6358

NalNo₃

Sorokov BA.

1956

Извещение сектора груз-хим азаки
ИИ-7а о разрыве телеграфной линии АкССР

1956 27.2.7

NaNO_3 Токарева М. В. 1956
1018

Район. зан. Воронежской области
Абиссова зоог. мед. ин-та, 1956,
бес. 6., с. 3

[31]

$\text{NaNO}_3 (T_f, x_0)$ T_m

V 1213

1957

LiNO_3 , NaNO_3 , KNO_3 (Cp, Cv)

LiCl , NaCl , KCl , CsCl ,

LiBr , NaBr , KBr , CsBr

NaI , KJ , CdCl_2

Bockris J.O.M., Richards N.E.

Proc. Roy. Soc., 1957, A241, N1224, 44-66

The compressibilities, free volumes and equation of state for molten electrolytes: some alkali halides and nitrates.

PJX., 1958, N8, 24142
Be.

E.C.T. H.
Est. Fotokop.

1957

778

Нано₃ (Ttr)

Корнфельд М.И., Чудинов А.А.
Ж.Эксперим. и теор. физики, 1957, № 33,
№ I /7/, 33-36
Изменение констант ...

Ве

6574 (AI-Trans-17) CALORIMETRIC INVESTIGA-
TIONS CONCERNING THE TRANSITION IN NaNO_3 AND
ITS MELTING PROCESS. Arvo Mustajoki. Translated by
Anthony Cornell (Atomsics International, Div. of North
American Aviation, Inc., Canoga Park, Calif.) from Ann. .
Acad. Sci. Fennicae, Ser. A, VI, No. 5, (1957). 17p.

1954

NaNO_3

T_{tr}
 ΔH_{tr}

T_m
 ΔH_m

The values of the specific heat of NaNO_3 , were measured upon heating as well as on cooling in the temperature range 60 to 345°C by the Moser calorimeter. On the basis of the anomalies of the curve of the specific heat, the heat of transition and the transition entropy of the λ transition taking place in the NaNO_3 crystal, as well as the heat of fusion and fusion entropy, were determined. The transition heat and the heat of fusion were also determined by means of direct enthalpy measurements. As transition heat and transition entropy, 944.0 cal/mole, and 1.26 cal/mole degrees were obtained. As heat of fusion and fusion entropy, 3.49 kcal/mole, and 6.03 cal/mole degrees were obtained. The values of molar heat as well as the enthalpy and entropy changes, from room temperature up, were calculated. (auth)

NSA 1964.18.4

NaNO_3

Берегов С.И.

1958

НСНХ,

3, N 10, 2427

Медногородческое се-
секционное при исследов.
м-рах KNO_3 , NaNO_3 и
 NaNO_2 .



66



763-X-BP

1958

NaNO₃ (- Tm, - Ttr)

Eades R.G., Hughes D.G.,
Andrew E.R.

Proc. Phys. Soc., 1958, 71, N 6,
1019-1020

The nuclear quadrupole ...

Be

120 130 140 150

120 130 140

120 130 140

777

1958

NaNO_3 (Naq)

Киселева Е.В.

Научн.докл.высш.школы.Химия и хим.
технол., 1958, № 3, 405-407

Теплота взаимодействия ...

W

если ф.к.

1958

д/р
Борисенко М. И., Чудинов А. Г.

№ № 3

Ж. эксперим. и теор. физики,
1957, 33, № 1(7). 33-36.

Изменение константой упру-
гости напряженной структуры
при разрыве и переходе второго
фазы.

X-20-58-66781

~~Kaz-Kazanova~~

1959.

No 103

Cases-Casanova Jaime

Bull Soc. chim. France,

1959, N 2, 429-434, 435-440.

Термур.
разн.

Медицинское патология
стенок рота Гангрел.

Г. Изучение разложения
нейтронопакетом перекиси
используя и ее количественные

X-59-19-67239

реакции между окисью азо-
ма и окисью тантра. Сине-
матическое анионное
исследование и изучение реак-
ции в присутствии окиси
титана.

IX - 9154

1959

LiF, LiBr, NaCl, NaClO₃, NaNO₃, NaBrO₃,
NaSO₃, KI, KCl, KNO₃, RbF, CsCl, Li₂SO₄,
K₂SO₄, Na₃[Fe(CN)₆], K₃[Fe(CN)₆], Ba(NO₃)₂,
La(NO₃)₃.
(A. Haq)

Lange E.

Structure Electrolytic Solutions, New York,
John Wiley and Sons; Inc. London, Chapman and
Hall, Ltd., 1959, 135-151
Prak, 1960, 38063
B. Iu

NaNO₃

BP 1340-X

1959

Рищетников Г.А. и др.

Уф. физ. хим. ин-та
при Уральской ун-те,
1959, 4, № 1, 9-27

1959

747

KNO_3 , NaNO_3 , KNO_2 , NaNO_2 (Кр)

3

5

2

Сироткин Г.Д.

Ж.неорганической, 1959, 4, Б II,

2558-2563

Равновесие в расплавах нитратов ...

W

NaNO_3
4588

(Van) Tassel J.H., 1959
Wendlandt W.W.

Леонидов

J. Amer. Chem. Soc.,
1959, 81, p. 813

$1e-108$

● NaNO_3 (к) $\Delta_f H^\circ$

1960

14Б173. Рентгеновские измерения теплового расширения нитрата натрия. Kantola Martti, Vilho-nen Erkki. X-ray measurements of the thermal expansion of sodium nitrate. «Suomalais. tiedeakat. toimituks», 1960, Sar. AVI, № 54, 10 pp., ill. (англ.).—Проведено прецизионное измерение температурной зависимости параметров решетки NaNO_3 . Рентгеновские измерения (метод порошка; $\lambda\text{Cu}-K_\alpha$) выполнены в спец. высокотемпературной камере. Эффективный диаметр ее и т-ра измерения определены с помощью стандарта (NaCl). Для исследования порошок набивался в стеклянные капилляры диам. 0,3 мм. Коэф. термич. расширения α по оси a равен $11,5 \cdot 10^{-6}$ град $^{-1}$ и практически не изменился в исследуемом интервале т-р. α_c меняется в пределах $(120-145) \cdot 10^{-6}$ при возрастании т-ры от комнатной до 200° , затем при повышении т-ры до $250-275^\circ$ резко растет до $460 \cdot 10^{-6}$. При дальнейшем повышении т-ры до 300° термич. коэф. объемного расширения падает до $220 \cdot 10^{-6}$. Термич. коэф. объемного расширения равен $2\alpha_a + \alpha_c$. Разработан способ индикации дебаеграмм с использованием влияния анизотропии термич. расширения по разным кристаллографич. осям на положение различных линий на дебаеграмме. А. К.

NaNO_3

окт. 1961 · 14

1960

769

H_{mix} (KNO₃, NaNO₃)

Kleppa O.J.

J. Phys. Chem., 1960, 64, N 12,
1937-1940

A new twin high-temperature ...

W

X 1674

1960

ZrO₃; NaNO₃; KNO₃; RbNO₃; CsNO₃;
CaCl₂; BaCl₂; BaCl₂; CaBr₂; SrBr₂; BaBr₂;
Ca(NO₃)₂; Sr(NO₃)₂; Ba(NO₃)₂ (Tas)

E C T b . **phi.** **H** **hinnie H.,** **Bauerwald F.,**

Z. Anorg. und. allg. Chem., **1960,**
304, H-2, 28-36

5

P.L., 1961, 25411

NaNO₃

*фазовый
переход*

х. 1961. 14

ЛНБ429. О фазовом переходе II-го рода у нитрата натрия. Равич Г. Б., Егоров Б. Н. «Ж. неорг. химии», 1960, 5, № 11, 2603—2611.—С помощью линейной дилатометрии и дифференциального термич. анализа изучен фазовый переход II рода в поликристаллич. NaNO_3 . Методика исследования, описана ранее (РЖХим, 1959, № 9, 30463). Измерены абс. значения теплового расширения и рассчитаны коэф. объемного расширения. Полученные результаты сопоставлены с данными других авторов. С помощью емкостного электронного дилатометра автоматически записан ход кривых при различных скоростях охлаждения и нагревания в зоне фазового превращения (160 — 275°). Скорости менялись в пределах $0,2$ — 6 град/мин. Воспроизводимость данных укладывалась в пределах точности эксперимента: $\pm 0,5^\circ$ и $\pm 0,3 \mu\text{м}$. При сопоставлении кривых изменения теплоемкости (РЖХим, 1958, № 14, 45878) с кривыми дифференциального термич. анализа сделан вывод о наличии полтермич. теплоты фазового перехода II рода, что, по мнению авторов, не противоречит отсутствию изотермич. теплоты при этом переходе, равной 1150 кал/моль, если принять теплоту плавления равной 3596 кал/моль (РЖХим, 1956, № 3, 6358).

К. Якимович

1960

1960

781

NaNO_3 (Ttr)

Сонин А.С., Желудев И.С., Добржанский Г.Ф.
Изв.АН СССР, Сер.Физ., 1960, 24, № 10,
1209-1212

о сегнетоэлектрических ...

Be

A-429

1960

NaNO₃; Mg(NO₃)₂, BaSO₄... 29Be-6
(A.S., 3)

Дзиндерский К. Б., Краснов Г.Н.,

д. физ. науки, 1960, 34, № 1,
2448-53

м, б

Р.Х., 1961, 145350.

277

Cp (NaNO₃) BP-1522-III 1961

Bizouard M., Pauty F.

C.r. Acad.sci., 1961, 252, N 4,
514-515 ()

Sur la mesure des chaleurs
molaires de quelques sels et
métaux fondus

PX., 1961, 23б 278

Есть ф. к.

5

6672

VI - 3638

1961

$\text{Pb}(\text{NO}_3)_2$, AgNO_3 , CsNO_3 , LiNO_3 ,
 NaNO_3 , KNO_3

Janz G.I., Jones D.W.

J.Chem.Phys., 1961, 35, N 2,
739-744

Raman spectra and ...

J

V - 4226

1961

NaNO₃, LiNO₃, AgNO₃ (sHg);
Ag⁺ (DHF, S)

Jakuszewski B., Tariewska-Osińska S.,
Logwinienko R.

Bull. Acad. polon. sci. ser. sci. chim.

БГТБ

1961, 9, n3, 127-132

Phex, 1962, 9, 384

B

P-B-X-468

1964

N.W.D.S.

Khanna R.K.

Proc. Nat. Inst. Sci. India
1961, Part, W5, 489-495

Cp

BGS - 768-X

1961.

NaNO₃

Khanna R. K.

Proc. Natl. Inst. Sci. India
Pt. A 24, 489

Polarized infrared spectrum
and specific heat of sodium
nitrate. (c.c.e. NaNO₃ cnekip)

14

C. A. 1963 59. 5
46799.

VI-4930

1961

(K-Ag)NO₃, (Li-Ag)NO₃, (Rb-Ag)NO₃,
AgNO₃-NaNO₃, AgNO₃ (8H mix)

Kleppa O.J., Clarke R.B.,
Hersh L.S.

J. Chem. Phys., 1961, 35, 175-180

4

4919-X

1961

AgNO₃, NaNO₃,
AgNO₃ - NaNO₃ (ΔH_f , ΔG_f).

Sinistri C.,

Ricerca scientifica, ser. II, Rendiconti;

1961, 1, sez. A, n. 1, 56-66.



M.5

1961

NaNO₃

8Б189. Рентгенографическое исследование фазового перехода в NaNO₃. Исмайлзаде И. Г., Аппагиев М. Х., Абдуллаева Х. М. «Кристаллография», 1961, 6, № 5, 733—736.—Методом рентгендифрактометра (λ Fe) проведено исследование температурной зависимости параметров решетки NaNO₃ (I) с целью выяснения природы фазового перехода в I. Полученные структурные данные подтвердили принадлежность сегнетоэлектрич. фазы I к ф. гр. $Im\bar{2}m$ (Ziegler G. E., Phys. Rev., 1931, 38, № 5, 1040) и позволили установить, что при переходе из сегнетоэлектрич. фазы в паразелектрическую симметрия решетки повышается и решетка из полярной переходит к неполярной; сегнетоэлектрич.

переход $Im\bar{2}m \rightleftharpoons I2|m2|m2|m$ является переходом первого рода. Предполагается, что возникновение в направлении [010] сегнетоэлектрич. свойств обусловлено главным образом смешением кислородных попов. С. Р.

Х. 1962. 8..

X - 5326

1962

MgNO₃, ige. Me = Li, Na, K, Rb, Cs
(abt mix)

Blander M.,

J. Chem. Phys., 1962, 37, 172-173

M. B

Prex, 1963, 246457

~~#456~~ V-456

1962

Mix (LiNO₃, TlNO₃, NaNO₃, KNO₃, RbNO₃)

Kleppa O.J., Hersch L.S.

J. Chem. Phys., 1962, 36, N 2, 544-547

Calorimetry in liquid thallium
nitrate-alkal, nitrate mixtures

PA., 1962, 23B477 M, W

orig. F

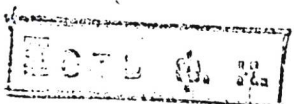
X-6473

1963

NaNO₃, LiNO₃, KNO₃(ASm)

Douce Y., Vallier J.

C.R. Acad. sci., 1963, 257, 3142-44



CH., 1964, 60, n°, 6364e.

B.

NaNO_3 Franzosini P. [BPF3-X] 1963

sinistri L.

ΔH_m

"Ricerca scient. (Rendiconti)",
1963, P. 2., S. 4; 3, n° 4, 411-8.

an. LiNO_3

феномена и экспоненци
на восстания кипения Li ,
 Na и K .

X. 1964. 135 393

1963

Na NO₃

Freeman Eli S., Anderson D.H.

1/21

Nature (Engl.), 1963, 199, n 488,
63-64.

Tz

B964740-1

Исследование с помощью
дифракционной кристаллографии
чеснок алая [fragilis]
перевод с об. у микропилю
рефл. лесок шестигранов.

x. 1964.10

(acc. Zn NO₃)

No №₃

18 Б375. Термодинамические характеристики нитратов одновалентных металлов, полученные методом высокотемпературной реакционной калориметрии. Kleppa O. J., McCarty F. G. Heats of fusion of the monovalent nitrates by high-temperature reaction calorimetry. «J. Chem. and Engng Data», 1963, 8, № 3, 331—332 (англ.)

В двойном калориметре, описанном ранее (РЖХим, 1961, 20Б360) при температурах несколько ниже точки плавления чистых солей, измерены термодинамические характеристики нитратов щелочных металлов серебра и таллия в жидкой смеси двух нитратов, содержащей примерно 90% исследуемой соли. Из этих данных рассчитывались термодинамические характеристики: вводилась поправка на теплоту разведения (~1% от теплоты плавления). Приведены соединение, температура плавления (1-я цифра), температура опыта (2-я цифра) в °С и теплота плавления в ккал/моль (3-я цифра): LiNO_3 (254; 249; 5961 ± 83); NaNO_3 (310; 303; 3696 ± 32); KNO_3 (337; 297; 2413 ± 28); RbNO_3 (316; 289; 1105 ± 10); CsNO_3 (417; 400; 3213 ± 43); AgNO_3 (210; 202; 2886 ± 8); TlNO_3 (206,5; 202; 2264 ± 36). Полученные значения теплот плавления сравнены с литературными. В. Байбуз

декабрь 1964 г.



NaNO_3

BEP 101-~~125~~

1963

Ko H.C., et al.

A.H.M.

J. Chem. and Engng Data,
1963, 8, N3, 364-366

1963

NaNO₃

Physical properties and preparation of ferroelectric sodium nitrate. Pavla Coufova (Czech. Acad. Sci., Prague). *Cesk. Casopis Fys.* 13, 422-33(1963). A review with 30 references.

H. Newcombe

C.A. 1964. 60. 9

1204c

I-6550

1963

NaNO₃ (Gtr)

Sciriosasae S.,

Philos. Mag., 1963, 8, v93, 1601-
1602

PKX, 1964, 115'3/4.



5 een phi. k

1963

PB-D-5695

NaNO₃

Speros D. N., Woodhouse R.L.

dNa

J. Phys. Chem., 1963, N 10, 67,
2164.

Радиотехника и методы коли-
ческого временного дифференци-
ального термического ана-
лиза. Т. Термической эф-
фекта и скорости превра-

x. 1964. II

ческое звукосеть -
верхний фая.

(см. 8н) I

1963

 NaNO_3

Sinistri C., Franzosini P.

1. Ric. Sci., Renol. Ser. A 3(4), 419
 (in English)

B9 - 399

Thermodynamic properties
 of mixing in binary sys-
 tems of fused salts. I. Di-
 quides curves of the sys-
 tems  $(\text{Li} + \text{Na})-\text{NO}_3$,

$(\text{Li} + \text{K})\text{NO}_3$, $(\text{Li} + \text{Ag})\text{NO}_3$,
and $(\text{Li} + \text{Te})\text{NO}_3$.

(cav. Li NO_3)

X-482

1963

LiNO_3 , NaNO_3 , LiNO_2 , NaNO_2
(ΔH)

Шишовина Р. И., Проданко П. И.,
М. Всесоюз. Химии, 1963, 8, 2741-2743

5

Б.И.

СА, 1964, 60, №10, 114196

1964

Bsp - X - 3522

NaNO_3 (T_m)

Борисов Е. П., Нороев К.,

дл. неопнн.
1423-1426.

Хельши, 1964, 9,

NaNO₃

БФ 6'ЧЧД - 1

1964

1 Б365. Плавление и предплывление у нитратов щелочных металлов. Janz G. J., Kelly F. J., Регапо Jeanne L. Melting and pre-melting phenomena in alkali metal nitrates. «J. Chem. and Engng Data», 1964, 9, № 1, 133—136 (англ.)

Методом смешения измерена теплота плавления и фазовый переход вблизи 275° NaNO₃. Изменение энталпии с т-рой выражено ур-ниями: $H_T - H_{298,15} = 39,63 T - 14300 (\pm 0,87\%)$ (483,7—548,4° К); $H_T - H_{298,15} = 44,64 T - 16870 (\pm 1,18\%)$ (554,0—573,4° К); $H_T - H_{298,15} = 31,22 T - 5570 (\pm 0,61\%)$ (597,8°—747,2° К). Для плавления NaNO₃ при 580,0° К: $\Delta H = 3520$ кал/моль; $\Delta S = 6,08$ энтр. ед. Для фазового перехода твердое — твердое при 549,2° К: $\Delta H = 174$ кал/моль; $\Delta S = 0,32$ энтр. ед. Переход твердое — твердое имеет место в интервале от 180 до 280°, при 270° превращение проходит на 60%. Форма кривой $C_p = f(T)$ для NaNO₃ отличается от соответствующих кривых для других нитратов щел. металлов. Дано сравнение параметров плавления и предплавления для нитратов и хлоридов в связи с «подготовкой» к плавлению.

И. Семенов

ΔHm

x·1965·1

1964

X527

NaCl; NaNO₃; AgCl; (Δ Hag, Δ Hr)

Hu T., Ko H. C., Hepler L.G.

J.Phys.Chem., 1964, 68(2), 387-90

Calorimetric investigations of ...

M, Be, W

F

CA, 1964, 60, N7, 7516f

EOSTR. J. H.

NaNO_3
741

Носова Т.А., 1964
Самойлов О.Э.

Леонидов

Журн. структ. химии,
1964, 5, с. 363

1e-166



$\text{NaNO}_3(\text{K}) \text{ Af} \text{H}^\circ$

X-6512

1964

NaNO₃ (GIC)

Saito Y., Goto T., Takagi Y.

J. Phys. Soc. Japan, 1964,
19, N^o, 449-453

CA., 1964, 60, n^o 12, 14014h

5 eur φ.k

1964

BB-X-527

NaNO₃ΔH°

Calorimetric investigations of molten salts. Teh Hu, Hon Chung Ko, and Loren G. Hepler (Carnegie Inst. of Technol., Pittsburgh, Pa.). *J. Phys. Chem.* 68(2), 387-90(1964). Measurements of the heat of soln. of NaCl(*c*) and NaNO₃(*liq*) at 350° ($\Delta H^\circ = 6.04$ kcal./mole), heat of fusion of NaNO₃ ($\Delta H^\circ = 3.57$ kcal./mole), and heat of pptn. of AgCl in NaNO₃-KNO₃ eutectic mixture at 320° ($\Delta H^\circ = -18.9$ kcal./mole) were made. Some thermodynamic calcs. for the NaCl-NaNO₃ system are reported.

RCKG

C.A. 1964. 60-7
7516 fg

NaNO₃

1964

ΔH_m

1 Б378. Калориметрические исследования расплавленных солей. Ни Тех, КоHon Chung, Неппелт Лорен Г. Calorimetric investigations of molten salts. «J. Phys. Chem.», 1964, 68, № 2, 387—390 (англ.)

Описан калориметр для измерения теплот растворения и теплот р-ций в расплавленных солях при т-ре ~400°. Этот калориметр был использован для измерения энталпий растворения NaCl (тв.) в расплавленном NaNO₃ при 350° ($\Delta H = 6,04 \pm 0,06$ ккал/моль при образовании предельно разб. р-ра), энталпии плавления NaNO₃ ($\Delta H = 3,57$ ккал/моль) и энталпии р-ций $\text{Ag}^+ + \text{Cl}^- \rightleftharpoons \text{AgCl}$ (тв.) в эвтектич. смеси NaNO₃—KNO₃ при 320° ($\Delta H = -18,9 \pm 0,1$ ккал/моль). Расчет на основе эксперим. и литературных данных показывает, что разб. р-ры NaCl в NaNO₃ можно считать идеальными.

О. Саламатина

X · 1965 · I

X-5803

1965

Несправы чистотных мераний
(Термог. сб.-бс)

Bertozzi G.,

AEC Accession № 1812, Rept. №

EUR-2495e, Avail. Dep. mn,
1965, 12 pp

CA, 1966, 65, № 8, 11409 f М, Б

1965

 NaNO_3

3 Б653. Исследование фазовых переходов в нитратах натрия и калия по спектрам комбинационного рассеяния. Числер Э. В. «Физ. твердого тела», 1965, 7, № 5, 1586—1588

Исследовано влияние фазовых переходов в NaNO_3 и KNO_3 на спектр КР при нагревании. Из сопоставления спектров КР кристаллов, расплавов и воды. Р-ров сделан вывод о связи фазовых переходов в кристаллах NaNO_3 и KNO_3 с появлением вблизи и выше температуры перехода анионов NO_3^- , обладающих известной свободой ориентации вокруг оси c_3 . Из реферата автора

Fr

x · 1966 · 3

X

BEP- X-362

1965

NaNO₃ кр. (J_i)

Кулакових Ю. А., Дзенеко А. Ф.,
Физ. твердого тела,


1965, 5, N10, 2756-2765

AD less orez

X-6317

1965.

MNO_2 , MNO_3 , где $M=Li, Na, K, Rb, Cs$
(T_m , T_{tr})

Проценко П.И., Бордюшкова Е.А.,
Венгровская Л.Н.,

Укр. хим. ж., 1965, 31, VII, 1200-1203

рнж, 1966, 165607 Б есть ориг

NaNO_3

3771

1965

Parker V. B.

Лекчигов

Thermal Properties
of Aqueous Uni-univa-
lent Electrolytes, Wash-
ington, (1965), N.S.R.D.S-N.B.S-21

1e-98



$\text{NaNO}_3 (\text{K}) \Delta_f H^\circ$

NaNO_3

Owens B. B.

1965

T_m

J. Chem. Phys., 42(7), 2259-
-62 (1965)

Melting properties of the alkali
nitrates to 10,000 atmospheres.



(e.g. LiNO_3)

A - 517

1965

NaNO₃, LiNO₃, KNO₃, RbNO₃, CsNO₃,
Na₂CrO₄, K₂CrO₄, Na₂MoO₄, K₂MoO₄,
Na₂WO₄, K₂WO₄, Li₂SO₄, AgNO₃, TeIO₃
(OH tr., off fus.)

Riccardi R., Sinistri C.

Ricerca sci. Rend. Sez. A, 1965, 8, n. 5,

1966, 64, n. 10, 13462 e. 5/1026-1037

1965

NaNO₃

5 E414. Теплоемкость и объемное тепловое расширение кристалла NaNO₂. Sakiyama Minogi, Kimoto Agata, Seki Syuzô. Heat capacities and volume thermal expansion of NaNO₂ crystal. «J. Phys. Soc. Japan», 1965, 20, № 12, 2180—2184 (англ.)

Cp

Фазовые превращения в ферроэлектрич. кристалле NaNO₂ вблизи 164° С изучены калориметрич. и дилатометрич. методами. Значения теплоемкости и молярного объема круто растут при ~163° С, что свидетельствует о том, что это превращение является фазовым переходом 1-го рода. В области 164—165° С на кривой $C_p - T$ наблюдается узкий пик. На кривой зависимости объема от т-ры при 164,2 и 164,7° С имеются небольшие аномалии. Суммарная энтропия превращения равна $1,26 \pm 0,08$ кал/моль · град, что близко к величине $R \ln 2 = 1,377$ кал/моль · град и свидетельствует о полном разрушении ориентационного порядка ионов NO₂⁻ в параэлектрич. фазе.

ф. 1966. 58

1965

3745-X

LiCl, NaCl, KCl, NaB₂, KB₂, NaNO₃, KNO₃, (H_{mix})

Wood R.H., Smith R.W.

J. Phys. Chem., 1965, 69, N 9, 2979

Heats of mixing of aqueous electrolytes. I.C
Concentration dependence of 1-1 electrolytes.

PJA., 1966, 65983

F

Be

NaNO₃

NaNO₂

u.-c.

unrecd.

1966

Brechler A., Stauffer J. Z.

J. Phys. Chem., 70 (12), 4092

Gaseous alkali-nitrogen-oxygen and alkali-phosphorus-oxygen compounds



(e.g. LiNO₃)

NaNO₃

1966

The high-pressure solubility of nitrogen in fused sodium nitrate. Temperature and pressure dependences and the heat and entropy of solution. James L. Copeland and Lawrence Seibles (Kansas State Univ., Manhattan). *J. Phys. Chem.* 70(6), 1811-15(1966)(Eng). The solv. of N in fused NaNO₃ has been detd. at 355-454° and at 140-426 atm. Henry's law consts., K_h , were found for the resulting 8 solv.-pressure isotherms. A plot of $\log K_h$ (with K_h in moles/cc./atm.) vs. $1/T$ yielded a straight line whose least-sqs. equation is $\log K_h = (597 \pm 19)(1/T) - (6.64 \pm 0.03)$. The heat and standard entropy of soln. obtained from this equation are -2.73 ± 0.09 kcal./mole and -16.6 ± 0.1 e.u., resp. The results are compared with those of other workers studying noble gas and HF solubilities in molten fluoride mixts. The results at 369° are also compared with earlier work involving He and Ar solubilities in fused NaNO₃ at the same temp. Conclusions are drawn which compare the relative contributions of exothermic solvation effects and endothermic mol. cavity creation work in the liquid to the over-all heat of soln.

RCKG

C.A. 1966. 65.3

3071 f9.

IX - 1010

1966

$\text{Ca}(\text{NO}_3)_2$, $\text{Sr}(\text{NO}_3)_2$, NaNO_3 , KNO_3 , RbNO_3
(dHg)

Крестов Г.А., Клюев В.И.,
Изд. высш. ур. заведений. Химия
и хим. технологии, 1966, 9, 34-39

B.

РЖХ, 1966, 23Б453

это опи.

NaNO₃

ВСР 3934-X

1966

1 Б616. Наблюдение фазового перехода в NaNO_3 по-средством диффузной дифракции рентгеновых лучей и вычисление констант упругости. Mendiola Jesús. Evidencia de la transición en el NO_3Na mediante difrac-
cion difusa de rayos X y cálculo de constantes elásticas.
«Rev. cienc. apl.», 1966, 20, № 6, 487—494 (исп.)

*фазовый
переход*

Изучена интенсивность диффузного рассеяния рентге-
новских лучей в кристалле NaNO_3 при разных т-рах.
Для рефлексов 0006; 00012, соответствующих тригональ-
ной оси, интенсивности диффузного рассеяния остаются
почти постоянными до $\sim 250^\circ$, а при более высоких
т-рах уменьшаются. Это уменьшение еще сильнее для
рефлекса 3030 (при 285° 66% от интенсивности при ком-
натной т-ре). При 275° , т. е. при т-ре, при которой дру-
гими физ. методами обнаружено наличие фазового пере-
хода в NaNO_3 , наблюдаются пики в величинах векто-

вля

x · 1968 · 1

ров воли в направлении тригональной оси. На основании полученных данных вычислены величины константы упругости при разных т-рах. При этом принято, что молекула NaNO_3 не испытывает внутриатомных движений и вибраций, а ведет себя как жесткое тело с трансляционным движением; рассматриваются только продольные упругие волны, распространяющиеся вдоль тригональной оси. Вычисленные величины константы упругости составляют при 20 ; 275 и 285° соответственно $2,3 \cdot 10^{11}$; $2,3 \cdot 10^{11}$ и $1,8 \cdot 10^{11} \text{ дн}/\text{см}^2$. Полученные данные указывают на наличие постепенного фазового перехода в кристаллах NaNO_3 при 275° . В разных направлениях в кристалле наблюдается разное термич. поведение: для векторов воли, расположенных в плоскостях, параллельных плоскости, занимаемой группой NaNO_3 , выше т-ры перехода интенсивности уменьшаются; аномалия наиболее сильна в направлении, перпендикулярном этой плоскости (тригональная ось), причем здесь наблюдается критич. эффект. Полученные данные находятся в соответствии с данными, полученными на основании изучения распространения ультразвука, что указывает на возможность предсказания фазового перехода второго рода на основании изучения интенсивности диффузной дифракции.

И. Н. Семенов

No 103

BP-E-5514

1966

Newns R.M., Gauvin L.A.

Chem. Revs.

1966, 66, 264-248

VT 6670

1966

AgNO_3 , LiNO_3 , NaNO_3 , KNO_3 , RbNO_3 ,
(KN)

Owens B.B.,

J. Chem. Phys., 1966, 44, 3918-3924

T

NaNO_3

Rapoport 8.

1966

K, ZEKC

(Структура)

Z. Phys. and Chem. Solids,
1966, 27, n 8, 1349.

Полиморфные и изоморфные
кристаллы нитратных не-
маниев до 40 кбар и не-
коинэрвте ● замерзания

Б91-17-3677

дистиллированного карбона
тоб же окисленных кирх
метиленов.

(см. LiNO_3)

X-4502

4966

NaNO₃, KNO₃ (KN, Tr, T.T.)

Rapoport E.,

J. Chem. Phys., 1966, 45,

2721-2728

T, 5

erroneous

V-5560

1966

LiNO_3 , NaNO_3 , KNO_3 , RbNO_3 , CsNO_3 , AgNO_3 ,

T INO_3 (sil. post., \rightarrow me-O)
Wait S.C., Ward A.T.,
Jauz G.J.,

J. Chem. Phys., 1966, 45(1), 133-7.

Anion-cation interactions in molten
inorganic nitrates: vibrational analysis.

J.

F.

CA, 1966, 65, N6, 8193d.

NaNO_3

NaNO_2

Büchler A.,
Stauffer J. Z.

1967

J. Phys. Chem., 70, n 12, 4092

Геодрагоценые азото-кислородные и фосфор-кислородные соединения и целого ряда не-
металлов,
(см. LiNO_2)

NaNO₃

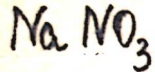
1963

5 E288. Дислокации и λ -переход в нитрате натрия.
Batch-O.-P., Thomas J. M. Dislocations and the λ -transition in sodium nitrate. «J. Mater. Sci.», 1967, 2, № 5, 500—502 (англ.)

С помощью наблюдения фигур травления на плоскости (100) исследовалось изменение дислокационной структуры кристалла NaNO_3 в результате фазового λ -перехода в области $150—275^\circ\text{C}$. В выращенном из расплава кристалле наблюдалась высокая ($\sim 10^7 \text{ см}^{-2}$) плотность дислокаций, связанная с λ -превращением при охлаждении. Установлено присутствие дислокаций (211) [011]. При выращивании из раствора при т-ре ниже λ -точки плотность дислокаций составляла $\sim 10^4 \text{ см}^{-2}$. В результате нагрева выше λ -перехода и охлаждения плотность дислокаций в таких кристаллах резко возросла. Появлялись геликоидальные дислокации и петли. Двойниковые прослойки {110} [001] сохранялись при цикле нагревание — охлаждение.

09. 1968. 58

1967



) 4 Б428. Позиционные и тепловые параметры атомов кислорода в нитрате натрия. Cherin Paul, Hamilton Walter C., Post Ben. Position and thermal parameters of oxygen atoms in sodium nitrate. «Acta crystallogr.», 1967, 23, № 3, 455—460 (англ.)

Рентгенографически (методы Вейссенберга λ Си- и Mo- K_{α} и монокристального дифрактометра λ Mo- K_{α}) уточнена структура NaNO₃, принадлежащая к структурному типу кальцита. Параметры гексагон. решетки:

р
е (с)

Х · 1968 · 4

$a = 5,071$, $c = 16,825$ Å, ф. гр. $R\bar{3}c$. Поскольку атомы определяются единственным параметром x атомов О из всего набора $I(hkl)$ тщательно измерены лишь те рефлексы, в которые вносят свой вклад только одни атомы О. Измерения проведены при 25, 100, 150 и 200°. Уточнение позиционных и анизотропных тепловых параметров О проведено методом наименьших квадратов. Значения $R(hkl)$ при названных т-рах 0,029; 0,040; 0,075 и 0,054. Соответствующая величина параметра x 0,2456; 0,2436; 0,2426; 0,2393 и длина связей N—O 1,245; 1,236; 1,232 и 1,215 Å. Прогрессивное сокращение связей N—O объяснено возрастанием либрационных колебаний интеграторгрупп около оси 3-го порядка с повышением т-ры. Установлено, что наименьшая амплитуда тепловых колебаний соответствует направлению связи N—O; максимальная ось теплового эллипсоида лежит в плоскости нормальной к связи N—O и составляет угол от 42,9° при 25° до 45,8° при 200° с осью c . Величины главных полуосей в этой плоскости возрастают примерно в 2 раза при изменении т-ры от 25 до 200°. Найденная степень и тип анизотропии в NaNO_3 аналогичен обнаруженным в структуре кальцита.

А. Воронков

~~Wall, Wade, Wall~~ X-6269 1967
(ag) CP)

Emulsion H. S., Pasadena Sh.C.;
C

McG. Univ., 1964, 41(3), 243-52

Electrolyte solution

3 $\text{NaNO}_3 \cdot \text{H}_2\text{O}$ + Wall-Wall-H₂O

AgCl

CA 91108 18 J2, Z0064

NaNO_3

KNO_3

CsNO_3

$\text{Ca}(\text{NO}_3)_2$

$\text{Sr}(\text{NO}_3)_2$

$\text{La}(\text{NO}_3)_3$

ΔH_{aq}

+12

X 1968 12

Д 12 Б557. Термохимическое исследование нитратов щелочных, щелочноземельных металлов и лантана в смесях вода — этиленгликоль. Крестов Г. А., Егорова И. В. «Изв. высш. учебн. заведений. Химия и хим. технол.», 1967, 10, № 7, 750—753

С помощью изотермич. микрокалориметра с автоматич. записью определены изменения энтальпии при пр-рении нитратов натрия, калия, цезия, кальция, стронция и лантана в смесях вода — этиленгликоль при бесконечном разведении и т-ре 25°. Полученные результаты объясняются в связи со структурными особенностями указанных смесей. Обнаружено, что с увеличением конц-ии этиленгликоля в воде наблюдается монотонное увеличение экзотермичности изменения энтальпии при пр-рении. Однако, это увеличение менее резкое, чем в случае глицерина. При помощи эксперим. и литературных данных вычислены изменения энтальпии при сольватации ионов Na^+ , K^+ ; Cs^+ , Ca^{2+} , Sr^{2+} , La^{3+} и NO_3^- в рассматриваемых системах.

Автореферат

1967

Б-583

1

Б-9

Х

NaNO₃, KNO₃, RbNO₃, CsNO₃ 1092 1967

Ca(NO₃)₂, Sr(NO₃)₂, La(NO₃)₃. (All dissolve
Lat, K⁺, Rb⁺, Cs⁺, Ca²⁺, Sr²⁺, La³⁺, NO₃⁻ (All solv.)

в смеси BOSS
занятое

Красов Т.А., Еропова Л.В. VII 575

Журн. Геофиз. и Астрономии. Ленинград, 1967,
3(1), 128-31

B (cp)

16

KNO_3 , $NaNO_3$ (0.1Mg) X-6297 1967

Мищукко К.П., Шнурог. Н.Н.

ДВ. оды химии, 1967, 37, №10, 2145-2150

Термокинетические растворы экстремитов.

VII. Водные растворы KNO_3 и $NaNO_3$ при различных температурах.

Рижум., 1968

2051249

○

B (gp)

еет опре

IX - 783

1964

BaSO₄, NaCl, NaNO₂, NaNO₃, KCl,
KBr, KI, KNO₃ (P, D.)

Morabini A., Tête A., Santini R.,
Revue générale de l'électricité,

1964, 67, n°12, 1504-1512

ill. 10

corr. op. K

NaNO₃

Bsp - 4079 - VI

1967

) 11 E6. Теплоемкость нитратов натрия и серебра с помощью высокотемпературной адиабатической калориметрии. Reinsborough V. C., Wetmore F. E. W. Specific heat of sodium nitrate and silver nitrate by medium high temperature adiabatic calorimetry. «Austral. J. Chem.», 1967, 20, № 1, 1—8 (англ.)

Cp

Описан простой адиабатич. калориметр для интервала т-р 50—350° С. Приведены результаты измерений теплоемкости NaNO₃ в области 150—300° С и AgNO₃ в области 70—250° С. Темпера превращения AgNO₃ при 159,4° С найдена равной 561 ± 4 кал/моль. Проведено сопоставление результатов с литературными данными. Библ. 29.

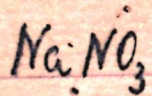
Б. И. Пилипчук

+1

Q. 1967. 118

ВФ - 4079 - VI

1967



9 Б664. Теплоемкость нитрата натрия и нитрата серебра, измеренная с помощью адиабатического калориметра для умеренно высоких температур. Reinsbough V. C., Wetmore F. E. W. Specific heat of sodium nitrate and silver nitrate by medium high temperature adiabatic calorimetry. «Austral. J. Chem.», 1967, 20, № 1, 1—8 (англ.).

C_p

Построен сравнительно простой адиабатич. калориметр для т-р 50—350°. С помощью этого прибора (кратко описана конструкция) измерены C_p NaNO_3 при 150—300° и AgNO_3 при 70—250°. Результаты хорошо совпадают с литературными данными по теплоемкости NaNO_3 , но заметно отличаются от полученных методом смешения значений энталпии AgNO_3 . Термодинамика превращения AgNO_3 при 159,4° равна 561 ± 4 кал/моль.

В. С.

Х. 1968: 9

+1



DP - 4079 - VI

1967

NaNO₃
AgNO₃

59540s Specific heat of sodium nitrate and silver nitrate by medium high temperature adiabatic calorimetry. V. C. Reinsborough and F. E. W. Wetmore (Univ. Tasmania, Hobart). *Aust. J. Chem.* 20(1), 1-8(1967)(Eng). A relatively simple adiabatic calorimeter for use at 50-350° was constructed and used to measure the sp. heat of NaNO₃ from 150 to 300° and AgNO₃ from 70 to 250°. Each salt undergoes a solid-solid and a solid-liquid transformation. The C_p values for NaNO₃ agreed within the calcd. exptl. error of $\pm 0.2\%$ with those of Sokolov and Shmidt (*Izv. Sektora Fiz. Khim. Analiza, Inst. Obshch. Neorgan. Khim. Akad. Nauk SSSR* 26, 123(1955)) but the AgNO₃ data showed a large discrepancy from those of Janz and Kelly (*CA* 60, 4879f) obtained by drop calorimetry for the 160-210° region, where thermal hysteresis may have occurred in the drop calorimetric technique. The heat of transformation for the solid-solid transition in AgNO₃ at 159.4° was 561 ± 4 cal./mole. 29 references.

RCGW

+1

+1

C. A. 1967 66 14

☒

A-940

1967

5, 6, 7, 8, 9, 10, 11, 13, 14 вис

Лантаноиды Li, Na, K, Rb, Cs, Mo, V, Nb и гр.
Экзоты и суперэкзоты Li, B, Ga, In, N, Sn и гр.
 LiNO_3 ; NaNO_3 , Na_2CrO_4 , K_2CrO_4 , CsSO_4 , KReO_4 ,
КОН, CsOH (мехеат-пачт.)

Винков А.В., Раубигис Н.Г., Смирновов В.П.,
Ил. структурн. химии, 1967, 8, 706-812

NaCO_3 (cp, ΔH_m , ΔS_m ; ΔU_m ; ΔG_m)
 ΔS_{mix}), NaN_3 (ΔH_{mix} , ΔG_{mix} , ΔS_{mix}) 1568

X-5834
Campbell R.N., Kouwe F.T. 397-4134-X
Canad. J. Chem., 1968, 46, N 8, 1887-1891 (ann.)
Studies on the thermodynamics and conductances of
molten salts and their mixtures. Part VI. Calori-
metric studies of sodium citrate and its
mixtures with sodium nitrate.

1/11/68

30685

O

JAN 25 1968

5 (6) 6

M

1968

 NaNO_3

12 Б230. Ультразвуковые и инфракрасные исследования ламбда-перехода в NaNO_3 . Craft W. L., Slutsky L. J. Ultrasonic and infrared studies of the lambda transition in NaNO_3 . «J. Chem. Phys.», 1968, 49, № 2, 638—641 (англ.)

Измерена скорость и затухание ультразвука (поперечных и продольных волн с частотами 5—60 Мгц) в трех различных направлениях для монокристаллов NaNO_3 при т-рах 25—300° (ниже и выше точки л-перехода). Выполнена оценка времени релаксации из-за взаимодействий дальнего порядка ($\tau \sim 4,3 \cdot 10^{-10}$ сек.). Изучено также поведение ИК-спектра образца при приближении к точке л-перехода. В ИК-спектре неупорядоченной фазы (при повышенной т-ре) проявляется полносимм. кол. $v_{1g}(\text{Na})$

 ΔC_p (л-переход)

Х. 1969. 12

NO_3) $\sim 1069 \text{ см}^{-1}$, к-рое неактивно в упорядоченной фазе (симметрия положения D_3). При приближении к точке λ -перехода резко возрастает затухание ультразвука. Изменение теплоемкости при переходе $\sim 0,95 \text{ ккал/моль}$, что согласуется со значением частоты торзионных колебаний $\sim 55 \text{ см}^{-1}$. Полученные результаты не противоречат представлению о том, что в точке λ -перехода нет резкого скачка взаимодействий ближнего порядка.

А. Бобров

108.

E - 1084

1968

Yasugi, sulfate, resin acet. mer.
(Δ C solution)

Johnson D. E.

J. Chem. Educ., 1968, 45(4), 236-240

CB, 1968, 62, u22, 99262a B

1968

LiCl, LiNO₃; NaBr, NaI, NaNO₃, 10

KBr, KI, KNO₃; PbNO₃ (ΔНаг) № 3991

Крестов Г.Я., Зверев В.А.

Узб. - Вестн. Узбекн. Заведений. Науки
и техн., 1968, II, №, 990-995

Стандартные измерения эмиссии и при-
распылоренчные сканирование голографий и
кимографии аэрозолей методом в
динамическом режиме.

РН Узб., 1969
106759



В (р) 13

NaNO₃

(κ_p)

Cp

Bp - T

16517a Anisotropy of thermal conductivity, thermal diffusivity, and permittivity of sodium nitrate single crystals at the phase transition. Kubicek, Ludovit; Mariani, Emil (Slovak. Akad. Ved, Bratislava, Czech.). Fyz. Cas. 1968, 18(4), 251-4 (Eng). The thermal cond. and diffusivity, sp. heat, and permittivity of NaNO₃ single crystals were measured in the main crystallographic directions. Permittivity measurements at 100 kHz. clearly indicate anisotropy of the permittivity. The permittivity at low temps. changes only very slowly in the (111) and a directions. The unusual increase of permittivity begins in the (111) direction at $\sim 180^\circ$ and in the a direction at $\sim 220^\circ$. At these temps., orientational polarization begins. At 275° , the fixed position of NO₃⁻ ions does not exist and permittivity again decreases. The other thermal properties behave in a similar manner.

1968

CJJN

C.A. 1969. 71. Y

БФ 5971-Х

1968

NaNO₃

7 Е610. Теплоемкость, температуропроводность и теплопроводность в области фазового превращения монокристалла NaNO₃. Kubíčák-Ludovít. Specific heat, thermal diffusivity and thermal conductivity in the phase transition of the NaNO₃ single crystal. «Fyz. časop.», 1968, 18, № 1, 58—63 (англ.)

Измерения проведены импульсным методом с плоским нагревателем. Характер изменения теплоемкости вблизи т-ры превращения (275° С) аналогичен результатам Соколова и Шмидта для поликристаллич. образца, но пик имеет большую высоту. Величина температуропроводности испытывает скачок при той же т-ре. Существование этого скачка можно объяснить скачком модуля упругости.

Л. П. Филиппов

БФ 1968 · F2

1968

NaNO₃

54951d Specific heat, thermal diffusivity, and thermal conductivity in the phase transition of the sodium nitrate single crystal. Kubicar, Ludovit (Slovenska Akad. Vied, Bratislava, Czech.). *Fyz. Cas., Slov. Akad. Vied* 1968, 18(1), 58-63 (Eng).

Cp

The exptl. data obtained on a (100) single crystal slice of NaNO₃ of thermal cond., sp. heat, and thermal diffusivity agree with previously reported data which show changes at the phase transition temp. of 275°. The abrupt change in thermal diffusivity is influenced by the abrupt change in the elasticity const. s_{33} . The structure of NaNO₃ above the crit. point is not completely understood. It is probable that the NO₃ groups at >275° have assumed positions which may be rotated by 180° about the trigonal axis by means of lattice vibrations. V. J. Kehrer, Jr.

CIA 1968

69.14

$\text{NaNO}_3 (\text{cp})$

no

X 4282

1968

Kubicek L., Marušák Ľ.,

Fyz. Cas. 1968, 18(4), 251-4.

Anisotropy of thermal conductivity,
thermal diffusivity and permittivity
of sodium nitrate: single crystals at
the phase transition.

5

CA, 1969, 21, N4, 16517a

1968

NaNO₃

У 8 Б747. Термодинамика λ -перехода в нитрате натрия. Klement William, Jr. Thermodynamics of the λ transition in sodium nitrate. «J. Phys. Chem.», 1968, 72, № 4, 1294—1296 (англ.)

Критически выбранные термодинамич. данные для λ -перехода NaNO₃ связаны между собою с помощью ур-ний Гарланда (аналоги ур-ния Пиппарда). Переход в существенных чертах является одномерным в том смысле, что наиболее существенные аномалии св-в кристалла наблюдаются параллельно оси *c*; соотв-щие аномалии в направлениях, перпендикулярных оси *c*, составляют ~0,3%, однако необходимые для проверки значений этих величин экспериментальные данные отсутствуют.

Резюме

x. 1969. 8

81643g Heat of fusion of the binary mixture sodium nitrate - potassium nitrate. Marchidan, Dumitru I.; Telea, Cr. (Phys. Chem. Res. Center, Bucharest, Rom.). *Rev. Roum. Chim.*

1968, 13(10), 1291-5 (Fr). A survey of the large no. of different values for the heats of fusion (H) of pure NaNO_3 and KNO_3 at 3490-740 and 2300-910 cal./mole indicated the choice of 3600 and 2300 cal./mole as most suitable for calibration of the differential calorimeter. These values were obtained by means of a high-precision adiabatic calorimeter at high temps. (V.A. Sokolov and Schmidt, 1956). By using these values, the following values (cal./mole) were obtained at various mole fractions of KNO_3 in $\text{KNO}_3\text{-NaNO}_3$ mixts.: 0, 3600; 0.25, 3382, 0.40, 3290; 0.50, 3195; 0.60, 3100; 0.75, 2802; 0.87, 2685; and 1.00, 2300. These values did not correspond to the simple additivity relation of linear Vegard type: $H = x_1 H_{\text{NaNO}_3} + x_2 H_{\text{KNO}_3}$. The results demonstrated the importance of applying differential calorimetry at high temps. to the study of heat of fusion of binary salt mixts. forming solid solns.

M. Ben Elieser

Na NO₃

ΔH_m

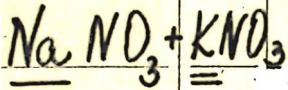
C. A.

1969. 10. 18

+1

1969

18



ЗР-Х-4194' 1968

20 Б725. Термоплавления двойной смеси NaNO₃ + KNO₃. Marchidan D. I., Telea Ст. Chaleur de fusion du mélange binaire NaNO₃+KNO₃. «Rev. roumaine chim.», 1968, 13, № 10, 1291—1295 (франц.)

Определены теплоты плавления двойной системы NaNO₃+KNO₃ при различных конц-иях компонентов методом ДТА. Значения теплот плавления смесей NaNO₃ + KNO₃ в зависимости от состава не соответствуют аддитивности, а диаграмма плавкости указывает на образование непрерывного ряда тв. р-ров с минимумом при 222° С и 54% KNO₃.

ΔH_m

X. 1969. 20

IX-3783

$\text{CuSO}_4 \cdot \text{H}_2\text{O}$, Ag_2SO_4 , Ag_2SeO_4 ; PbZrO_3 ; 1968
 Ag_2CrO_4 ; $\text{SrCl}_2 \cdot \text{H}_2\text{O}$; KNO_2 , $\underline{\text{NaNO}_3}$,
 Na_2SO_4 , Na_2CrO_4 , NaClO_3 , $\text{Li}_2\text{SO}_4 \cdot \text{H}_2\text{O}$
 (T_{tr})

Pistorius C.W., Rapoport E., Clark J.B.,
 Z. phys. Chem. (BRD), 1968, 59, 200-205

T

err. cp. K.

1968

VI-5743

NH_4NO_3 , AgJ , AgNO_3 , NaNO_3 ,
 AgCl (T_m , T_{tr})

Rosicky J.,

Z. Chem., 1968, 8(4), 154-5.

Apparatus for differential thermal
analysis of single crystals.

Be, F

CA, 1968, 68, N26, 117654m

ВФ3952 -X

1968

NaNO₃

12 Б865. О типе фазового перехода в NaNO₃. Се-
менченко В. К., Аль-Хаят Б. Х. «Ж. физ. химии»,
1968, 42, № 10, 2634—2636

Термодинамический анализ эксперим. данных, взятых
из лит. источников, по теплоемкости, упругим св-вам и
термич. расширению. NaNO₃ вблизи точки перехода
(275,5°) показывает, что переход принадлежит к гомо-
генным переходам закритич. типа.

Резюме

T_{t₂}

x. 1969.

12

1968

NaNO₃

~~51054y~~ Phase-transition type in sodium nitrate. Semenchenko, V. K.; Al-Khayat, B. Kh. (Mosk. Gos. Univ. im.

Lomonosova, Moscow, USSR). *Zh. Fiz. Khim.* 1968, 42(10), 2634-6 (Russ). The phase transition in NaNO₃ was regarded as a result of transfer of NO₃⁻ from an ordered into a disordered state. Thermodynamic anal. of exptl. data for heat capacity, elasticity, and thermal expansion in the vicinity of transition point (275.5°) indicated that the transition is a homogenous, postcrit. transition.

Z. Sterbacek

T_{tr}

C.A. 1969. 70. 12

KNO₃aq; NaNO₃aq (P) 10⁵4723 1968

Ильинецк Р. Г.; Мищукко К. Г.

Пруды Ленинград. Межнол. Испыт.

Числ.-Бумажн. Проделкин. 1968,

№ 21, 249-52.

Зависимость поглощённого света над
воздушной расстояния испарения
коэффициент и испарения наименее при
25, 50 и 75° в широкой области

его ф.к. концентрации.

B, 9

⑨

СГ 1969, № N18, 84806 и

I968

NaNO₃

(Kong.)

Wegdam G.H., Bonn R.,

CsNO₃

Van Der Elsken J.

cphyktypa

yb. u paem

paj

Chem. Phys. Lett., 2(3), 182

Far infrared absorption spectra
of some solid and fused alkali-
metal nitrates.

+1

I [Cu. Cs(NO₃)]



1969

NaNO₃

11-E372. Ультразвуковые и ИК-исследования λ -перехода в $NaNO_3$. Craft W. L., Eckhardt R., Slutsky L. J. Ultrasonic and infrared studies of the λ -transition in $NaNO_3$. «J. Phys. Soc. Japan», 1969, 26, Suppl., 184—186 (англ.)

Исследована температурная и частотная зависимости скорости и затухания УЗ-воли, распространяющихся вдоль оси 3-го порядка в решетке $NaNO_3$. Проведено также детальное изучение зависимости ИК-спектра поглощения $NaNO_3$ от температуры, давления, изотопного состава, поляризации и направления распространения. Измерения проводились в районе λ -перехода для $NaNO_3$ ($T=276,7^\circ C$). Е. С. Алексеев

окт. 1969. 11

1969

89-X-4277

Na NO₃

3

parab.
hexex

44146x Raman spectrum study of a phase transition in a sodium nitrate crystal. Chisler, E. V. (Fiz.-Tekh. Inst. im. Iosse, Leningrad, USSR). *Fiz. Tverd. Tela* 1969, 11(5), 1272-81 (Russ). The effect was studied of the phase transition on the Raman spectrum of NaNO₃ ($T_\lambda = 275^\circ$). At the temp. $T > T_\lambda$ in the spectrum of external vibrations of the lattice the band at 100 cm.⁻¹ disappears, and the band of doubly degenerate vibration of the anion NO₃⁻, $\nu_3(E)$ is split into 2 components, which indicates a deformation of the anion in the high temp. phase. It is concluded that the high temp. modification of NaNO₃ represents a disordered structure with the statistical symmetry D_{3d}^5 . In solns. and melts of NaNO₃ and KNO₃ the band $\nu_3(E)$ has a doublet structure. It is assumed that in the free state NO₃⁻ has lower symmetry than D_{3d} owing to the Jahn-Teller effect and the tendency to decrease symmetry can play a detg. role in the mechanism of the phase transition in NaNO₃ crystal. A. Libackyj

C.A.

1969.41.10

NaNO₃

ВР-Х-4244

1969

24 Б1086. Исследование фазового перехода в кристалле NaNO₃ по спектру комбинационного рассеяния. Числер Э. В. «Физ. твердого тела», 1969, 11, № 5, 1272—1281

T_{tr}

Исследовано влияние фазового перехода на спектр комб. расс. кристалла NaNO₃ ($T_{\lambda} = 275^{\circ}$). Показано, что при т-ре $T > T_{\lambda}$ в спектре внешних колебаний решетки исчезает полоса 100 см^{-1} , а полоса дважды вырожденного колебания аниона NO₃⁻ $v_3(E)$ расщепляется на две компоненты, что указывает на деформацию аниона в высокот-рной фазе. Делается вывод, что высокот-рная модификация NaNO₃ представляет собой разупорядоченную структуру со статистич. симметрией D_{3d}^5 . Обнару-

X·1969·24

жено, что в р-рах и расплаве NaNO_3 и KNO_3 полоса ν_3 (E) имеет дублетную структуру. Высказывается предположение, что в свободном состоянии анион NO_3^- имеет более низкую симметрию, чем D_{3h} вследствие эффекта Яна — Теллера, и что тенденция к понижению симметрии может играть определяющую роль в механизме фазового перехода в кристалле NaNO_3 .

Резюме

1969

NaNO₃
3

1 E458. Замечание о поведении теплоемкости кристаллов NaNO₃ вблизи точки фазового перехода второго рода. Dikant Ján. A note on specific heat behaviour of NaNO₃ crystals near the second order phase transition point. «Fyz. časop.», 1969, 19, № 3, 148—153 (англ.)

Проведено сопоставление результатов измерения теплоемкости NaNO₃ с расчетами по трехмерной решеточной модели Изинга. Для теплоемкости ниже критич. точки получено $C = -A \ln[1 - T/T_c]$, выше критич. точки $C = A'(1 - T_c/T)^{-1/n}$, что согласуется с моделью Изинга. Библ. 13.

Резюме

Cp

ф. 1940. 18

NaCl, Na₂SO₄, NaNO₃ аз (Cp) X-5305 10/1369

Турбич Б. М., Медеевский С. И.

Госманук Г. И., Газиева Н. Н.

Илр. Глауконит. Издательство УНСМ,
1969, № 54, 68-75 (русск.)

Определение физических свойств
кипящих водных расплавов

при их испарении давлением

В Берть СРС CA, 1971, 74, N8, 34906 т

NaNO_3 , KNO_3 , CsNO_3 , $\text{Ca}(\text{NO}_3)_2$, $\text{Sr}(\text{NO}_3)_2$

1969

(ΔH_{aq})

10 9

18505

Коноп В.И., Крестов Г.Я., Чесноков Ю.И.

Ж. структурн. хими, 1969, 10, N1, 139-141

Сравнительная термохимическая характеристика структурных изменений

водных растворов одноатомных спиртов.

Бодной раствор одностоиничных спиртов.

РН. Красн, 1969

1361106

B (P)

g

1969

 NaNO_3

7 Б495. Кристаллическая структура высокотемпературной фазы нитрата натрия. Sittig K. O. The crystal structure of sodium nitrate in the high-temperature phase. «Acta chem. scand.», 1969, 23, № 5, 1616—1624 (англ.)

Кристаллическая структура

Повторно определена структура высокотермического NaNO_3 (I) (тригон., $a = 5,087$, $c = 8,84 \text{ \AA}$) на базе ранее полученных при 290° и уточненных рентгенографич. порошковых данных. Структура I уточнена МНК от предварительной модели, взятой промежуточной между кальцитовым типом расположения $\text{NO}_3^- R\bar{3}c$, в к-рой кристаллизуется I при коми. т-ре, и арагонитовым типом размещения, возможным в пределах ф. гр. $R\bar{3}m$. В вычисленные структурные факторы введены параметры x_1 и x_2 , опре-

X. 1970. 7

деляющие степень «арагонитового» или «кальцитового» характера структуры. Наилучший *R*-фактор, 5%, получен при $x_1=0,55$ в изотропном приближении и со статистич. и равновероятным размещением NO_3^- по 2 неэквивалентным положениям, соответствующим 2 различным вышеупомянутым структурным типам. Координаты атомов уточнены при допущении, что расстояние N—O — 1,22 Å, как обнаружено ранее в KNO_3 . Наискратчайшее расстояние Na—O, 2,39 Å, лишь на 0,05 Å длиннее этого расстояния при коми. т-ре. На основе полученных структурных данных вычислена конфигурац. энтропия I, величина к-рой соответствует измеренной калориметрически.

Р. В. Барацова

NaNO_3

D'ykanova M. E.,
et al.

1970

(dHsoln)

"P. Mosk. Khim.-Tekhnol. Inst,"
1970, N 67, 12-15.

(see. kel, I)

KCl, KNO₃, NaNO₃ (ΔH_{aq})
~~(ΔH_{aq})~~

1970
CO
BOP

Fukuda S., Kubo M., Fujike T. X 5515

Kyoritsu Yakka Daigaku Kenkyu
Nenpo 1970, no 15, 1-10 (en)

Heats of solution of sodium dodecyl
sulfate and 9 inorganic salts
determined with a microcalorimeter.
CA 74:175(2), 11163e

NaNO₃

В9-Х-4941

Р40

24 Б1203. Интегральные теплоты растворения нитрата натрия в воде при 18 и 25° в метастабильной зоне концентраций. Хренова Т. Л., Ахумов Е. И., Жилина Л. П. «Ж. прикл. химии», 1970, № 7, 1599—1602

Калориметрически определены интегральные теплоты растворения, ΔH_m , NaNO₃ в воде в зоне насыщения при 18

и 25°. На основании полученных значений ΔH_m вычислены относит. моляльные энталпии воды и электролита.

А. Н.

Х. 1970. 24

BY-X-4941 1970

NaNO₃

(7229t) Thermochemistry of supersaturated solutions. III. Integral heats of solution of sodium nitrate in water at 18 and 25° in the metastable region of concentrations. Khrenova, T. L.; Akhumov, E. I.; Zhilina, L. P. (USSR). *Zh. Prikl. Khim.* (Leningrad) 1970, 43(7), 1599-602 (Russ). Integral heats of soln., ΔH_m , and relative partial molal enthalpy of water and of electrolyte of NaNO₃-H₂O at different concns. are presented in tabular form. The ΔH_m for molal concns. above 9.3 (18°) and 10.0 (25°) can be calcd. with sufficient accuracy (± 1.3 at 18° and $\pm 1\%$ at 25°) from the linear concn. functions. At 18°, $\Delta H_m = 3750 - 89.04 m$; at 25° $\Delta H_m = 3653 - 78.48 m$ where m is the molality. Coeffs. in these equations are derived by the applied anal. method. ΔH_m is endothermic at 18 and 25° in the entire range of concns.; the endothermic properties of ΔH_m decrease continuously with an increase of concn. The supersatd. zone of NaNO₃ exceeds by far (12.57m at 18°; and 12.58m at 25°) the full hydration (3.96m). Similar to KNO₃, NaNO₃ belongs to electrolytes of the 2nd type. T. Ya. Cheron

 ΔH
Sols. ΔH_m

C.J. 1970 74.2

$\text{NaNO}_3, \text{KNO}_3 (\Delta H_{\text{aq}})$ 60 1970

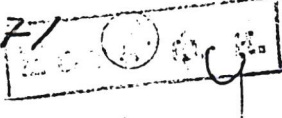
Крековъ Т.Я., Ахметов Е.И. № 4942
Энциклопедия

Д. прикн. химии, 1970, 43, №,
1846-1847

Теплоты кристаллизации соединений
пересыщенных растворов нитратов натрия-
вода и нитратов калия - вода при 18 и 25°.

РНХ Кнз. 1971

15767



В 91

NaNO₃ ad

BP-X-4941

1970

(124229h) Thermochemistry of supersaturated solutions. IV.
Heats of crystallization of salts from sodium nitrate-water and
potassium nitrate-water supersaturated solutions at 18 and 25°.
Khrenova, T. L.; Akhumov, E. I.; Zhilina, L. P. (USSR). Zh.
Prikl. Khim. (Leningrad) 1970, 43(8), 1846-7 (Russ). The

Dif
solut

integral dissoln. heat of binary solns. NaNO₃-H₂O and KNO₃-H₂O
from which the anhyd. salts are crystg. at 18 and 25° was estd.
The crystn. is substantially exothermic, esp. in case of KNO₃;
the heat of crystn. sharply depends on the coeff. of supercooling
of the solns., the heat linearly decreases with increase of the
coeff.; the crystn. heat exothermicity increases with the temp.
increase in the case of NaNO₃ and decreases in case of KNO₃ and
for a soln. of KNO₃ it is ~2.5 times larger and the concn. of the
soln. is ~40% of that of NaNO₃ at the same degree of supersatn.
and at given temp.

J. Stejskal

+1

C.A. 1970. 83:24

X

NaNO₃

ВР-Х-4941

1970

1 Б767. Теплоты кристаллизации солей из пересыщенных растворов нитрат натрия — вода и нитрат калия — вода при 18 и 25°. Хренова Т. Л., Ахумов Е. И., Жилина Л. П. «Ж. прикл. химии», 1970, 43, № 8, 1846—1847.

На основании эксперим. данных авторов (РЖХим, 1970, 9Б1460) по интегральным теплотам р-рения ряда солей в зоне насыщения вычислены теплоты кристаллизации NaNO₃ и KNO₃ из пересыщ. водн. растворов.

А. М.

д/ч
кристал.

+1



Х. 1971. 1

☒

NaNO₃

B9 4865-X

1970

59890a Macroscopic description for the lambda transition in sodium nitrate. Klement, William, Jr. (Sch. of Eng. and Appl. Sci., Univ. of California, Los Angeles, Calif.). *J. Phys. Chem.* 1970, 74(14), 2753-7 (Eng). For extensive intervals of temp. about the λ -transition temp. T_λ of NaNO₃, the thermal expansion $1/V(\partial V/\partial T)_p \approx B|T - T_\lambda|^{-1/3}$ and the sp. heat $c_p/T \approx C + D|T - T_\lambda|^{-1/3}$, where, among the consts., B and D are ~ 2.3 times greater below T_λ than above. These representations are consistent with the exptl. results for dT_λ/dp via a Pippard relation. Comparison of existing adiabatic elastic moduli allows ests. at various temps. of the compliances $|s_{13}|$ and $|s_{14}|$, which have neither been measured nor previously estd. If the order parameter for the transition is approx. identified with the relative vol. (which varies as $|T_\lambda - T|^{2/3}$), the present results are unified in a scaling law approach.

RCKG

C.F. 1970.73.12

1970

NaNO₃
3

24 Б751. Определение температуры λ -перехода нитрата натрия при давлении до 5 кбар. Klement W.

J. Determination to 5 kbars of the λ transition temperature in sodium nitrate. «J. Phys. Chem.», 1970, 74, № 14, 2751—2752 (англ.)

Методом ДТА изучен λ -переход NaNO₃ при давл. до 5 кбар, создаваемом в гидростатич. аппарате высокого давл. (скорость нагрева и охлаждения ~10—30 град/мин). Установлено, что т-ра λ -перехода увеличивается с давлением с коэф. от 7,2 до ~8 град/кбар.

Л. В. Шведов

T_{tr}

X. 1970. 24

77-93462

5029-72
1970

93462e Thermochemical study of the dissolution of sodium, potassium, and calcium nitrates in water-dioxane mixtures. Krestov, G. A.; Kharitonov, E. B.; Lapshina, O. B. (USSR). *Tr. Ivanov. Khim.-Tekhnol. Inst.* 1970, No. 12, 53-8 (Russ). From *Ref. Zh., Khim.* 1971, Abstr. No. 15B1075. Using a variable temp. calorimeter with an isothermal shell at 25°, enthalpy (ΔH_m) changes were detd. during dissoln. of NaNO_3 , KNO_3 , and $\text{Ca}(\text{NO}_3)_2$ in aq. solns. of dioxane contg. 0.70 wt. % dioxane with various concns. of salts (0.006-0.03M). First heats of solns. of nitrates in the H_2O -dioxane system were found by graphic extrapolation. From the obtained data and the literature, total changes of ΔH_m during solvation of stoichiometric mixts. of the ions ($\text{Na}^+ + \text{NO}_3^-$), ($\text{K}^+ + \text{NO}_3^-$), and ($\text{Ca}^{2+} + 2 \text{NO}_3^-$) were detd., and ΔH_m were calcd. during solvation of individual cations. The dependence of the 1st heats of soln. of nitrates on the compn. of a mixed solvent was studied. A characteristic discontinuity in the region of dioxane concns. close to 0.1-0.15 mole fractions was obsd. on the dependences of these values on the compn. Transfer enthalpies of the nitrates from H_2O to various compn. H_2O -dioxane mixts. were calcd. Structural representations were used for explaining the obsd. regularities.

at 5 Oct 1970

$\text{LiNO}_3 \text{aq}$, $\text{NaNO}_3 \text{aq} (\text{Ph}_2\text{O})$ № 5130 1970
Фурков А. В., Мамашкин В. Г.,
Ж. прикл. хим. (Ленхимгаз), 1970, 43,
№ 9, 1963-6 (русск.)

7

Давление пара и некоторые
термодинамические функции
каптранта, смеси и киптранта
кастрил (одних расстояний)
при 150 - 300.

В

оп

CA, 1970, 43, N26, 134139t

NaNO_3

Изобретение Н.Е.

1970

ЖГХ, 1970, 44, №5, 1339–1341

cp

К вопросу о газовых
превращениях в тв. соединения

отмечено
г. А. Бермана

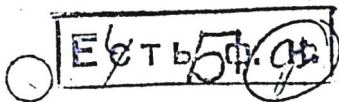
$\text{LiNO}_3, \text{NaNO}_3$ ($T_m, \Delta H_m, T_h, \Delta H_h$) 1970

Schürmann E., Nadeljkovskij 10
X 4786

Ber. Bunsenges. phys. Chem., 1970, 74, NS,
462-470 (Heft)

Коррекция температуры и термодинамические
свойства $\text{LiNO}_3 - \text{NaNO}_3$

РНГУ, 1970
225257



NaNO₃ aq. 1970
Түшкөв Н.В.

Мамасукене' Б.Т.

P₄₂₀

Ж. Түшкөв. Хөгжлийн,

1970, 43, 9, 1963.



(ац. NaNO₃) I

NaNO₃

1941

(1153b) Thermochemistry of supersaturated solutions. VIII.
Concentration dependence of the integral heat of dissolution in
the metastable region. Akhumov, E. I.; Zhilina, L. P.; Sav-
chenko, N. I. (USSR). *Zh. Prikl. Khim. (Leningrad.)* 1971,
44(3), 668-9 (Russ). The integral heat of soln. data of some
binary salts forming supersatd. aq. solns., reported previously
by the authors, allowed calcn. of the heat of crystn., ΔH_{cr} , which
was linearly related to the degree of supersatn., μ , i.e. $\Delta H_{cr} =$
 $a + b\mu$; $\mu \equiv m/m_0$, where m and m_0 = molal concns. of the
supersatd. and satd. soln., resp., and $a, b = \text{const.}$ An equa-
tion for calcn. of the integral heat of supersatn., ΔH_m , from a ,
 b, μ and the integral heat of satn. is derived, and the calcd. ΔH_m
values for aq. supersatd. NaNO₃, KNO₃, and NaOAc at 18 and
25° are compared with the exptl. values at $\mu = 1.2$ and 1.4.
The agreement was excellent indicating the possibility of calcg.
the ΔH_m of highly supersatd. solns. which cannot be measured
directly.

I. L. Kalnin

12

11/13

16/12 21/13/1971

C.D. 1941.452



NaNO₃-H₂O; KNO₃-H₂O (dG, dH, dS) 1971
р-рец перехода
Ахметов Е.И., перешедших в
Грекова Н.Н. наимен. р-р | Воп
Х 6974

Ил. физ. хим., 1971, 45, № 11, 2737-41 (рус.)

Переходно-ионическое свойства
переходных расщеплений нитрат-
ионов на иодид-вода, нитрат калия
-вода и т.д. диссертация, посвящён-
ная изучению ионных равновесий с нитратом

NaNO_3 | Д-ников Р. Р., 1971

380 | Реметников Н. А.

Л. Крутиков посвящен
Финсова ак-та, 1971, лист. 66,
с. 37

[39]

NaNO_3 (груп) T_m

$\text{Ba}(\text{NO}_3)_2$ (ΔH_m) 9 (IX 2997) 1971

NaNO_3

Gauhe-Escard M., Douce & Y.

C. R. Acad. sci., 1971, C 272, N^o 5, 535-537 (pp. 34)

Экспериментальное обоснование реакции
 $\text{NaNO}_3 - \text{Ba}(\text{NO}_3)_2$ при разрушении
ионных кристаллов

Ригидн., 1971

135615

6
10 4302
20 4302

5 (9)

Na_2CO_3 , NaNO_3 , Na_2SO_4 , Na_2SO_3 , (allag) 1921

Greyson J., Snell H. X-5266 10

J. Chem. Eng. Dada, 1921, 16, 11, 73-4

Heat of transfer between
heavy and normal water for
some inorganic acid salts.

~~See p. K. 10~~

B Ⓡ X 5266 CA, 1921, 16, 114, 684508

NaCl, NaNO₃, Na₂SO₄(aq) (T_B, ΔH_V) 1971
Expt. № 4182

Гурбеков Т. М., Акжарасыкүй С. А.,

Госманук Т. М., Гактаева Н. Н.,

Науч. пр. Шаукетом наимен.

Изд. 1971, № 8, 116-13 (русск.)

Порядок кристаллизации и макромолекулярные
расслоения в водных расщеплений
модифицированных полимеров
показан в работе № 4182

3. ②

CA, 1972, 26, MR, 131693V

10

E 6584

1971

(K_c) MgNO₃ (p.v; H₂O); MgT₂O₃ (p.v; H₂O) MgB₂O₃ (p.p; H₂O),
 где Mg = Na, K, Rb, Cs.

Justice M.-C., Burg R., Justice J.-C.,

Electrochim. acta, 1971, 15, №, 687-700

Кондукторные и диэлектрические свойства
 ют алюминия. Состав межатомных связей и
 кислородных окислов в бете при 25°C

Рефл. 2151210, 1971 еер QMK B.

NaNO_3 Myasnikova, T.P.;
et al.

1971

(T_{tz}) „Krist. Fazovye Prevrashch.
1971, 41-5.

● (all. KNO_3 ; I)

LiNO_3 , KNO_3 , NaNO_3 , RbNO_3 , CsNO_3 (шифр) 1971

Одесса ри. № 13879

Ж. спрятк. земл., 1971, 12, N_o 913-15

(русск.)

Рынчущие распределенные газ
водных расстояний магнитных
изменений земли.

3 10

⑩

○

CA, 1972, 46, N_o 18635j

Л 6766

1931

LiNO_3 (р.р.и.к.) ; KNO_3 (р.р.и.к.) (К_с)
 NaNO_3 (р.р.и.к.з)

ГИДРОГЕОХИМИЧЕСКАЯ
ИССЛЕДОВАНИЯ

Теренкубов. Н. О., Бондарев. С. А., Курбаков.
Днепров. Р. Е., Куратова. Т. С. В с.с., Теренкубов
Бондарев, Аксесс-Ата, 1931, 128-133

Прил. 56/1453 1932 9 B.

NaNO₃

NaNO₂

(naphaerip
Tphon:)

B9P - 6879-X

1971

8348) Grueneisen parameters around the phase transitions in sodium nitrite and sodium nitrate: Wegdam, G. H.; Van der Elsken, J. (Lab. Phys. Chem., Univ. Amsterdam, Amsterdam, Neth.) *Solid State Commun.* 1971, 9(21), 1867-9 (Eng). The temp. dependence of the far ir active phonon frequencies of NaNO₃ and NaNO₂, combined with the thermal expansion coeffs. give the Grueneisen parameters for the optical modes. The Grueneisen parameters show an important temp. dependence in the vicinity of the phase transitions.

(+1)

KCl ; $\text{Ca(NO}_3\text{)}_2$; NaBr ; NaI , MgNO_3 ; KBr , KI , KNO_3 ; RbNO_3 , CsNO_3 ; $\text{La(NO}_3\text{)}_3$; Dl sol. I) 1971

Земель B. A., Краснодар F. A., ~~1971~~

Гл.сп. расчетыоров; 1971, 148-53 (посл.)
~~27 VIII 5583~~

Первогородицкое землемера-
ние расчетыоров Ильин В
гл.сп. расчетыоров

B 14 ♂ 10

р.д, 1973, 78, 110, 631141

NaBz , NaNO_3 , KNO_3 (DHmix) 1972

Aghai-Khafzi H, Gauje-Escard M.

Bros Jeanne-Pierze. - № 7389

J. chim. phys. et phys.-chim. biol.,

1972, 69, № 9, 1403-1404 (Франц.)

Калориметрическое исследование
расплывающихся смесей нитрат калия -
брония калия и нитрат калия -

брония калия

РЖХЧиМ, 1973

55685

М В

cp

7

NaNO₃

BP-6916-X

1972

- 14 Б814. Кривая плавления нитрата натрия в интервале 40—80 кбар. Bastide Jean-Pierre, Rapoport Eliezer, Loriers-Susse Christiane. Courbe de fusion du nitrate de sodium entre 40 et 80 kbar. «С. г. Acad. sci.», 1972, C274, № 6, 562—565 (франц.)
- Методом DTA исследована диаграмма плавления нитрата Na в интервале давления (F) 0—80 кбар. Результаты до $F=40$ кбар сравнены с данными, полученными в других работах. При $F=42$ кбар и т-ре 578° на кривой плавления обнаружен максимум, рядом с к-рым находится тройная точка (45 кбар, 575°). Определена кривая, соотв-щая переходу порядок-беспорядок тв. фаз I и II нитрата Na.

В. А. Лившиц

X·1972

19

NaNO₃

Bр - 6916-X

1942

7 E526. Кривая плавления нитрата натрия между 40 и 80 кбар. Bastide Jean-Pierre, Rapoport Eliezer, L'oriers-Susse Christiane. Courbe de fusion du nitrate de sodium entre 40 et 80 kbar. «С. г. Acad. sci.», 1972, C274, № 6, 562—565 (франц.)

На установке высокого давления типа belt в интервале давлений до 80 кбар и T до 650°C методом ДТА проведено изучение кривой плавления нитрата натрия. Показано, что кривая плавления имеет максимум при $p=42$ кбар, $T=578^{\circ}\text{C}$ и тройную точку I—III — жидкость при $p=45$ кбар, $T=575^{\circ}\text{C}$. Предполагается, что фаза III является сегнетоэлектрической и относится к группе R3c.

Е. С. Алексеев

T_m

РНФ, 1942, 46

NaNO₃

Bsp -69 f6-X

1972

-132096q Fusion curve of sodium nitrate between 40 and 80 kbar. Bastide, Jean P.; Rapoport, Eliezer; Loriers-Susse, Christiane (Lab. Hautes Pressions, CNRS, Bellevue, Fr.). *C. R. Acad. Sci., Ser. C* 1972, 274(6), 562-5 (Fr). The equil. melting curve of the temp.-pressure phase diagram of NaNO₃ (>99% purity), which was detd. by the described high-pressure DTA app., went through a relative max. at ~42 kbars and 578°, a triple point at 45 kbars and 575°, and a 2nd max. at ~75 kbars and ~650°. A triple point at ~46 kbars and 485° for the coexistence of the solid I, II, and III phases of NaNO₃ is indicated.

P. u.

T_m

C.A. 1972

46.22

1972

NaNO_3

4 Б814. Увеличение энтропии при фазовом переходе II—I в NaNO_3 . Fermor J. H., Kjekshus A. On the entropy increment at the phase II to I transition in NaNO_3 . «Acta chem. scand.», 1972, 26, № 5, 2039—2044 (англ.)

Рассмотрены лит. данные по методам расчета изменения энтропии при фазовом переходе II—I в NaNO_3 . Предложен улучшенный способ вычисления энтропии разупорядочнения молек. или ионных групп на основе динамич. модели решетки кристалла. Получено значение, равное 1,7 э. е., для энтропии ориентаци. разупорядочнения нитратных групп в NaNO_3 при 553°K .

Г. Л. Апарников

(ΔH_{tr})

Х. 1973. № 4.

NaNO3

1972

2 E557. Возрастание энтропии при фазовом переходе II \rightarrow I в NaNO3. Fergt og J. H., Kjeksbus A. On the entropy increment at the phase II to I transition in NaNO3. «Acta chem. scand.», 1972, 26, № 5, 2039—2044 (англ.)

(NaNO3)
(4S:)

На основе динамич. теории кристаллич. решетки рассматривается возрастание энтропии в результате ориентационного разупорядочения молекул или ионных групп. Увеличение энтропии вычисляется по изменению дебаевской т-ры, которое определяется с помощью эксперим. измерений упругих постоянных решетки. Изменение энтропии при ориентационном разупорядочении группы нитрата в NaNO3 при $T=553^{\circ}\text{K}$ согласно теории равно 1,7 эв. Проведено сравнение метода с термодинамич. теориями ориентационных переходов.

Л. Трусов

Фунд - 73-2

NaNO₃

BP-X-7481

1972

KNO₃

) 8599h Determination of the thermodynamic properties of supersaturated solutions using mathematical statistics. Khrenova, T. L. (Leningr. Inzh.-Stroit. Inst., Leningrad, USSR). Ukr. Khim. Zh. (Russ. Ed.) 1972, 38(10), 1015-18 (Russ). A regression anal. is performed to calc. from exptl. data the heat of soln. ΔH of NaNO₃ and KNO₃ (in cal/mole): NaNO₃ at 18°, $\Delta H = 2748 - 84.76(11.210m)$; at 25°, $\Delta H = 2789 - 72.46 \times (10.77m)$; KNO₃ at 18°, $\Delta H = 6619 - 434.08(3.240m)$; at 25°, $\Delta H = 6163 - 434.42(4.174m)$. John Howe Scott

(ΔH solv)

C.A. 1973, 78, N2



$\text{AgNO}_3, \text{NaNO}_3$ ($\Delta H_m, T_{f2}$) X-7585/972

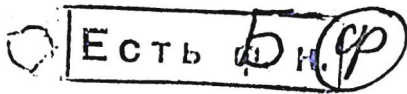
Skazch; dan D.I., Vasu Loura.

Rev. Roum. chim., 1972, 17, N10, 1649-1655

(sum.) The heats of melting in the
binary mixtures: $\text{AgCl} + \text{AgBr}$ and
 $\text{AgNO}_3 + \text{NaNO}_3$.

PH Khru, 1973

135819



KNO₃, NaNO₃ (ΔH) № 7190 1972
aq. aq.

Лищенко Р. Н., Чижев А. Н.,
Хим. журн., 1972, 42, № 11, 17-20

(русск.)

Причесывание химико-технологических
свойств растворов кальция и калия при различ-
ных концентрациях и температуре

ст. 1979, № 26, 15927/к

B (P)

20531.3620

Ch1.3.1

KCl (0.1M); NaNO₃ · CH₃COO
(0.1)
X 7227 54997 GR

Simeon Vl. Ivičić N., Tkalčec M.
Construction of a simple reaction
calorimeter and heats of some standard
reactions at 20°C. "Z. phys. Chem."(BRD),
1972, 78, N 1-2, 1-12

(англ.)

В. С.

0631 ник

515 618

0624

ВИНИТИ

ВФ №166-Х

1872

NaNO₃

20 Б786. О механизме непрерывного превращения в нитрате натрия. Stremme K. O. On the mechanism of the continuous transformation in sodium nitrate. «Acta chem. scand.», 1972, 26, № 2, 477—482 (англ.)

На основании анализа термодинамич. и структурных данных о различных модификациях NaNO₃ (I) обсужден возможный механизм непрерывного перехода I из упорядоченных низкот-рных упорядоченных модификаций со структурой кальцита (II) или арагонита (III) в разупорядоченную высокот-рную модификацию — NaNO₃—I (IV). Указано, что этот переход происходит при т-ре 290°. Предполагается, что механизм разупорядочения основан на переориентации NO₃-групп и связанным с ней изменением статистич. внутримолек. расстояний между атомами в молекуле I. Установлено, что

T_{E2}

X·1972·20

ниже точки перехода увеличение т-ры приводит к по-
степенному нарушению порядка и превращению II в
III. При этом увеличение энергии, вызванное разупо-
рядочением, компенсируется ростом энтропии гл. обр.
за счет нарушения ориентации NO_3 -групп. Вблизи точ-
ки перехода III в IV происходит уменьшение энергии
переориентации NO_3 -групп и соотв. увеличение скорости
разупорядочения, к-рая достигает максим. значения в
точке перехода. Проведен приблизительный термодина-
мич. расчет предложенного механизма превращения.

С. С. Плоткин

NaNO₃

B9P-7377-X

1972

(80412D) Light scattering study of precrystallization phenomena of supersaturated saline solutions. Svoronos, Demosthene Renos; Magnier, Claude (Lab. Chim. Miner., Univ. Paris VI, Paris, Fr.). *C. R. Acad. Sci., Ser. C* 1972, 274(22), 1833-6 (Fr). For supersatd. aq. solns. of LiNO₃.3H₂O (satd. at 29°) and NH₄NO₃ (satd. at 30°) with decreasing temp., the light-scattering optical-dissymmetry factor (*Z*) (S. and M., 1971) increased abruptly at 9 and 8° prior to any crystn. for the LiNO₃.3H₂O (crystd. at 5°) and NH₄NO₃ (crystd. at <5°) solns., resp., owing to the appearance of precrystn. nuclei in a temp. range where the crystal-growth rate was greatly inhibited by high viscosity in the soln. No abrupt variations of *Z* prior to crystn. were obsd. for supersatd. aq. solns. of NaNO₃ (satd. at 25°; crystd. at 19°), RbNO₃ (satd. at 25°; crystd. at 14.5°), or CsNO₃ (satd. at 30°; crystd. at 10°), probably because of a more or less significant overlapping of the Tammann nucleation-rate and crystal-growth-rate curves.

(T_{tr})

C.A. 1972.14.12

(+2)

☒

1972

NaNO_3

(T_m)

$\text{NaAg}(\text{NO}_2)_2$

(T_{tr})

135178d Properties of sodium argentonitrites, $\text{NaAg}(\text{NO}_2)_2$, and $(\text{Na}, \text{Ag})\text{NO}_2$. Soboleva, L. V.; Kosyrbasova, M. G.; Ogadzhanova, V. V. (Inst. Kristallogr., Moscow, USSR). *Izv. Akad. Nauk SSSR, Neorg. Mater.* 1972, 8(3), 533-5 (Russ.). $\text{NaAg}(\text{NO}_2)_2$ was prep'd. in the form of fine yellow crystals, by the reaction of solns. of NaNO_2 and AgNO_2 . AgNO_2 was prep'd. from AgNO_3 and NaNO_2 solns. in a dry N atm. and recrystd. from aq. soln. at 70° in the form of fine transparent needles of a dull yellow color. $\text{NaAg}(\text{NO}_2)_2$ single crystals were grown from an aq. soln. under dynamic conditions by lowering the temp. from 25 to 10° . These single crystals are rhombic prisms with pyramidal ends. The DTA curve of $\text{NaAg}(\text{NO}_2)_2$ showed 3 endothermic effects at 32 , 180 , and 270° and an exothermic effect at 240° . Most of the N oxide gases evolved

C.A. 1972-46-22

at 180°. The endothermic effect at 32° corresponds to the phase transformation of $\text{NaAg}(\text{NO}_3)_2$; that at 180° corresponds to decompn.; and that at 270° corresponds to the m.p. of NaNO_3 . The final product at 475° contained metallic Ag and NaNO_3 . The solid soln. $(\text{Na}, \text{Ag})\text{NO}_3$ contained 5.4% AgNO_3 and 44.9% NaNO_3 , and it was obtained in the form of thin transparent yellow platelets from aq. soln. by slow evapn. at 25°. Two endothermic effects, at 120 and 230°, were obsd. on the heating curves of this solid soln. At 125° the solid soln. undergoes a phase transformation, and at 230° it decompns. to NaNO_3 and Ag.

S. A. Mersol

1972

№ № 3
1 Е938. Рентгенографическое исследование фазового перехода в NaNO_3 . Тегаuchi Hikaru, Yamaada Yasusada. X-ray study of phase transition in NaNO_3 . «J. Phys. Soc. Jap.», 1972, 33, № 2, 446—454 (англ.)

Рентгенографически исследован фазовый переход в кристаллах NaNO_3 , связанный с упорядочением ориентации ионов NO_3^- . Анализ эксперим. результатов на основе микроскопич. теории (модель Изинга) позволил определить энергию парного взаимодействия между ионами NO_3^- . Результаты сводятся к следующим: 1. Эллипсоидальное распределение критич. диффузного рассеяния в пространстве обратной решетки связано с взаимодействием ионов NO_3^- с первыми и вторыми ближайшими соседями. 2. Температурная зависимость критич. рассеяния совпадает с расчетной, полученной в приближении случайных фаз, при $T > T_c + 4,5^\circ \text{K}$. 3. Температурная зависимость параметра дальнего порядка и аномальное увеличение размеров ячейки вдоль c -оси объясняются зависимостью энергии взаимодействия между ионами NO_3^- от напряжений.

Г. З. Горбатов

Р99нс -73-1

1973



52818u Sodium nitrate-rubidium nitrate-water system at 25°. Arkhipov, S. M.; Kashina, N. I.; Kuzina, V. A. (USSR). *Zh. Neorg. Khim.* 1973, 18(11), 3148-9 (Russ.). Solv. in the $\text{NaNO}_3\text{-RbNO}_3\text{-H}_2\text{O}$ -system was studied by an isothermal method at 25°. Three crystn. fields were found: NaNO_3 , RbNO_3 , and incongruently melting $2\text{RbNO}_3 \cdot \text{NaNO}_3$. X-ray data is given for $2\text{RbNO}_3 \cdot \text{NaNO}_3$. The peritectic point occurs at RbNO_3 33.85 and NaNO_3 30.58 wt. %. The eutonic soln. contains RbNO_3 28.62 and NaNO_3 38.15 wt. %.

(Tm)

L. A. Masironi

C.A. 1974. 80. N10



(+2)

NaNO_3

1973

Barrin Y, et al.

D. I; p. 533

298 - 579 (mc)

579 - 400 (mc)

(coll. Ag F-I)

NaNO_3

ВФ 8044 - X

1973

7 Б905. Об анионном и катионном разупорядочении в NaNO_3 . Fertog J. H., Kjekshus A. Note on anion and cation disorder in NaNO_3 . «Acta chem. scand.», 1973, 27, № 6, 2254—2256 (англ.)

Рассмотрены ранние работы по изучению фазовых переходов в тв. NaNO_3 , происходящих при $\sim 420^\circ$ и $\sim 550 \text{ K}$, и обсужден механизм этих фазовых превращений. Природа этих фазовых превращений состоит в разупорядочении катионной и анионной подрешеток вследствие динамич. беспорядка групп между двумя неэквивалентными ориентациями и возрастающей подвижности ионов Na^+ с повышением т-ры. Анионное разупорядочение легко обнаруживается при калориметрич. исследованиях, поскольку неэквивалентность разупорядоченных ориентаций дает определенный вклад в распределение энтропии, но не фиксирует-

(T_{tz})

Х. 1974 № 7

ся дифракц. или электростатич. методами. Напротив, катионное разупорядочение влияет на электропроводность, но не обладает калориметрич. эффектом вследствие эквивалентности положений, занимаемых катионами. Поэтому разупорядочение катионной подрешетки хорошо фиксируется по изменению уд. электропроводности или по изменению величины диэлектрич. постоянной при низкой частоте ($\sim 10^4$ Гц). Поэтому для правильной оценки статистич. и динамич. аспектов поведения крист. решетки, связанного с наличием термич. разупорядочения, необходимо проводить электрич. измерения NaNO_3 с использованием постоянного и переменного электрич. тока.

А. В. Салов

LiNO_3 , $\underline{\text{NaNO}_3}$, KNO_3 , RbNO_3 , CsNO_3 , 1973

AgNO_3 , TENOs NH_4NO_3 (T_{tr}) 87831

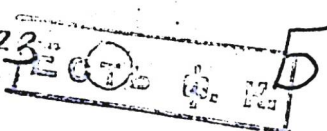
Fermor, J.H., Kjekshus A.

Acta chem. scand., 1973, 27, N3, 915-923/au,

A dependence of transition properties of
the univalent nitrates upon structural
entities.

PHK 1973

235993



10¹⁵ 15

NaNO_3 (aq)

BP-X-7621

1973

141098k Specific heat of aqueous solutions of sodium and potassium nitrates in the 25-340° range. Puchkov, L. V.; Matveeva, R. D.; Baranova, T. L. (Leningr. Tekhnol. Inst. im. Lensoveta, Leningrad, USSR). *Zh. Prikl. Khim. (Leningrad)* 1973, 46(2), 443-5 (Russ.). Heat capacity (C_p) measurements are presented for aq. NaNO_3 from 25-340° at 5.034-48.21 wt. %, and for aq. KNO_3 at 5.009-25.11 wt. %.

(C_p)

C.D. 1973 28 Nov

(+) KNO_3

NaNO₃
KNO₃

(-C_p)

392-X-7621

1973

12 Б698. Теплоемкость водных растворов нитратов натрия и калия в интервале температур 25—340°. Пучков Л. В., Матвеева Р. П., Баранова Т. Л. «Ж. прикл. химии», 1973, 46, № 2, 443—445

Измерена теплоемкость водн. р-ров NaNO₃ и KNO₃ в широком диапазоне конц-ий при т-рах 25—340°. В интервале т-р 25—75° измерялась истинная теплоемкость на калориметре с изотермич. оболочкой, а при т-рах 150—340° ср. теплоемкость р-ров, находящихся в равновесии с насыщ. паром, на калориметре смешения с массивным медным блоком. Проведено сравнение концентрац. зависимости мол. теплоемкости р-ров. Различие в ходе кривых при 25° объяснено спецификой действия на воду ионов Na⁺ и K⁺. При высоких же т-рах специфичность действия ионов на уже деструктурированную воду сглаживается.

Автореферат

X. 1973 N 12



Na_2SO_4 ; LiNO_3 ; NaNO_3 ; KNO_3 ; $\text{H}_2\text{O}(\text{cp})$ 1973

Петров Г.И., Пучков А.В., № 8139

Н. прикл. хим. (Ленинград),

1973, 46, N10, 2233-6 (русск.)

Ациабатышский каморицентр
для измерения плавающих
косых жестких всплесков в
районе О-100.

Б СР

СА, 1974, 80, N10, 53023t

NaNO_3 Rao K. J., 1973

3927 Helprey D. B., Angell C. A.

Phys. ~~and~~ Chem. Glass, 1973,

14, p. 26.

Alucora

[55]

$\text{NaNO}_3 (x, \text{xc})$

NaNO₃

(T_{tz})

BEP 8153-X

1973

197587p Thermal analysis of calcium nitrate-sodium nitrate, calcium nitrate-lithium nitrate, and sodium nitrate-lithium nitrate binary systems. Storonkin, A. V.; Vasil'lova, I. V.; Shamko, V. I. (USSR). *Vestn. Leningrad. Univ., Fiz., Khim.* 1973, (2), 67-9 (Russ). The cooling rate has a marked effect on the crystn. in Ca,Na||NO₃; Ca,Li||NO₃; and Na,Li||NO₃ binary systems. The $\alpha \leftrightarrow \beta$ transition of NaNO₃ at 270° is shown by addnl. peaks on the thermal differential curve and by breaks on the liquidus curves of the Ca,Na||NO₃ and Na,Li||NO₃ systems. The resp. compn. and the crystn. temp. of the eutectic for the systems Ca,Na||NO₃; Ca,Li||NO₃; and Na,Li||NO₃, are 31 mole % Ca(NO₃)₂, 214°; 12-16 mole % Ca(NO₃)₂, 220°; and 44 mole % NaNO₃, 187°. These results agree well with those obtained earlier by the zone-melting method.

Jean Plamondon

N10 6/11/2

CH 1973 79 N/6

NaNO_3 Сорокин Н. В. 1973
985 Василькова А. В.,
Шендерова С. В.

Пространство
Ил. зрец. земли, 1973,
47, с. 2031

Л402

NaNO_3 (к, м) T_m

Vz05 - NaNO₃ (фаз. диагр.) 88291 1975

Сирбодич Б.В., Морхосов И.В.,
Ленкова В.Г.,

Ж. неорг. хим., 1973, 18, №2, 433-7

(русск.)

Показывающееся сдвиги
переходов в системе натрио-
кисл. ванади а - нитрат нат-

Б (P)

(ал. оригинал) СА, 1973, №18, 115852.9

NaNO₃

1973

152157e Ionic solvation in solvent mixtures from vapor pressure measurements of dilute electrolyte solutions. I. Sodium salts and silver nitrate in a water-tetrahydrofuran mixture ($P = 40.00\%$) at 25° . Treiner, Claude; Bocquet, Jean Francois; Chemla, Marius (Lab. Electrochim., Paris, Fr.). *J. Chim. Phys. Physicochim. Biol.* 1973, 70(3), 472-80 (Fr). The vapor pressure of different dil. ($m \leq 0.05$) electrolyte solns. (NaNO_3 , NaClO_3 , NaClO_4 , NaPh_4B , AgNO_3) in a $\text{H}_2\text{O-THF}$ mixt. of 40.00% compn. were measured with high precision by a static vapor pressure technique. Two methods are proposed to calc. the vapor phase compn. in equil. with the electrolyte solns.: a) from a gas state equation and b) by integration of the Gibbs-Duhem equation. The results are used to det. the rate of change of the std. chem. potential of the electrolytes $\partial\bar{G}^0/\partial x_1$ with the solvent compn. and to obtain solvation nos. NaNO_3 , NaClO_3 , and AgNO_3 are preferentially solvated by water ($\partial\bar{G}^0/\partial x_1 < 0$) and NaClO_4 and NaPh_4B are preferentially solvated by THF ($\partial\bar{G}^0/\partial x_1 > 0$).

C.A. 1973. 78 N24

NaNO₃

1973

84: 1380082 Physicochemical properties of sodium nitrate.
Vashchenko, V. A.; Kushpotov, Ia. Ya.; Takhtamysheva, L. S.;
Efimova, L. I.; Finaev, Yu. I.; Popov, E. I. (Vses. Nauchno-Issled.
Inst. Gos. Patentnoi Ekspertizy, Moscow, USSR). *Teplo-
Massoperenos, Dokl. Vses. Soveshch.*, 4th 1972 (Pub. 1973),
19, Chast 1, 614-39 (Russ.). Edited by Lykov, A. V., Akad.
Nauk BSSR, Inst. Teplo-Massobhiman; Minsk, USSR.
A review with 73 refs. is given on the physicochem. properties of
NaNO₃, including phys. consts., solv., heat of formation,
decompn. temp., kinetics, and mechanism. The decompn. temp.
of NaNO₃ exceeds its m.p. The degree of decompn., the rate and
mechanism of decompn. depend on the temp., the crucible
material, pressure, and the compn. of the ambient atm.

(SHf, Tm)

C.A.1976 84 n20

LiNO_3 , KNO_3 , $\underline{\text{NaNO}_3}$ ($\Delta H_{\text{f}}, \Delta G$), № 7904 1973
 KPO_4^{3-} , NaPO_4^{3-} , LiPO_4^{3-} , $\text{NH}_4\text{PO}_4^{2-}$ ($\Delta H, \Delta G$)

Васильев В. Н., Александров Г. А.

Ж. неоргн. химии, 1973, 18, № 8, 2055-2062

Периодичность реакций образования
тирофосфатных комплексов цианогидри-
деполюсов в водном растворе

РНХим, 1973

245936

В

cp

М.А.Уз (АИ), Т. К-9763 1973

Лисичка В. И., Киренский А. А.
Макмайклова Л. С., Ермакова Н. Н.
Федоров А. Н., Некрасов Е. Н.

Менюинская коллекция, фонд № 10

Беседын. собес., 1972, (янв. 1973)

10, лист 1, 614-39.

Физ. ход. об-ва Науки

5, м

С.А.1976.24 №20.138082

X-3930 1974
LiNO₃, KNO₃, LiBr, KBr, NaNO₃,
NaBr, NaOH, KOH (all mix)

Aghai-Chafri Hossein.

Thèse doct. sci. phys. Univ. Provence,
1974, 193p /ppany/

Есть оригинал

NaNO₃

В СР 86.38-8

1974

23 Б901. Исследования λ -перехода и перехода твердое тело — жидкость в нитрате натрия при давлениях до 6 кбар. Cohen Lewis H., Clement William, Jr. Investigation to 6 kbar of lambda and solid-liquid transitions in sodium nitrate. «J. Chem. and Eng. Data», 1974, 19, № 3, 210—211 (англ.)

Методом ДТА с использованием аппаратуры для поддержания гидростатич. давл. изучены λ -переход и переход тв. тело — жидкость (т. е. плавление) в NaNO₃ при давлениях до 6 кбар. Получена хорошая сходимость между зависимостями, предсказанными на основании термодинамич. данных при давл. 1 бар и наблюдаемыми эксперим. значениями зависимости т-ры

T_{tr}, T_m

Х.1974. № 3

перехода от давл., составляющей $7,0 \pm 0,5$ и $15,5 \pm 0,7$ град/кбар для λ -перехода и плавления соотв. Незначит, «искривление» траектории λ -перехода найдено при настоящих условиях эксперимента, в то время как для кривой плавления $-d^2T/dp^2 = \sim 0,6$ град·кбар $^{-2}$. Это приводит к более точным определениям точки разрыва соотв-щих термодинамич. функций в точке плавления.

А. В. Салов

LiNO_3 , NaNO_3 , AgNO_3 , KNO_3 1974.

(T_{tr} , aSm).

§ 8585

Физикарский И.К., Курчалов С.А.,

Меан. и эксперим. химия, 1974,
10 (2), 201-6.

температурно-разовая зависимость спектра и структурных измнений цинка, никеля, кальция и серебра.

5 Ⓣ

10

C.A.1974.81 n 4.18782 p

1974

NaNO₃

30436m Thermochemical study of ion coordination in solutions. Krestov, G. A.; Kurakina, G. I. (USSR). *Zh. Neorg. Khim.*, 1974, 19(4), 886-8 (Russ). The no. of solvating H₂O

mols. in aq. solns. of NaNO₃, KNO₃, and CsNO₃ in 2 distinct hydration regions was detd. as ~30 and ~60 from derivs. of the dependences of the calorimetrically measured heat of soln. of the salts on molality at concns. from 0.01M to satn. The derivs. exhibit a jumpwise character. K. A. Hlavaty

4 H₂soln(2)

C.A.1974.81.N4

X-9477

1974

NaND₃ (T₀₂)

Klement W.

J. Inorg. and Nucl. Chem.

1974, 36, N8, 1916-1918



5

LiNO_3 , KNO_3 , $\underline{\text{NaNO}_3}$ 1974.
 $(\Delta H, \Delta S, Cp)$. $\underline{x} 859.2$

Турков Н.В., Мамбетова Р.Н., Петров Т.Н.;
ж. физ. химии, 1974, 48 (2), 489.

Интегральное функции растворенных
веществ, например и калорий (нагревателей)
в воде в интервале 25-300°.

B (Cp)

С.А. 1974. 81 № 4 17653к.

LiNO_3 , NaNO_3 , KNO_3 (2Hg) 1974.
X-9042

Түркеб-д.Б., Намбекеева Р.К.,
Темиров Т.У., Барасова М.И.,
Ж. приз. химии, 1974, 48(3),
449.

Экспериментальные данные о расщеплении
ионов Li^+ , Na^+ и K^+ в
цинергии: 25-34°. 5
С.А. 1974. № 8. 423704. Всес. оп

X-9469

1974

LiNO₃, LiCl,

LiBr, LiI, NaNO₃, NaCl, NaBr, NaI, KNO₃,
KCl, KB₂, KI, RbNO₃, RbCl, RbBr, RbI,
CsNO₃, CsCl, CsBr, CsI(aq) (K. Yu. Vaynshteyn)

Rezanov, M. A.

M. gaz. khim., 1974, 48/8, 2155

B

NaNO₃ (aq) & H₂SO₄). X 8565 1974.

Roebisch G., Ludwig E.,

Z. Chem., 1974, 14 (3), 103.

Preparation and analytics of
concentrated nitrosyle hydrogen
sulfate solutions in sulfuric
acid.

B (P)

C.A. 1974. 81 N4. 20354u

1974

NaNO₂ - NaNO₃ (Tb. p-p)

149617r Phase transitions of sodium nitrite-sodium nitrate mixed crystals. Satyamurthy, H. B.; Srinivasan, S.; Sivarama-Krishnan, V. (Dep. Phys., Indian Inst. Technol., Madras, India). *Indian J. Pure Appl. Phys.* 1974, 12(1), 71-2 (Eng). X-ray studies show that solid solns. are formed in the NaNO₂-NaNO₃ system. DTA of these solid solns. indicates the presence of a new transition peak at 205° in addn. to the ferroelec.-para-elec. transition peak at ~165°, which is obsd. in pure NaNO₃. Dilatometric studies, however, show that there is an anomaly even in pure NaNO₃ at ~205°. This anomaly is attributed to the rotation of the nitrite groups about one of the crystallog. axes. It is probable that the prominence of the peak in the solid solns. crystals is due to a similar cause and is aided by the presence of the larger nitrate ions.

Tr

C.A. 1974, 80, N26.

1974

NaNO_3

(T_{tr})

з Б923. Фазовые превращения в твердых растворах нитрит натрия—нитрат натрия. Satyamurtty H. B., Srinivasan S., Sivaramakrishnan V. Phase transitions of sodium nitrite-sodium nitrate mixed crystals. «Indian J. Pure and Appl. Phys.», 1974, 12, № 1, 71—72 (англ.)

Рентгенографическим исследованием кристаллов, выращенных путем медленного охлаждения расплавов и содержащих до 15 мол.% NaNO_3 , показано, что в системе NaNO_2 (I) — NaNO_3 (II) образуются тв. р-ры. Методом ДТА в них обнаружено превращение при $205 \pm 5^\circ$ помимо ранее известного превращения при $\sim 165^\circ$ чистого I из ферроэлектрич. в параэлектрич.

2. 1975 №3

По аналогии с объяснением аномалии теплового расширения чистого I при 207° исходя из представления о тепловом вращении NO_2^- -групп относительно с-оси выдвинуто предположение, что превращение в тв. р-рах имеет аналогичную природу, но более ярко выражено вследствие вращения более крупных NO_3^- -групп.

А. Е. Волыян

1974

NaNO₃

12 Б866. Разложение нитрата натрия. Ващенко В. А., Кашпоров Л. Я., Фролов Ю. В., Тахтамышева Л. С., Ермолова Л. И. (АН СССР, Ин-т хим. физ. Препринт). Черноголовка, 1974. 21 с., ил.

(Tm)

Систематизировали результаты исследований по термич. разл. NaNO_3 (!) в изотермич. и неизотермич. условиях. Разл. ведут обычно в среде Ag при пониженном или атмосферном давл. в интервале 300—850°. Термич. разл. I в изотермич. условиях в среде Ag — эндотермич. процесс, к-рый начинается при 320° (т. пл. I 308°) и идет с образованием NaNO_2 (II). В интервале 320—510° основной газ. продукт — O_2 . Кол-во II в расплаве и скорость его образования зависят от т-рного интервала разл. и че меняются от увеличения продолжительности действия повышенной т-ры в пределах 10 мин.—6 час.

Л. Г. Титов

X. 1975. N 13

51212.8836

Ch, Ph, TC, MGU

NaNO₃ 96201

(Pic)

1975

* 4-10583

Adams David M., Sharma Shiv K.

Spectroscopy at very high pressures: infrared study of the high pressure phase transitions in NaNO₂ and KNO₂.

"Chem. Phys. Lett.", 1975, 36, N 3, 407-409

(англ.)

0509 ник

487 489

0 1

ВИНИТИ

1975

NaNO₃

156023j Study of the critical slowing-down of fluctuations at structural phase transitions by quadrupolar relaxation in the laboratory and in the rotating frame. Bonera, G.; Mali, M.; Rigamonti, A. (Ist. Fis., Univ. Pavia, Pavia, Italy). *Magn. Reson. Relat. Phenom., Proc. Congr. AMPERE, 18th 1974* (Pub. 1975). 2, 301-2 (Eng). Edited by Allen, P. S.; Andrew, E. R.; Bates, C. A. North-Holland: Amsterdam, Neth. The crit. slowing down of the at. fluctuations at the phase transitions of NaNO₂ and NaNbO₃ crystals was studied by NQR of ²³Na and ⁹³Nb in the laboratory and in the rotating ref. frame. Theor. expressions for the fluctuations in terms of the quadrupole spin-lattice relaxations of ²³Na and ⁹³Nb were derived for the 2 ref. frames. For NaNO₂ the crit. fluctuations of the NO₂⁻¹ dipoles in adjacent α -chains were uncorrelated. At the transition point the fluctuations do not reach the radiofrequency range and its central peak is >250 MHz. The NaNbO₃ the transition involves softening of the M_3 mode or of a large part of the $M-R$ branch which correspond to rotational fluctuations and rotations of O octahedra, resp. A possible explanation of the transition mechanism is given in terms of diffusion of O vacancies.

(Tr)

C. et. 1975-83n18

(+) 18

ВФ 9163-Х

1975

NaNO₃

KNO₃

(C_p)

22 Б772. Теплоемкости жидких нитратов натрия и калия. Dewing Ernest W. Heat capacities of liquid sodium and potassium nitrates. «J. Chem. and Eng. Data», 1975, 20, № 3, 221—223 (англ.)

Теплоемкость распл. NaNO₃ и KNO₃ определена в простом стеклянном калориметре путем быстрого погружения в расплав холодного бруска платины и измерения понижения т-ры расплава. Собственная теплоемкость калориметра составляла только 2% от общей теплоемкости системы. Для обеих солей результаты выражены ур-нием: $C_p = 33,9 - 0,156(T - T_{пл})$ кал/моль·К в интервале $(T - T_{пл})$ от 0 до 120 К. Интегрированием этого ур-ния с использованием лучших лит. данных получено для жидк. NaNO₃ $H_T - H_{298} = -9910 + 42,93T - 0,0078T^2 \pm 64$ кал/моль и для жидк. KNO₃ $H_T - H_{298} = -11\ 258 + 43,43T - 0,0078T^2 \pm 49$ кал/моль.

А. Гузей

Х. 1975 № 22

(+) (B)

NaNO₃

1975

KNO₃

H_T - H₂₉₈

121948n Heat capacities of liquid sodium and potassium nitrates. Dewing, Ernest W. (Alum. Co. Canada, Ltd., Arvida, Que.). *J. Chem. Eng. Data* 1975, 20(3), 221-3 (Eng). The heat capacities of liq. NaNO₃ [7631-99-4] and KNO₃ [7758-09-0] were detd. in a simple calorimeter by immersing a cold Pt mass and measuring the drop in temp. The glass of the calorimeter itself contributes only 2% to the total heat capacity. The results for both salts may be expressed by: $C_p = 33.9 + 0.0156(T - T_{\text{melting}})$ cal K⁻¹ mole⁻¹. Integration of this equation and combination with literature values for heat contents yield for liq. NaNO₃: $H_T - H_{298} = -9910 + 42.93T - 0.0078T^2 \pm 6.1$ cal mole⁻¹, and for liq. KNO₃: $H_T - H_{298} = -11,258 + 43.43T - 0.0078T^2 \pm 4.9$ cal mole⁻¹, where the uncertainties are std. deviations of the literature values from these equations.

(+1) ✓

C.A. 1975, 83 v14

№ 3

ВР-Х-9310

1975

З Е658. Изучение теплового расширения NaNO_3 в окрестности точки перехода. Ема Кенji, Натамо Катсуми, Хатта Ичиро. Study of thermal expansion of NaNO_3 with special emphasis on the vicinity of the transition points. «J. Phys. Soc. Jap.», 1975, 39, № 3, 726—734 (англ.)

тепловое
расширение
(тер)

Методом емкостного дилатометра исследовано тепловое расширение NaNO_3 в направлении кристаллографич. осей a , b , c в интервале т-р от -180 до 240°C . Обнаружены аномалии в тепловом расширении, обусловленные фазовым переходом в окрестности 160°C . Поведение коэф. теплового расширения хорошо согласуется с данными по теплоемкости. Влияние давления на точку перехода исследовано с помощью ур-ний Клапейрона—Клаузиуса и Пиппарда, получено хорошее согласие с экспедим. данными. А. П. Рыженков

ф. 1976 № 3

50620.7264

Ch, Ph, TC

специальность

40892

1975

(расч.) NaNO_3 (cp) № 5-9188

Knappe H.E., Gunilla, Torell Lena N.

Hypersonic velocities and compressibilities for some molten nitrates.

"J.Chem.Phys.", 1975, 62, N 10, 4111-4115

0391 РИК

(англ.)

365 366 0383

ВИНИТИ

1975

ЖГИФОЗ

24 Б731 Деп. Исследование процесса восстановления нитрата натрия водородом. Курич Н. П., Стась Н. Ф. (Редколлегия ж. «Изв. высш. учеб. заведений. Химия и хим. технол.»). Иваново, 1975. 12 с., библиогр. 14. назв. (Рукопись деп. в ВИНИТИ 8 сент. 1975 г., № 2616—75 Деп.)

(КР)

Проведены термодинамич. и кинетич. исследования процесса взаимодействия нитрата натрия с водородом. Показано, что при т-рах от 200 до 700° термодинамически наиболее вероятно образование едкого натра, азота и воды, при т-рах ниже 100° С — едкого натра, воды и аммиака. Образование окиси натрия невозможно. Экспериментально установлено, что взаимодействие расплавленного NaNO_3 с водородом с заметной скоростью начинается при 400—450°, а при 500—600° протекает за 1—2,5 часа с получением едкого натра, азота и воды. Промежуточным продуктом является NaNO_2 . Степень использования водорода с повышением т-ры возрастает. Процесс является автокаталитич. с энергией активации 13,2 ккал/моль. Обсуждаются вероятные механизмы автокатализа.

Автореферат

Х 1975 № 24

1975

NaNO₃

(T_{tr})

1 23 Б691. Критическое рассеяние рентгеновских лучей в NaNO₃. Riga B., Przedmojski J. X-ray critical scattering in NaNO₃. «Phys. Status solidi (b)», 1975, 69, № 1, K37—K39 (англ.)

Исследовано диффузное рассеяние рентгеновских лучей кристаллом NaNO₃ вблизи т-ры фазового перехода. Точка фазового перехода (548° K) определена из т-рной зависимости диффузного рассеяния. Проведено сравнение анизотропии рассеяния при $T = T_c + 0,1^\circ \text{K}$, $T_c + 5^\circ \text{K}$, $T_c + 6,2^\circ \text{K}$. Отмечено, что при $T_c + 6,2^\circ \text{K}$ анизотропия была минимальной.

И. С. Смирнов

X 1975 N 23

NaNO₃

1975

55: 152627c Disorder induced Raman scattering in sodium nitrite. Rao, A. D. Prasad; Porto, S. P. S. (Comput. Sci. Corp., Wallops Island, Va.). *Proc. Int. Conf. Light Scattering Solids, 3rd 1975* (Pub. 1976), 877-82 (Eng). Edited by Balkanski, Minko; Leite, R. C. C.; Porto, S. P. S. Wiley: New York, N. Y. The ferroelec. to paraelec. phase transition in NaNO₂ was reinvestigated with special attention to the phase transition temp. at 436°K. The breakdown is reported of selection rules as obsd. in Raman scattering. The results did not reveal any gaining of a statistical mirror plane in the paraelec. phase of NaNO₃.

(Tr)

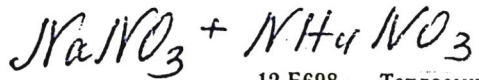
C.A. 1976 85 N20

$(NaNO_3)_x$ $x=1,2,3$ 1975

науч-
спеклпн
состав напр

Topor Dumitru
Rev Roum Chim 1975,
20(6) 733-7 (eng)

(an RNO_3 ; I)



1976

12 Б698. Теплоемкость смешанных растворов и плавков $\text{NaNO}_3 + \text{NH}_4\text{NO}_3$ при повышенных температурах.
Гинзбург Д. М., Кочкалда В. Е., Ведь В. Н.
«Тр. Н.-и. и проект. ин-т основн. химии», 1976, 42, 7—9

В массивном калориметре с изотермич. оболочкой определены энталпии смешанных водн. р-ров — NaNO_3 (I) + NH_4NO_3 (II) в интервале 25—150° и расплавов I + II в интервалах 25—150 и 25—200°. Установлена т-риая зависимость средн. теплоемкости при содержаниях солей в р-ре (масс.%) I 9,35, II 33,97 C_p (дж/кг·град) = $3,046 \cdot 10^3 - 0,922(t-25)$, I 10,77, II 38,98 C_p = $= 2,962 \cdot 10^3 - 1,173(t-25)$ и I 12,41, II 44,90, C_p = $= 2,765 \cdot 10^{-3} - 0,838(t-25)$. Табулированы истинные теплоемкости смешанных р-ров при 90 и 100° для различных конц-ий солей. Определены средн. теплоемкости расплавов с содержанием I 3,23, II 93,91 и H_2O 2,86 масс.% и I 2,99, II 96,50, H_2O 0,44, равные $2,108 \cdot 10^3$ и $2,078 \cdot 10^3$ дж/кг·град в интервале 150—200°.

(C_p)

1977 N12

NaNO3

4-13618

JGFC

) 85: 39448g Phase transition in sodium nitrate. Johnson, E. R.; Frances, A.; Wu, C. Cm. (Coll. Eng., Univ. Maryland, College Park, Md.). *J. Appl. Phys.* 1976, 47(5), 1827-8 (Eng). A new phase transition occurring in NaNO3 at $\sim 260^{\circ}\text{K}$ in both cooling and heating cycles is reported. The transition is assoc'd. with an expansion of the lattice resulting in approx. a 3.6% decrease in the density.

(Tr)

C.A. 1976 85 N

№ 136

У-13618

1976

10 E548. Фазовый переход в NaNO_3 . Johnson E. R., Frances A., Wu C. Ст. Phase transition in NaNO_3 . «J. Appl. Phys.», 1976, 47, № 5, 1827—1828 (англ.)

Методом рентгеновской дифракции исследовалась структура NaNO_3 в процессе нагрева и охлаждения. Обнаружено существование фазового перехода в окрестности 260°K . При охлаждении переход начинается при 268°K и полностью завершается при 250°K , а при нагреве от первоначальной т-ры 77°K переход начинается при 250°K и оканчивается при $268 \div 270^\circ\text{K}$. Превращение протекает очень медленно, и для установления термодинамич. равновесия при изменении т-ры на 5°K требуется не менее 24 ч. Плотность низкотемпературной фазы (250°K) на 3% меньше плотности образцов при комнатной т-ре. При фазовом переходе происходит рез-

Ф. 1976 VII

кое увеличение интенсивности рентгеновского отражения от плоскостей (104). Возможное объяснение природы фазового превращения в NaNO_3 при 260°K заключается во вращении NO_3^- -групп вокруг оси a_2 , так что дополнительные атомы О оказываются в плоскостях (104). Для этого необходим поворот на $43,78^\circ$. Расчет структурного фактора для изменения интенсивности рефлексов (104) подтверждает сделанное предположение.

А. И. Коломийцев

NaNO₃

XIS-13618

1976

22 Б798. Фазовый переход в NaNO₃. John-
son E. R., Frances A., Wu C. См. Phase transi-
tion in NaNO₃. «J. Appl. Phys.», 1976, 47, № 5, 1827—
1828 (англ.)

(Ttx)

Дифрактометрич. методом установлено наличие фа-
зового перехода в NaNO₃ при 260 К. Низкот-рная фаза
NaNO₃ обладает плотностью на 3,6% меньшей, чем вы-
сокот-рная фаза. Фазовый переход совершается очень
медленно и обнаруживается как при охлаждении, так
и при нагревании.

Л. Г. Титов

x 1976 N 22

1976

BX-1389

NaNO₃(Tzr)

Kwon S.I., Rhee B.,

Sae Mulli 1976, 16(1), 17-22.

A study on the critical exponents of ferroelectric crystal.

C.A. 1979, 99, N6, 47128W

6 91

NaNO₃ (Ttz) BX-19 1976

Rao A.D.P., Porto S.P.S.

Proc. Int. Conf. light scattering
solids, 3rd 1975 (Pub. 1976),
874-82.

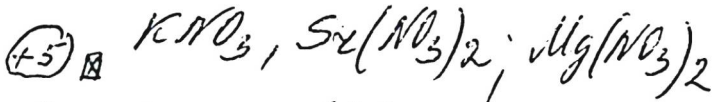
Disorder induced Raman scatter-
ring in sodium nitrite. 2

NaNO₃

1976

89: 95967v Apparent heat capacities of nitrates in water and 0.5 M nitric acid. Shamova, V. A.; Drakin, S. I. (Mosk. Khim.-Tekhnol. Inst., Moscow, USSR). Deposited Doc. 1976, VINITI 2876-76, 17 pp. (Russ). Avail. VINITI. The heat capacities of M nitrate (having M = Na, K, Sr, Mg, Ca, and Al) soln. in H₂O and 0.5 M HNO₃ at 25° are tabulated.

(C_P)



C.A. 1978, 89, N/2

1976

NaNO₃
KNO₃

23 Б858 Деп. Кажущиеся теплоемкости нитратов в воде и 0,5 М азотной кислоте. Шамова В. А., Дракин С. И. Моск. хим.-технол. ин-т им. Д. И. Менделеева. М., 1976. 16 с., ил., библиогр. 17 назв. (Рукопись деп. в ВИНИТИ 22 июля 1976 г., № 2876—76 Деп.).

При помощи изотермич. калориметра с точностью $\pm 0,1\%$ измерены теплоемкости C р-ров NaNO₃, KNO₃, Sr(NO₃)₂, Ca(NO₃)₂, Mg(NO₃)₂, Ni(NO₃)₂, Al(NO₃)₃ и La(NO₃)₃ в 0,5 М азотной к-те в интервале конц-ии 0,2—2 m (m — моляльность) при 25°. Рассчитаны кажущиеся теплоемкости Φ этих солей в 0,5 М HNO₃. Для Ca(NO₃)₂ и Ni(NO₃)₂ измерены также C водн. р-ров при 25° и вычислены Φ . Определены энталпии р-рения ΔH_p NaNO₃, KNO₃, Sr(NO₃)₂, Co(NO₃)₂·4H₂O, Mg(NO₃)₂·6H₂O, Ni(NO₃)₂·6H₂O, Al(NO₃)₃·9H₂O и La(NO₃)₃·6H₂O в 0,5 М HNO₃ при т-рах 15—35° с ша-

Д Нрасік
(ГР)

X, 1976, № 23



гом 5° для $m < 0,1$. Зависимости ΔH_p от т-ры представлена в виде ур-ния $\Delta H_p = a + bT + cT^2$; a , b и c табулированы. Вычислены $d\Delta H_p/dT$ и Φ указанных электролитов при 25°. Φ в р-ре к-ты для всех нитратов, кроме $Al(NO_3)_3$, более положительны по сравнению с води. р-рами, и кривые зависимости $\Phi = f(m^{1/2})$ имеют изгиб в сторону более положит. значений Φ в области больших разбавлений. Увеличение Φ в присутствии к-ты объясняется комплексообразованием катионов с нитрат-ионами в кач-ве лигандов, при большом разбавлении комплексообразование усиливается.

Автореферат

LiNO₃, NaNO₃, KNO₃, RbNO₃, NaNO₂, 1976

CsNO₃, KNO₂, NaClO₃ (Tm) A-3143

Schamm R., Tödheide K.

High Temp.-High Pressures, 1976, 8, NI, 65-71

(cont.) A redetermination of the melting
pressure curves of the alkali metal
nitrates, sodium nitro, potassium nitro,
and sodium chlorate in the pressure range
to 5 kbar.

PJH XUOR, 1977

76785

5 (P)

J PEG UNGA-CCN

NaNO_3

984

Соронкин А. В.

Васильева Н. В.

Козенок Т. М.

1976

НГУ

Вестн. физ. Унив. Сер.

Физика физ. хим., 1976, №22, ?

с. 90.

[60]

NaNO_3 (1, 10)

T_m

№ 3 (а)

1976

Соловьева С. Т.

ВНМ

Автотрекерам на основе
ионно-лучевой стекки РХИ
Теоретическое исследование
тройных бодро-соловых
систем, содержащих
сульфат и цитрат
ионов.

№ 103

рср-

9880-X

*аммиак
метал.
доказан
Ttr, Tm,*

+5

х. 1976

N14

17 Б799. О взаимосвязи энталпий растворения, кристаллизации и плавления. Жилина Л. П., Ахумов Е. И. «Ж. физ. химии», 1976, 50, № 3, 784—785

Интегральная энталпия р-рения соли с образованием пересыщ. р-ра моляльности m представлена в виде суммы $(\Delta H_m = a\Delta H_{m_0} + b\Delta H_{n_0}^m)$ энталпии образования насыщ. р-ра ΔH_{m_0} (m_0 — моляльность насыщ. р-ра) и энталпии р-рения кол-ва соли $\Delta m = m - m_0$ в насыщ. р-ре $\Delta H_{m_0}^m$, причем коэф. a и b равны долям этих слагаемых при условии $a+b=1$. Отмечено, что предельный случай $a \rightarrow 0$ реализуется в тех случаях, когда на величину ΔH_m слабо влияет конц-ия в зоне пересыщения или небольшой ширины метастабильной области, а $b \rightarrow 0$, когда р-римость предельно мала или ΔH_m близка к нулю. Проанализированы лит. данные по энталпиям р-рения, кристаллизации и плавления NaNO_3 , KNO_3 , K_2SO_4 , KJO_3 , $\text{Na}_2\text{S}_2\text{O}_3$ и CH_3COONa , и установлено, что для образующих кристаллогидраты солей ($\text{Na}_2\text{S}_2\text{O}_3$ и CH_3COONa) энталпии кристаллизации близки к энталпиям плавления кристаллогидратов, в то время как для остальных солей с увеличением степени пересыщения уменьшаются величины энталпий кристаллизации и растворения.

П. М. Чукров

1976

БГУ 1976

Запись

объекта

Х

BX-967

1977

LiNO_3 , NaNO_3 (P , ΔH_V , ΔH_S , $\Delta H_{\text{дис}}$)

Багарашин Н.В., Некипиев О.Т.
Вестн. Моск. Унив., сер. 2: хим.
1977, 18(4), 388-91.

Массспектром. исследов. испарение
непроплавленной ● и напресс.
C.A. 1978, 88, N 4, 280222

5 Ⓢ

OMM. 5488 BX-932

1977

HNO₃, NaNO₃, KNO₃ (ρ)

Enea O., Singh P.P., Wooley E.M.,
McCurdy K.G., Hepler L.G.,

J. Chem. Thermodyn. 1977, 9(3), 431-4.

Heat capacities of aqueous nitric acid, sodium nitrate and potassium nitrate.

P.A. 1977, 87, N26, 2D7.6032.

B, 5 (ρ)

NaNO₃

1977

KNO₃

87: 173634] Thermodynamics of supersaturated aqueous solutions and crystallization of salts (sodium and potassium nitrates). Khrenova, T. L.; Akhumov, E. I. (Leningrad Technol. Inst. Pulp Pap. Ind., Leningrad, USSR). Czech. Conf. Calorimetry, [Lect. Short Commun.], 1st 1977, C2/1-C2/4 (Eng). Inst. Inorg. Chem. Czech. Acad. Sci.: Prague, Czech. A method is developed for obtaining stable supersatd. solns. with a given degree of supersatn. The integral heats of soln. ΔH , in NaNO₃-H₂O and KNO₃-H₂O supersatd. systems were detd. at 18 and 25°. From ΔH values, the heats of crystn. of NaNO₃ and KNO₃ from their resp. supersatd. solns. were calcd.

(+1) 8

C. J. 1977. 87 w 22

CsCl, NaNO₃ (K_c) BX-950 1977

Rodríguez A.R., Poizatnaud C.

Anal. chim. Acta, 1977, 93, 353-362 (ppm)

Etude d'équilibres en solution à l'aide des
échanges d'ions. III. Détermination des constantes
de dissociation de chlorure de céssium et du
chlorate de sodium dans les mélanges équimoléculaires.

1978

551310

⊖

B, M

cb

y pég-eau?

NaNO₃

1977

13 Б820 Деп. Критический анализ температур плавления редких веществ для термоаналитических исследований. Труни А. С., Петрова Д. Г. Куйбышев. политехн. ин-т. Куйбышев, 1977. 9 с., библиогр. 17 назв. (Рукопись деп. в ВИНИТИ 25 февр. 1977 г., № 751—77 Деп.)

(T_m)

В результате статистич. обработки лит. данных по т. пл. ряда солей, используемых в практике термоаналитич. исследований в кач-ве редких для построения градуировочной кривой, приняты след. т. пл.: $t_{\text{NaNO}_3} = 309^\circ$, $t_{\text{KNO}_3} = 331^\circ$, $t_{\text{KCl} + \text{Na}_2\text{SO}_4} = 517^\circ$. $t_{\text{LiCl}} = 607^\circ$, $t_{\text{NaCl} + \text{Na}_2\text{SO}_4} = 627^\circ$, $t_{\text{KCl}} = 775^\circ$, $t_{\text{NaCl}} = 800^\circ$, $t_{\text{Na}_2\text{SO}_4} = 884,5^\circ$, $t_{\text{BaCl}_2} = 959^\circ$, $t_{\text{NaF}} = 993^\circ$, $t_{\text{K}_2\text{SO}_4} = 1039^\circ$. Относительная ошибка от 0,1 до 2,0%.

Автореферат

+10

☒

Х. 1977. № 13

BX-876

1978

$\text{LiNO}_3, \text{KNO}_3, \text{RbNO}_3, \underline{\text{NaNO}_3}, \text{RBNO}_3$
(P-V-T)

Barnard G.E., Barton A.F.N.,

J. Chem. Soc., Faraday Trans. 1 1973,
69(1), 153-62.

P-V-T studies on molten alkali
nitrates

C.A. 1978, 88, Nod, 158446j

M. Mx ⑩

BX-877

1778

MNO_3 (M=Li, Na, K, Rb, Cs)

(P, C, PVT)

Gannork & E.,

J. Chem. Soc., Faraday Trans. 1 1978,
91(1), 183-93.

P-V-T studied on molten alkali
nitrates.
C.A. 1978, 88, N.d., 158777K H.R.W. ④

BX-1849

1978

NaNO₃(Tc2)

Boehn H., Hoffmann W.,

Ferroelectrics 1978, 19(1-2), 19-22.

X-ray study of the phase transition of NaNO₃.

Б ©

C.A. 1979, 90, N20, 160905K

1978

NaNO₃

9 Б671. Калорические свойства теплоносителя
 TS-15. Buckstegge J., Ehrich H. Über kalorische
 Eigenschaften des Wärmeübertragungssalzes TS 15.
 «Härter. — Techn. Mitt.», 1978, 33, № 6, 311—314. (нем.)

В водяном калориметре смешения определена средняя теплоемкость теплоносителя — эвтектической смеси TS-15 (53% KNO₃, 40% NaNO₂, 7% NaNO₃). Т. пл. смеси $144 \pm 1^\circ$. Определена теплоемкость NaNO₃ и Al. Для TS-15 $\Delta H_{пл} = 70$ кдж/кг, для NaNO₃, $\Delta H_{пл} = 250$ кдж/кг. Измерения проведены в интервале 100—400°.

Л. А. Резницкий

Cp, 214m

2-1979, N9

Li-NO_3 , Na-NO_3 , K-NO_3 ,
 Rb-NO_3 , Cs-NO_3 ,
 Li^+-O , Na^+-O , K^+-O ,
 Rb^+-O , Cs^+-O
} (A₀); $\gamma(\text{LiO}, \text{NaO}, \text{KO}$,
 $\text{RbO}, \text{CsO})$
 LiO^+ , NaO^+ , KO^+ , RbO^+ , CsO^+ } (A_{1/2}, 0)
 LiNO_3 , NaNO_3 , KNO_3 , RbNO_3 ,
 CsNO_3^+
}
 BX-1526 1485

Багаракамбет Н.В., Клеркенмюле О.Т
 „Вестн. МДУ”, Минск; 1948, № 3, 253-257.
 Изучение монодисперсных смесей кис-
 ратов ионогенных солей анио-
 намионами ударами.

предмет., 1948, 24 б + 2 т л. 44

(2)

BX-37

1978

Σ (LiNO_3 , NaNO_3 , RbNO_3 , CsNO_3 , LiNO_2 , NaNO_2 ,
 RbNO_2 , CsNO_2 , Li_2O , Na_2O , Rb_2O , Cs_2O)
 Δ H_f° (LiNO_3^+ , NaNO_3^+ , RbNO_3^+ , CsNO_3^+ , LiNO_2^+ ,
 NaNO_2^+ , RbNO_2^+ , CsNO_2^+ , Li_2O^+ , Na_2O^+ , Rb_2O^+ , Cs_2O^+ ,
 H_2NO_3^+ , Rb_2NO_3^+ , Cs_2NO_3^+ , Na_2NO_2^+)

Барабамбаш H.B., Искендеров О.Т.)

Бер. АГУ. Химия, 1978, № 4, 421-425

Моногидраты галогенистых анионов калия и
натрия сформированы в виде кристаллов супер-
натриевыми и калиевыми гидроксидами. Гидроксиды
имеют кристаллическую структуру.

РНС Каз., 1979, 15131

Ю. С. Ст

NaNO_3
56

Баранчуков Н.В.

1978

Сидорова

док. ... канд. наук,
Автореф. канд. ~~ст~~,
МГУ, №; 1978

203

$\Delta H_v(\text{NaNO}_3, k)$

№ 110

19 Б422. О кристаллической структуре нитрата
натрия. Göttlicher S., Knöchel G. D. Zur Kristallstruktur von Natriumnitrat. «Z. Kristallogr.», 1978,
148, № 1—2, 101—105 (нем.; рез. англ.)

Проведено рентгенографич. уточнение (дифрактометр, МНК, анизотропное приближение, $R=0,04$) структуры кристаллов NaNO_3 (I), для к-рых ранее предполагался структурный тип кальцита (II). Параметры ромбоэдрич. решетки I (в гексагон. установке): $a = 5,07 \text{ \AA}$, $c = 16,82$, ф. гр. $R\bar{3}c$. Группы NO_3 в I представляют собой сильно уплощенные тригон. пирамиды ($\text{N}-\text{O} = 1,254 \text{ \AA}$). По отношению к идеальному расположению атомов в рамках структурного типа II атомы O группы NO_3 в I смешены на $0,1 \text{ \AA}$ вдоль оси 3 и повернуты около нее на $2,6^\circ$. Атомы O статистически заселяют два положения (две ориентации групп NO_3), связанные между собой осью 2. В ближайшее окружение каждого атома O входит по два атома Na на расстояниях $2,40$ и $2,41 \text{ \AA}$.

С. В. Соболева

Кристал.
структура

Р. 1549/119

MX ($M = Li, Na, K, Rb, Cs, Mg, Ca, Sr, Ba, NH_4$, 1979)

CO_2 ; $X = F, Cl, Br, I, CNS, SO_4, NO_3, BrO_3, CO_3, NO_2,$
 (ClO_4, ClO_3) (ПР.)

BX - 1910

Кумок В.Н., Кулешова О.Н.

Томск. ун-т, Томск, 1978, 14с. Рукопись №п. 6
ОГИЦГЭХИЛ г. Черкассы 5 фебр., 1979г. №2359/79Дн)
Очень прозрачных растворимостей для хорошо
расстворимых соедин.

РДН Каш., 1979

1061276 Den

B (P)

Nano₃
In
(ΔH_m)
датчик 6/94

17 Б933. Определение теплот плавления нитрата натрия и индия методом дифференциальной сканирующей калориметрии: подтверждение возможности их использования в качестве новых эталонов для калориметрии. Lowings Malcolm G., McCurdy Keith G., Нертер Лорен Г. Heats of melting of sodium nitrate and indium by differential scanning calorimetry: a suggestion for a new calibration substance. «Thermochim. acta», 1978, 23, № 2, 365—370 (англ.)

В дифференциальном сканирующем калориметре Перкин—Элмер ДСК-2 измерены теплоты плавления, полученных различными способами образцов NaNO_3 (I) и In с использованием в кач-ве эталонов Sn и Pb. Значения т. пл. и ΔH (пл.) составили: Sn 505 К и 1715 кал/моль, Pb 601 и 1140, In 430 К и 781 кал/моль. Сопоставление полученных результатов с лит. данными позволило принять в кач-ве рекомендованных значений для теплот плавления In и I 780 и 3615 ± 50 кал/моль. Принятая погрешность (1,4%) последнего значения охватывает крайние пределы лит. и собственных данных, полученных при выборе разных характеристик эталонов. Рекомендуется использовать I в кач-ве эталона для дифференциальной сканирующей калориметрии, отмечено удобство его использования, вследствие широкой доступности и адекватной чистоты.

378

(41)

2; 1978, N 17

NaNO₃

0572ea 6194

1978

88: 159435j Heats of melting of sodium nitrate and indium by differential scanning calorimetry. A suggestion for a new calibration substance. Lowings, Malcolm G.; McCurdy, Keith G.; Hepler, Loren G. (Dep. Chem., Univ. Lethbridge, Lethbridge, Alberta). *Thermochim. Acta* 1978, 23(2), 365-70 (Eng). The heat of melting, ΔH_m , of NaNO₃ [7631-99-4] was detd. in a differential scanning calorimeter which was calibrated with In, Sn, and Pb. The present results along with previous data yield a recommended best value for ΔH_m of NaNO₃ ($\Delta H_m = 3615 \text{ cal/mol}$). The use of NaNO₃ as a calibration substance in differential scanning calorimetry is suggested. Results of measurements of ΔH_m of In are presented and discussed in relation to earlier investigations.

ΔH_m

C.A. 1978, 88, v.22

NaNO_3 osmotic 6647 1973
Ohno H, et al.

comp. 297 - 305
Structural Analysis
of some molten materials
by x-ray¹¹

NaNO_3

1978

Roux, Alain, et al

Can. J. Chem. 1978,

56(12), 24-8

56, N1

av. NaClO_3 -I

(C_p) ag

NaNO_3

1948

Сменен Б.Д. и др.

Ил. кеогран. химии, 1948,
23, №, 2247-49.

SHaq

СМ. $\text{RBNNO}_3 - \bar{\Sigma}$

NaNO_3

$\text{Ba}(\text{NO}_3)_2$

$\text{Sr}(\text{NO}_3)_2$

$\text{Pb}(\text{NO}_3)_2$

(Tr)

(+3)_{II}

On. 36666

1979

91: 81695j Low-temperature structure changes in nitrate crystals. Badr, Y. A.; Kamel, R. (Fac. Sci., Univ. Cairo, Cairo, Egypt). *Phys. Status Solidi A* 1979, 53(2), K161-K164 (Eng). The phase transitions of NaNO_3 , $\text{Ba}(\text{NO}_3)_2$, $\text{Sr}(\text{NO}_3)_2$, and $\text{Pb}(\text{NO}_3)_2$ were studied at -140° to 30° by dielec. const., resistance, and DTA detns. Anomalies were obsd. at low temps. by all 3 methods. The results are discussed in terms of rotational potential barriers.

C.A.1979091040

NaNO₃

BaNO₃

SrNO₃

PbNO₃

] (Pb)

(+3)



от 36 666

1979

і Б787. Низкотемпературные структурные превращения в кристаллах нитратов. Badr Y. A., Kamel R. Low-temperature structure changes in nitrate crystals. «Phys. status solidi», 1979, A53, № 2, K161—K164 (англ.)

В диапазоне т-р от —140 до +20° подтверждено существование аномалий в т-рных зависимостях диэлектрич. постоянной ϵ и сопротивления постоянному току r для кристаллов нитратов Na, Ba, Sr и Pb. Предположено, что низкот-рные фазовые превращения в этих кристаллах обусловлены замораживанием реориентац. движения групп NO₃⁻ вокруг их осей 3-го порядка. Изменение в характере способности колебаться нитратных групп должно воздействовать на т-рные зависимости ϵ и r .

В. А. Ступников

20.1980.01

Омск 8150

№ 103

15/7/79

22 Б794. Замечания к статье «Теплоты плавления нитрата натрия и индия, определенные в дифференциальном сканирующем калориметре; новые эталонные вещества». Dancy E. A., Nguyen-Duy P. Comments on «heats of melting of sodium nitrate and indium by differential scanning calorimetry: a suggestion for a new calibration substance». «Thermochim. acta», 1979, 31, № 3, 395 (англ.)

ΔH_{II} , ΔH_{Tr}

Указывается, что NaNO_3 мало пригоден для эталонного материала в сканирующей калориметрии, вследствие заметной гигроскопичности и твердофазового перехода на 30° ниже т. пл. В зависимости от скорости нагрева или охлаждения этот переход не всегда наблюдается. В комментируемой работе [Lowings M. G., McCurdy K. G., Hepler L. G., «Thermochim. Acta», 1978, 23, 365—370] этот переход не наблюдался и полученная величина $\Delta H(\text{пл.}) = 3615 \pm 50$ кал/моль скорее соответствует ранее найденной величине 3694 ± 182 , суммирующей истинную $\Delta H(\text{пл.})$ при 581 К и теплоту перехода при 550 К. Независимые определения в калориметре смешения подтвердили наличие превращения при 550 К с теплотой 310 кал/моль. А. Б. Кисилевский

Х. 1549, № 22

NaNO3

Ottawa 8150

1979

91: 97662g Comments on "heats of melting of sodium nitrate and indium by differential scanning calorimetry: a suggestion for a new calibration substance". Dancy, E. A.; Phuc Nguyen Duy (Inst. Rech. Hydro-Quebec, Varennes, PQ Can. J0L 2P0). *Thermochim. Acta* 1979, 31(3), 395 (Eng). It is suggested that NaNO3 is a poor choice of calibration material for scanning calorimetry, because of its hygroscopicity and because it exhibits a solid-solid phase change about 30 K below its m.p.

(Tcr)

C.A. 1979, 21N12

NaNO₃

KNO₃

Sr(NO₃)₂

Cs(NO₃)₂

(Кумисов.)

43

2.1979 №20

1979

✓ 20 Б1020. Ион-ассоциативное влияние на ингиби-
рующие свойства нитратного иона в процессе образо-
вания позитрония. Duplatre J. Ch. Abbe G.,
Maddock A. G., Haessler A. Ion-association ef-
fects of the positronium formation inhibiting the pro-
perties of nitrate ion. «Radicchem. and Radioanal. Lett.»,
1979, 38, № 4, 303—312 (англ.)

Изучено ингибирование образования позитрония (Ps) нитратами щел. металлов и аммония в воде, метилово-
м и этиловом спиртах и в аprotонных р-рителях
(ДМСО и др.). Выходы орто-позитрония в водных
р-рах NaNO₃, KNO₃, Sr(NO₃)₂ и CsNO₃ приблизитель-
но одинаковы. Установлено, что в спиртах и в аproto-
нных р-рителях эти выходы снижаются пропорцио-
нально конц-ии иона NO₃⁻ в присутствии иона NH₄⁺.
Значительно меньшим ингибирующим действием обла-
дает нитрат лития. Такое различие объясняется мень-
шей р-ционной способностью ассоциированных ионных

пар $\text{Li}^+/\text{NO}_3^-$ по отношению к электронам, чем у сольватированных ионов NO_3^- . С использованием выхода орто-Ps оценена константа диссоциации р-ции $\text{LiNO}_3 \rightleftharpoons \text{Li}^+ + \text{NO}_3^-$ в различных р-рителях. Спектральные данные, из к-рых оценивается время жизни орто-Ps, представляют большой интерес как в радиац., так и в аналитич. химии.

Б. В. Винц

Кальций
(кальц.)

(C_p)

Х - 10433

1979

1 Б671. Статистический расчет теплоемкости кристаллического нитрата натрия, Кириллов С. А., Беленькая Е. Н. «Укр. хим. ж.», 1979, 45, № 8, 751—754.

С использованием уточненных данных по колебательным спектрам произведен статистический расчет теплоемкости кристаллич. нитрата натрия в интервале т-р 20—500° К. Показано, что отклонение расчетных данных от эксперимента составляет около 1% при 300° К.

Автореферат

Х. 1980. VI

NaNO_3

(spec.)

X-10433

1978

91: 182391n Statistical calculation of the heat capacity of crystalline sodium nitrate. Kirillov, S. A.; Belen'kaya, E. N. (Inst. Obshch. Neorg. Khim., Kiev, USSR). Ukr. Khim. Zh. (Russ. Ed.) 1979, 45(8), 751-4 (Russ). The heat capacity of cryst. NaNO_3 at 10-500 K was caled. from the IR and Raman spectra and the results are tabulated along with the exptl. values. At 300 K, the difference is 1%. J. H. Scott

(C_p)

C.A. 1979, 91 1122

NaNO_3
(крист.)

(C_p)

X-10433

1979

12 Е263. Статистический расчет теплоемкости кристаллического нитрата натрия. Кириллов С. А., Бельская Е. Н. «Укр. хим. ж.», 1979, 45, № 8, 751—754

С использованием уточненных данных по колебательным спектрам произведен статистич. расчет теплоемкости кристаллич. нитрата натрия в интервале т-р 20—500° К. Показано, что отклонение расчетных данных от эксперимента составляет ~1% при 300° К. Автореферат

9.1979.12

NaNO3

X - 10434

1979

Krynick Hill, Mattole EP,

(Kc) Dr. Guy Murray, 1979, 53,
NH, 1006 - 1007.

1979

Na₃NO₄Кристалл
струк.

5 Б369. Кристаллическая структура Na_3NO_4 . Jansen Martin. Kristallstruktur von Na_3NO_4 . «Angew. Chem.», 1979, 91, № 9, 762 (нем.)

Проведено рентгенографич. определение структуры (моноокристальная съемка, МНК, анизотропное приближение) кристаллов Na_3NO_4 , полученных отжигом микрокрист. материала при т-ре 415° . Подтверждено наличие в структуре ранее предполагаемых на основе спектроскопич. данных тетраэдрич. группировок NO_4 ($\text{N}-\text{O}$ 1,381—1,389 Å). Атомы Na, соединяющие эти группировки, находятся в окружении из 4—5 атомов O ($\text{Na}-\text{O}$ 2,269—2,571 Å).

С. В. Соболева

2-1680. N5

NaNO_3

Lommel 10026

1979

Winzer A

(2Hm) Kristall und Technik
paceti 1979, 14 (1), 51-61

NaNO_3 Asahina T; et al.

1980

(C_P) Nagoya Kogyo Bijutsu
Shikensho Hukou, 1980,
29 (2), 25-30.



(cut. LiNO_3 ; I)

NaNO_3

Carling R.W.

1980

Bull. Chem. Th.
N^o23, p. 365

C_p
350 - 850 K

DCK

Nanoz [Lommel 10364] 1980

Das N.C., et al.

megalognathus.
paetopeus
giganteus. Theembochim. acta,
1980, 41, 247-52.

NaNO_3

1980

Zeeb R. S., Lowings M. S.
Mc Curdy R. S.; Kepler L. S.

Thermochim. acta,

1980, 40, N^o 2, 245.

NaNO_3

4940

Carling R. W.

1980

Specimen

J. Electrochem. Soc.,
1980, 127, p 411.

L663
 ω_{on}

$\text{NaNO}_3(\text{c}, \text{m})$  $\text{g}(\text{ice})$ of

$0,701 \text{NaNO}_3 + 0,299 \text{Ca}(\text{NO}_3)_2$

1980

NaNO_3

KNO_3

(ΔH_m)

6 Б830. Калориметрическое определение термодинамических свойств бинарных эвтектик в системах $\text{NaNO}_3-\text{Ca}(\text{NO}_3)_2$ и $\text{KNO}_3-\text{Ca}(\text{NO}_3)_2$. Dancy Ed-pa A., Nguyen-Duy Phuc. Calorimetric determination of the thermodynamic properties of the binary eutectics in the $\text{NaNO}_3-\text{Ca}(\text{NO}_3)_2$ systems. «Thermochim. acta», 1980, 42, № 1, 59—63 (англ.)

Работа продолжает серию исследований по изучению термич. свойств в-в, перспективных для использования в процессах аккумулирования энергии за счет теплоты плавления. Их эксперим. исследование необходимо потому, что значение ΔH (пл.) невелико и оценочные методы могут не дать правильной картины, т. к. включают допущение об идеальном поведении при смешении. В калориметре смешения измерены энталпии эвтектич.

+2

☒



Х.1981.№6

~~С.С.П.~~

ОБЩИЙ СЧЕТ 10590

(по лит. данным) смесей $0,701\text{NaNO}_3 \cdot 0,299\text{Ca}(\text{NO}_3)_2$
(т. пл. 505 К) и $0,667\text{KNO}_3 \cdot 0,333\text{Ca}(\text{NO}_3)_2$ (т. пл.
417 К). Значения ΔH (пл.) = 3,4 и 2,2 ккал/моль соотв.
и близки к величинам для чистых NaNO_3 и KNO_3 , одни-
ко более низкие т. пл. смесей дают им дополнит. пре-
имущества при практич. использовании. Т-ные зависи-
мости мол. энталпий указанных смесей в жидк. состоя-
нии соотв.: $42,42 T - 10974$ (525—600 К, ± 190 кал/моль)
и $41,71 T - 11691$ (439—616 К, ± 150 кал/моль).

А. Б. Кисилевский



1980

NaNO_3

KNO_3

7 Б936. Теплоемкость расплавленных нитратов.
Carling R. W. Heat capacity results on molten nitrate salts. «J. Electrochem. Soc.», 1980, 127, № 8, C411
(англ.)

Сообщается об измерениях теплоемкости тв. и расплавленных NaNO_3 , KNO_3 и их эквимолярной смеси при т-рах от 350 до 850 К. Расплав NaNO_3 — KNO_3 может быть использован в кач-ве теплоносителя и термич. аккумулятора на солнечных электростанциях.

По резюме

(C_p)

(+1) 18

X. 1981 N 7

NaNO₃

1980

93: 248472q Neutron diffusion studies of lattice vibrations in sodium nitrate. Lefebvre, J.; Currat, R.; Fouret, R.; More, M. (Inst. Laue-Langevin, 38042 Grenoble, Fr.). *J. Phys. C* 1980, 13(24), 4449-61 (Fr). Inelastic neutron scattering measurements on a single crystal of NaNO₃ were used to obtain the temp. behavior of the lattice vibrations along the 3-fold axis. Frequency shifts and anomalous line widths were obsd. near the order-disorder transition temp., $T_c = 276^\circ$. The behavior is similar to that of the ammonium halide lattice modes.

Tc

C. & L. 1980. 93 v26

1980

NaNO₃

(Ter)

4 Б632. Изучение колебаний решетки нитрата натрия с помощью рассеяния нейтронов. Le feuvre J., Cugat R., Fouret R., Moge M. Etude par diffusion neutronique des vibrations de reseau dans le nitrate de sodium. «J. Phys. C: Solid State Phys.», 1980, 13, № 24, 4449—4461 (франц.; рез. англ.)

Методом неупругого рассеяния нейтронов (трехосный крист. спектрометр) исследовано изменение с т-рой криевых дисперсии фононов в решетке NaNO₃. Обнаружены сдвиги и аномалии фононных ширин в области перехода 1-го рода порядок — беспорядок ($T_c = 276^\circ$). Отмечена аналогия в т-рном изменении фононного спектра в NaNO₃ и в галогенидах аммония. Из резюме

2. 1981. N 4

NaNO₃

1980

KNO₃

(Tr)

6 Б918. Термическое разложение NaNO₃ и KNO₃.
Кгамег С. М., Мунт Z. A. Thermal decomposition
of NaNO₃ and KNO₃. «J. Electrochem. Soc.», 1980, 127,
№ 8, С 411 (англ.)

При одновременном применении ТГА и масс-спектро-
метрии в интервале т-р 350—600° изучено разл. NaNO₃
(I) и KNO₃ (II) в вакууме. Масс-спектрометрически
отмечено появление N₂, NO и O₂, относит. кол-ва к-рых
изменяются при увеличении разложения. Указано на
наличие перекрывающихся последовательных р-ций
разложения. Относит. кол-ва газ. продуктов разл. при
разных т-рах сравнимы для I и II. Ж. Г. Василенко

(41)

X-1981 № 6

NaNO₃

(DM.MUCR 9732)

1980

93: 816SGy Calorimetric determination of the thermodynamic properties of the alkali metal salts sodium nitrate, potassium nitrate, sodium dichromate, potassium dichromate, and their binary eutectic solutions. Nguyen Duy Phuc; Dancy, Edna A. (Inst. Rech., Hydro-Quebec, Varennes, PQ Can.). *Thermochim. Acta* 1980, 39(2), 95-102 (Eng). This work is part of a more general project in thermal energy storage by means of the solid-liq. phase transformation. The phase diagrams were checked and slightly modified. A drop calorimeter was used to measure the enthalpies over a small temp. range near the m.ps., thus enabling the detn. of the heats of fusion and the sp. heats of the solid and liq. phases over these ranges. For NaNO₃, KNO₃, Na₂Cr₂O₇, K₂Cr₂O₇, NaNO₃-KNO₃, NaNO₃-Na₂Cr₂O₇, NaNO₃-K₂Cr₂O₇, KNO₃-K₂Cr₂O₇, and Na₂Cr₂O₇-K₂Cr₂O₇, the enthalpies of the solid and liq. states and the heats of fusion are detd. The results for the heats of fusion are compared with values obtained by simple estn. methods.

(+3)

☒

CA 1980 93 n8

NaNO₃

H-Ho; ΔHm;

Tm; Tt;
ΔHc

(43)

X. 9880 N²

21 Б778. Калориметрическое определение термодинамических свойств солей щелочных металлов NaNO_3 , KNO_3 , $\text{Na}_2\text{Cr}_2\text{O}_7$, $\text{K}_2\text{Cr}_2\text{O}_7$ и их бинарных эвтектических растворов. Nguyen-Duy Phuc, Dancy Edna A. Calorimetric determination of the thermodynamic properties of the alkali metal salts NaNO_3 , KNO_3 , $\text{Na}_2\text{Cr}_2\text{O}_7$, $\text{K}_2\text{Cr}_2\text{O}_7$ and their binary eutectic solutions. «Thermochim. acta», 1980, 39, № 2, 95—102 (англ.)

В рамках общей программы исследования возможностей аккумулирования термич. энергии за счет фазовых переходов тв.→жидк. в калориметре смешения измерены энталпии NaNO_3 (I), KNO_3 (II), $\text{Na}_2\text{Cr}_2\text{O}_7$ (III), $\text{K}_2\text{Cr}_2\text{O}_7$ (IV) и их бинарных эвтектич. смесей. Измерения проведены в узкой области т-р вблизи т. пл. с целью уточнения энталпий I—IV и определения ΔH (пл.) эвтектик. Составы эвтектик взяты по ранее уточненным авторами фазовым диаграммам: I—II 0,503, I—III 0,73, I—IV 0,775, II—IV 0,81, III—IV 0,5596 мол. д. 1-го компонента. Т-ные зависимости энталпий выражены ур-ниями Δh_t (кал/моль) = $C_pT - b$, коэф. к-рых C_p и b для жидк. и тв. фаз составили соотв.: I $50,7 \pm 7,6$ и 16 680, фаза β $48,3 \pm 3,8$ и 18 733, фаза α $40,2 \pm 1,3$ и 14 777 (450—650 K); II $55,6 \pm 8,8$ и 21 529, $32,1 \pm 3,1$ и

1980

диплом ГХЗ

диплом ГХЗ

9320 (500—675 K); III 106 ± 28 и 36 567, $82,3 \pm 2,5$ и
27 874 (500—670 K); IV $141,7 \pm 5$ и 59 978, $96,3 \pm 4$ и
39 148 (575—720 K); I—II $33,9 \pm 0,5$ и 8628, $31,6 \pm 7,2$ и
9961 (450—560 K); I—III $51,5 \pm 7,5$ и 13 698, $43,0 \pm 1,2$ и
12 681 (450—575 K); I—IV $72,2 \pm 21$ и 24 433, $54,5 \pm 5,7$ и
18 284 (450—575 K); II—IV $63,2 \pm 0,5$ и 20 473, $63,2 \pm 2,1$
и 22 911 (450—600 K), III—IV $125,7 \pm 2,8$ и 48 441, $97,7 \pm$
 $\pm 3,4$ и 35 668 (500—675 K) (в скобках указаны т-рные
интервалы измерений). Энтальпии плавления и т. пл.
(определенны ранее) составили: I 3500 кал/моль и 581 K,
II 2200 и 610, III 6000 и 625, IV 9400 и 666, I—II 2500
и 495, I—III 3500 и 535, I—IV 2600 и 495, II—IV 2400
и 537, III—IV 3300 и 573. Значения ΔH (пл.) эвтектик
сравнены с оценочными величинами. Для $\alpha \rightarrow \beta$ -перехода
I найдено $\Delta H = 380$ кал/моль при 585 K.

А. Б. Кисилевский

NaNO3

Post M. L. n. d.

1980

Bull. Chem. Th.,
N^o3, p. 361

ΔH_m

ΔH_{tz}

NaNO_3

1980

Savintsev P. A. et al

Izv. Khim. Zh. 1980,
46(4), 416-20

T_{tr}



$\text{Ca } \text{KNO}_3 ; \frac{1}{2}$

NaNO_3

1980

Zamaly H.,
Jemal ill.

Tm;

J. Irragi Chem. Soc.,
1980, 5, Spec. Issue,
323 - 326.

(crys. NaNO_2 ; ?)

Макаров

января 10013

1980

γ_{H}

(ΔH_m)

$\Delta H_{\text{т}}, \Delta H_{\text{пл}}$

(+) \otimes

1. 1981/1

1 Б765. Определение теплот превращения и плавления нитрата натрия методом дифференциальной сканирующей калориметрии: применение индия и нитрата натрия как калибровочных веществ. Zeeb Kevin G., Lowings Malcolm G., McCurdy Keith G., Hepler Loren G. Heats of transition and melting of sodium nitrate by differential scanning calorimetry: use of indium and sodium nitrate as calibration substances. «Thermochim. acta», 1980, 40, № 2, 245—249 (англ.)

Теплоты полиморфного превращения и плавления NaNO_3 (I) определены с использованием ДСК типа Перкин-Элмер. Калибровка калориметра проводилась по ΔH пл. $\text{In} = 784,7$ кал/моль. Систематизированы лит. данные по ΔH пл. I и заново определена ΔH пл. I = $= 3586 \pm 42$ кал/моль. Специально изучен вопрос о влия-

ии полиморфного превращения I при 280° на воспроизводимость значений ΔH пл. При относит. влажности воздуха 10--45% в лаб-рии гигроскопичностью I можно пренебречь. В этих условиях I может быть использован в кач-ве калибровочного в-ва в ДСК. Показано, что ΔH пл. и ΔH крист. I совпадают друг с другом по абрс. величине, если они определяются в интервале 280 — 311° , т. е. выше т-ры превращения I. Рекомендована ΔH пр. I=815 кал/моль и указано на хорошее разрешение пиков полиморфного превращения и плавления при скоростях нагревания до 20 град/мин. Л. А. Резницкий

$\text{NaNO}_2, \text{NaNO}_3$ (T_27)

1981

Aclams D.M., Sharma S.K.

J. Mol. Struct., 1981, 71, 121-129 (ann.)

Spectroscopy at very high transitions
in sodium nitride and sodium nitrate.

PHXm, 1981

136844



T, 5 (φ)

NaNO₃

1981

24 Б675. Ангармоничность решеточной моды в нитрате натрия. Вгехат F., Wyuckske B., Надпі A. Lattice mode anharmonicity in sodium nitrate. «Phys. status solidi», 1981, B106, № 1, 207—214 (англ.; рез. франц.)

Tc;

ИК-спектры отражения NaNO₃ (I) измерены в области 10—600 см⁻¹ при т-рах 23—300° (т-ра фазового перехода I T_c=276°) на монокристаллах, выращенных методом Бриджмена. Сравнение т-рной зависимости параметров ангармоничности с рассчитанными на основе 4-параметрич. модели с учетом полуквантовой дебаевской релаксации показало, что имеет место согласие в диапазоне 23—250°, где динамику решетки определяет кубич. ангармоничность. Выше 250°, вблизи т-ры фазового перехода, учет эффектов 3- и 4-го порядка не позволяет объяснить затухание мод ω_1 , ω_4 и ω_5 , к-рое происходит быстрее ожидаемого, что связывается с

X. 1981, 19, N24.

влиянием затухания диффузионной мягкой моды в точке Z зоны Бриллюэна. В низкот-рной области проявляется дебаевская релаксация, к-рая при приближении к T_c исчезает, так что в высокот-рной фазе I инт-ратионы могут свободно вращаться вокруг оси 3-го порядка. Полученные результаты подтверждают представления о том, что фазовый переход в I является переходом типа порядок — беспорядок.

С. Ш. Шильштейн

NaNO₃

1981

12 Б875. Теплоемкости NaNO₃, KNO₃ и смесей
(Na, K)NO₃. Heat capacities of NaNO₃, KNO₃ and
(Na, K)NO₃. Carling R. W. «Proc. 3rd Int. Symp.

Molten Salts, Hollywood, Fla, Oct. 6—9, 1980». Pennington, N. J., 1981, 485—493 (англ.)

С помощью дифференциального сканирующего калориметра DSC—2 фирмы Перкин—Элмер измерены теплоемкости (C_p) NaNO₃ (I), KNO₃ (II) и эквимол. смесей I+II в т-рных интервалах 350—740, 350—800 и 330—700 К соотв. Образцы помещались в золотые или стальные герметичные ампулы, скорость нагревания составляла 10 град/мин. Точность измерения C_p тв. солей оценена в 2%. Установлено, что выше 750—800 К нарушается герметичность ампул и жидк. соли вытекают. Табулированы эксперим. значения C_p I, II и смесей I+II с шагом в 25 К. Вычислены энтальпии и энтропии полиморфных превращений и плавления исследованных

(p)

18
4

X. 1983, 19, N 12

солей. Полученные результаты для тв. солей и фазовых переходов хорошо согласуются с лит. данными. Указано, что C_p тв. I+II аддитивно складываются из C_p I и II. Установлено, что C_p жидк. солей составляют 130—140 Дж/К·моль и уменьшаются с увеличением т-ры. Отмечен существенный разброс в величинах C_p жидк. солей в данной работе и в лит-ре. Это объясняется возможным частичным разл. солей или неполнотой их плавления при более низких температурах.

П. М. Чукров

NaNO_3

1981

Consani R., et al.

Тетраэдрик.

J. Chem. Phys., 1981,
74, N 9, 4774 - 4779.

(см. LiNO_3 ; T)

1981

NaNO₃

object
reflexes

195: 89205c A thermodynamic potential describing the successive phase transitions in sodium nitrite. Ishibashi, Y.; Buchheit, W.; Petersson, J. (Fac. Eng., Nagoya Univ., Nagoya, Japan). *Solid State Commun.* 1981, 38(12), 1277-9 (Eng). The thermodn. potential recently proposed for describing the successive phase transitions of NaNO₃ is extended by introducing a term of 6th order in the homogeneous polarization. The 1st order character of the prototype-commensurate transition - in the case that the incommensurate phase would be suppressed - and of the incommensurate-commensurate transition can be described. Also the 2nd order character of the prototype-in-commensurate transition is included. The phys. meaning of the results is discussed. Particularly the importance is emphasized of the term of the 4th order in the order parameter and of the 2nd order in the modulation wave no.

C.A. 1981, 95, N10

NaNO_3

1981

Kumar K. V., Shah
D. O., Pandit A.

Ornithogenes Res. and Ind., 1981,
vol. 26, N 4, 248-249.
ctmecu.

(c.u. NaNO_2 ; T)

NaNO_3

1981.

Mikami Masahiro, et al

$C_p; C_v$

J. Chem. Eng. Data, 1981,
26 (4), 411 - 413.



(csl. $\text{NaNO}_2; I$)

NaNO_3

1981

Соболева Н. Т. и др.

Ж. обн. науки, 1981,

14; 14aq. 51, №, 1929-1932.

(см. LiNO_3 ; I).

NaNO_3

1981

Зарегистрировано
Б. И. и группой.

1 May

ИС. ОГИБ. ИСКУССТВО, 1981,
51, № 9, 1932 - 1935.

(авт. LiNO_3 ; ?)

NaNO₃(K) 1982

Carling R.W.,

Cp Exploratory Chemistry Division I, Sandia National Laboratories, Livermore, CA.

37th Annual Calorimetry Conference. Program, Abstracts, Reports, SNOWBIRD, UTAH. 20-23 July 1982.

NaNO_3

Carling R.W.

1982

METHOD DCK

C_p

$$T_{f_1} = 550\text{K}$$

350 - 800K

$$T_{f_2} = 583\text{K}$$

[37 red. heat. long. CMA]

NaNO₃

1982

' 98: 81735s Detection of phase transitions in sodium nitrate crystals by positron annihilation. Chuang, S. Y.; Ottlinger, M. E.; Diana, L. M.; Coleman, P. G.; Sharma, S. C.; Smith, J. H. (Cent. Positron Stud., Univ. Texas, Arlington, TX 76019 USA). *Positron Annihilation, Proc. Int. Conf., 6th 1982*, 732-3 (Eng). Edited by Coleman, Paul G.; Sharma, Suresh C.; Diana, Leonard M. North-Holland: Amsterdam, Neth. The phase transitions were studied in polycryst. NaNO₃ at 200-566 K. A transition at ~548 K is due a disordered vibration-rotation of NO₃ groups. A new phase transition occurs at 250-~270 K.

T_{f2}

C. A. 1983, 98, N10.

NaNO₃

1982

1 E916. Детектирование фазовых переходов в кристаллах NaNO₃ методом аннигиляции позитронов.
Detection of phase transitions in NaNO₃ crystals by positron annihilation. Chuang S. Y., Ottlinger M. E., Diana L. M., Coleman P. G., Sharma S. C., Smith J. H. «Positron Annihilation. Proc., 6 Int. Conf., Arlington, Tex., 3—7 Apr., 1982». Amsterdam e. a., 1982, 732—733 (англ.)

Измерены спектры времени жизни позитронов в кристалле NaNO₃ в интервале т-р 200—566 К с целью выявления структурных изменений. Найдено существование двух компонент с временами 250—290 пкс и 1200±200 пкс. Долгоживущая компонента связывается с поверхн. эффектами образования лозитрония. Короткоживущая компонента, связываемая с аннигиляцией свободных позитронов, мало изменяется при т-рах ниже 500 К, но затем резко возрастает в окрестности т-ры фазового перехода. Это возрастание объясняется увеличением свободного объема при разупорядочении нитрат-

cf. 1984, 18, N 1

ных групп. В окрестности т-ры 260 К отмечается размытый максимум τ_1 , который может быть сопоставлен с изменением плотности, наблюдаемым рентгенографически. В интервале т-р 300—450 К имеет место гистерезис τ_1 , зависящий от тепловой предыстории образца и исчезающий после первого цикла нагрева/охлаждения. Делается вывод о чувствительности метода аннигиляции к структурным фазовым переходам.

А. Б.

и
Ст

NaNO₃

1982

6 Б892. Молярная энталпия твердофазного превращения в NaNO_3 . Molar enthalpy of the solid-solid transition in NaNO_3 . Dancy Edna A. «Thermochim. acta», 1982, 59, 251—252 (англ.)

С помощью дифференциального сканирующего калориметра исследовано поведение при нагревании NaNO_3 (I) в интервале 25—620 К при различных скоростях нагревания. Во всех случаях на термограммах присутствуют пики твердофазного превращения при 545 К и плавления при 578 К. Энталпия плавления I получена равной 3540 кал/моль, что хорошо согласуется с лит. данными. Рекомендовано принять за начало твердофазного превращения т-ру ~ 450 К, тогда энталпия превращения равна ~ 880 кал/моль. Указано, что существующие расхождения могут быть разрешены только после определения природы этого твердофазного превращения.

П. М. Чукров

X. 1983, 19, n6

NaNO₃

1982

4 E658. Мольная энталпия фазового превращения NaNO₃ в твердом состоянии. Molar enthalpy of the solid-solid transition in NaNO₃. Dancy Edna A. «Thermochim. acta», 1982, 59, № 2, 251—252 (англ.)

На примере NaNO₃ обсуждены трудности измерений тепловых эффектов превращений ΔH_{tr} фазовых превращений в твердом состоянии. При исследовании NaNO₃ с помощью дифференциального сканирующего калориметра выяснилось, что превращение характеризуется тепловым эффектом, распределенным в широком интервале т-р. При этом повышение C_p , связанное с началом превращения, трудно отличить от нормального температурного хода теплоемкости. В зависимости от того, какую т-ру принять за начальную точку перехода, величина ΔH_{tr} колеблется от 350 до 880 кал/моль.

Б. Могутнов

ΔH_{tr}

90. 1983, 18, N4

NaNO₃

1982

' 98: 8582k Molar enthalpy of the solid-solid transition in sodium nitrate. Dancy, Edna A. (Inst. Rech. Hydro-Quebec, Varennes, PQ Can. JOL 2P0). *Thermochim. Acta* 1982, 59(2), 251-2 (Eng). The heat of phase transition (solid-solid) of NaNO₃ was measured by using a differential scanning calorimeter. These and other researchers observations are discussed.

8 Met;

C-A. 1983, 28, N 2.

$\text{NaNO}_3 \cdot \text{NaOH}$

1982

$H_T - H_i$,
Sonic H;

97: 170053q Molar enthalpy at five compositions in the sodium nitrate-sodium hydroxide system in the liquid and solid states. Dancy, Edna A. (Inst. Rech., Hydro-Quebec, Varennes, PQ Can. JOL 2P0). *Thermochim. Acta* 1982, 58(1), 53-9 (Eng). The molar enthalpies of the 2 compds. ($\text{NaNO}_3 \cdot \text{NaOH}$ and $\text{NaNO}_3 \cdot 2\text{NaOH}$) and 3 eutectics in the NaNO_3 - NaOH system were detd. at 450-630 K by means of drop calorimetry. The enthalpy changes at 500-550 K, which include melting, are large from the viewpoint of energy storage. At NaOH mol-fraction of 0.822, a high, neg. heat of mixing (0.7-0.8 kcal/mol) was noted. This is contrary to what was obsd. in other common cation-mixed anion molten salt solns.

C.A. 1982, 97, N20.

NaNO3

10m. 16259

1982

Ttr;

Jansen M.,

Z. Naturforsch.,
1982, A37, N12,

1457 - ● 1460.

NaNO₃

оим. 13789

1982

K_p,

ΔH_m, T_m

17 Б724. Исследование нитратов и нитритов натрия и калия методом дифференциальной сканирующей калориметрии. Крамер С. М., Мунир З. А., Волпори J. V. Differential scanning calorimetry of sodium and potassium nitrates and nitrites. «Thermochim. acta», 1982, 55, № 1, 11—17 (англ.)

В интервале 350—990 К методом дифференциальной сканирующей калориметрии исследовано поведение при нагревании NaNO₃ (I), KNO₃ (II), NaNO₂ (III), KNO₂ (IV) и эквимолярной смеси I+II. Скорость нагрева-

(4)

X, 1982, 19, N 17.

KNO₃, NaNO₂,
KNO₂, NaNO₃ +
 + KNO₃

ния составляла 10 град/мин. Образцы помещались в герметичные стальные ампулы, причем часть ампул изнутри покрывалась золотом. Отмечено, что в стальных ампулах происходит взаимодействие I—IV или продуктов их разл. с материалом ампулы. Установлено, что на термограммах всех солей (за исключением смеси I+II) можно выделить эндоэффекты плавления и растянутые эндоэффекты постепенного разл. I—IV. За т-ры разл. принимались т-ры начала эндоэффектов; они составили 840 ± 10 , 820 ± 20 , 800 ± 10 и 800 ± 10 К для I—IV соотв. Полученные величины сопоставлены с т-рами разл., определенными методами ТГА, ДТА и газовolumетрии. Отмечено, что наблюдающиеся расхождения обусловлены проведением процесса в ДСК под давл. выделяющихся газ. продуктов разложения.

П. М. Чукров

NaNO_3

1982

Kosaka Mineo, Asahina Tadashi, et al.

$\Delta m H, G^o$

Nippon Kagaku Kaishi 1982, (6), 977-982.

($\text{C}_{22} \cdot \text{LiNO}_3 ; \bar{1}$)

NaNO₃

1982

3 1 E572. Объемные изменения некоторых солей при плавлении. Volume change on melting of some salts. Petitet J. P., Fraiha M., Tufeu R., Le Neindre B. «High Pressure Res. and Ind. AIRAPT Conf., 19 EHPRG Conf., Inst. Phys. Chem. Univ. Uppsala, 17—22 Aug., 1981. Proc. Vol. 1». Uppsala, 1982, 350—353 (англ.)

ΔHm;

Исследовались кривые плавления NaNO₃, LiOH и ряда смесей солей при давлениях в газовой среде до 2 кбар. Определены теплоты ΔH и энтропии ΔS плавления, производные dT/dP и объемные изменения $\Delta V/V$. При атмосферном давлении наименьшими значениями $\Delta V/V$ обладают LiOH (3,5%), смесь 58 мол.% Li₂SO₄—42 мол.% NaCl (3,7%) и смесь 7 вес.% NaNO₃—40 вес.% NaNO₂—53 вес.% KNO₃ (4%). Соли с малыми объемными изменениями при плавлении являются удобными системами для аккумуляции тепловой энергии.

А. И. Коломийцев

(1)

φ. 1983, 18, N1

NaNO₃(K) Dunnuck 15265 1982

Rogers D.Y., Janz G.Y.,

J. Chem. and Eng.

27, N.Y.,

424-428.

NaNO₃

1982

9 Б797. Результаты калориметрических исследований щелочных нитратов и гидрофосфатов. Ergebnisse kalorimetrischer Messungen an einigen Alkalinitraten und -hydrogenphosphaten. Vogel Lothar. «Wiss. Z. M.-Luther—Univ. Halle-Wittenberg. Math.-naturwiss. R.», 1982, 31, № 3, 93—94 (нем.)

Усовершенствованным динамич. методом ДСК с удовлетворительной для пром. целей точностью определены энталпии и т-ры плавления нитратов: NaNO₃ (I) 16 705 Дж/моль и 581,6 К, KNO₃ (II) 10 086 и 607,8, NH₄NO₃ (III) 5951 и 442,6. С точностью 2% определены теплоемкости, описанные ур-ниями вида $c_p = a + bt + c \cdot 10^{-2} \cdot t^2$ Дж/моль·К. Значения коэф. a , b и c в соотв-щих т-рных интервалах составили: I 99,828, —0,052 и 0,167 25—80° C; II 97,539, —0,104 и 0,213 25—80° C; —17,924, 0,114 и —0,016 340—360° C; III 79,939, 1,525 и —1,054 35—80° C; 64,626, —0,741 и 0,219

⊗(45)

X. 1983, 19, N 9

171—180° C; NaH₂PO₄ 113,712, 0,293 и 0,216 25—80° C;
Na₂HPO₄ 477,222, —10,724 и 8,566 25—80° C; KH₂PO₄
94,029, 0,689 и —0,313 25—80° C; K₂HPO₄ 82,493, 0,501
и —0,260 25—80° C; (NH₄)₂HPO₄ 131,032, 0,606 и
—0,258 25—80° C; (NH₄)₂HPO₄ 161,997, 0,697 и —0,237
25—80° C.

А. С. Гузей

KNO₃, NH₄NO₃, NaH₂PO₄, Na₂HPO₄,
KH₂PO₄, KHPO₄, (NH₄)₂HPO₄

пер.

NaNO₃

1982

97: 203910x Results of calorimetric measurements on some alkali metal nitrates and hydrogenphosphates. Vogel, Lothar (Wissenschaftsber. Tech. Chem., Martin-Luther-Univ., Halle/Saale, Ger. Dem. Rep.). *Wiss. Z. - Martin-Luther-Univ. Halle-Wittenberg, Math.-Naturwiss. Reihe* 1982, 31(3), 93-4 (Ger). The heats of melting, entropies of melting, and the m.ps. of NaNO₃, KNO₃, and NH₄NO₃ and the heat capacities of NaNO₃, KNO₃, NH₄NO₃, NaH₂PO₄, KH₂PO₄, NH₄H₂PO₄, Na₂HPO₄, K₂HPO₄, and (NH₄)₂HPO₄ were detd. by DSC. The temp. dependences of the heat capacities are given.

ΔmH, ΔSH,

T_m, C

~~(6)~~ *KNO₃*

NH₄NO₃ " sp.

c. A. 1982, 97, N124

NaNO₃

Окт. 16/17

1983

У 10 Б854. Термоемкости NaNO_3 и KNO_3 от 350 до 800 К. Heat capacities of NaNO_3 and KNO_3 from 350 to 800 K. Carling Robert W. «Thermochim. acta», 1983, 60, № 3, 265—275 (англ.)

Методом ДСК измерены теплоемкости NaNO_3 (I) и KNO_3 (II) в интервале т-р 350—800 К. Твердофазные переходы наблюдались при 550 и 406 К с энтропиями $8,43 \pm 0,25$ и $13,8 \pm 0,4$ Дж/моль·К для I и II соотв. Т-ры и энталпии плавления составили: I 583 К и $15,1 \pm 0,4$ кДж/моль, II 612 К и $10,5 \pm 0,3$ кДж/моль. Значения C_p , S_t° , $(H_t^\circ - H_0^\circ)/T$ и $-(G_t^\circ - H_0^\circ)/T$ Дж/моль·К табулированы в интервале 15—800 К. При 298,15 К они составили: I 91,94, 116,3; 57,73 и 58,55; II 95,39; 133,0; 62,93 и 70,02; при 800 К соотв.: I 142,5; 271,6; 125,5 и 146,1; II 130,1; 283,3; 122,0 и 161,3.

А. С. Гузей

(41)

дс. 1983, 19, N 10

NaNO₃

1983

1 Б3024. Переход модели трех состояний Поттса в азиде натрия. Экспериментальное исследование порядка перехода посредством измерения теплоемкости. Three-state Potts transition in sodium azide: experimental study of an order of the transition by means of a heat capacity measurement. Hirotsu S., Miyamoto M., Ema K. «J. Phys. C: Solid State Phys.», 1983, 16, № 19, L661—L666 (англ.)

Получены эксперим. и теор. данные об α — β -фазовом переходе в азиде натрия, к-рый в точности соответствует непрерывному фазовому переходу в модели Поттса трех состояний. Результаты измерений т-рной зависимости теплоемкости образца вблизи переходной т-ры $19,80 \pm 0,05^\circ\text{C}$ представлены на графике. По резюме

(P, T_{T2})

X. 1984, 19, n1

NaNO₃

1983

102: 138657a On accuracy of the heat capacity of sodium nitrate and potassium nitrate in the solid and liquid state using a high-temperature adiabatic calorimeter. Ichikawa, Kazuhiko; Matsumoto, Toshiyuki (Fac. Sci., Hokkaido Univ., Sapporo, Japan 060). *Proc. Int. Symp. Molten Salt Chem. Technol.*, 1st 1983, 485-8 (Eng). Molten Salt Comm. Electrochem. Soc. Jpn.: Kyoto, Japan. The heat capacities of NaNO₃ [7631-99-4] and KNO₃ [7757-79-1] in solid and liq. states were measured at 50-450° by adiabatic calorimetry. The results were compared with those of other alkali metal nitrates. Measurements were also made for Bi and BiI₃ [7787-64-6] and the results were compared to other exptl. data.

(G)

⑦ ☒ KNO₃ ●

C.A. 1985, 102, N 16.

NaNO_3 Om. 17769 1983

Ichikawa Kazuhiko,
Matsumoto Toshiyuki.

$C_p, T_{tr},$

Bull. Chem. Soc. Jap.,

$\Delta H_{tr},$

1983, 56, N^o 7, 2093-2100.

$T_m;$

(c.u. LiNO_3 ; \bar{I})

$\text{NaNO}_3(\text{aq})$

1983

Искандеров Х. Н., Дра-
кин С. Н.

Сп. Ул. Уфим. хим.-технол. ин-т. И.,
1983. 14 с., ил. Библиогр. 15 наизв.
(Рук. пер. В. ВИЧИТИ Набр.
1983 г., 4311- 83 пер.).

(см. $\text{NaNO}_2(\text{aq})$; ?)

NaNO₃

1983

) 11 E543. Температурная зависимость оптического поглощения в окрестности фазового перехода в нитрате натрия. Temperature dependence of optical absorption near the order-disorder phase transition of sodium nitrate. Kawashima Riki, Suzuki Kazuo. «J. Phys. Soc. Jap.», 1983, 52, № 5, 1857—1865 (англ.)

*фазовый
переход*

Измерен спектр оптич. поглощения в NaNO₃ в интервале длин волн 6000—2000 Å и в области т-р от 49,5 до 298,6° С. Величина поглощения для двух полос имеет аномальную температурную зависимость в окрестности фазового перехода типа порядок — беспорядок. Результаты подтверждают известное феноменологич. соотношение между шириной энергетич. щели и теплоемкостью. Низкоэнергетич. хвосты двух зон поглощения сдвигаются при повышении т-ры в область меньших энергий. С эксперим. точностью эти изменения согласуются с правилом Урбаха. Библ. 26.

Е. И. Кац

90. 1983, 18, N 11

NaNO₃

1983

1 Е915. Теоретико-групповой анализ нежесткого кристалла NaNO₃. Королев А. А., Смирнов В. П. «Вестн. ЛГУ», 1983, № 16, 6—9 (рез. англ.)

При т-ре ~548 К в кристалле NaNO₃ происходит фазовый переход, при котором радикалы NO₃⁻ начинают вращаться (совершать нежесткие движения). В рамках концепции перестановочно-инверсионной группы это соответствует необходимости включения в группу симметрии кристалла новых элементов. Построены неприводимые представления расширенной группы, описывающей симметрию кристалла в области фазового перехода и в высокотемпературной фазе.

Автореферат

ф. 1984, 18, n/

NaNO₃

On 18 819 1983

№ 16 Б3192. Испарение NaNO₃, KNO₃ и NaNO₂. Evaporation of NaNO₃, KNO₃, and NaNO₂. Кратер С. М., Munir Z. A., Stegny K. H. «High Temp. Sci.», 1983, 16, № 4, 257—267 (англ.)

С помощью ТГА и масс-спектрометрии изучено термич. поведение NaNO₃ (I), KNO₃ (II) и NaNO₂ (III) в интервале 627—784 К. Установлено, что I и II разлагаются в вакууме с выделением газ. N₂, NO и O₂, тогда как III при разл. выделяет только газ. N₂ и NO. Установлено, что кинетика разл. I—III определяется ур-нием первого порядка. Рассчитаны энергии активации процесса испарения с разл. I—III, равные 161, 141 и 123 кДж/моль соотв. В тв. остатке после термич. разл. образуются NaO₂, Na₂O₂ (для III) и M₂O, M₂O₂, MO₂ (для I—II, M=K, Na).

Л. Г. Титов

(42) 18

X. 1984, 19, n 16

NaNO3

OM. 18498

1983

Kramer C. et al., *Clurier Z. A.*,
et al.,

k_p ; *J. Therm. Anal.*, 1983,
27, N2, 401-408.

NaNO₃

1984

4 Б3103. Термическая стабильность бинарных [систем] нитратов щелочных металлов. The thermal stability of binary alkali metal nitrates. Abe Osami, Utsunomiya Taizo, Hoshino Yoshio. «Thermochim. acta», 1984, 78, № 1—3, 251—260 (англ.)

Изучена термич. стабильность тв. и жидк. р-ров бинарных систем, образованных NaNO₃ (I) и нитратами др. щел. металлов. При исследовании термич. разл. в исходные смеси порошков солей вводили α -кварц. Образцы исследовались методами ДСК, а также ТГА, диф. ТГА, ДТА и пиролитич. ГХ при условии одновременного проведения последних в токе Ar. В результате построены двойные диаграммы фазовых равновесий в рассматриваемых системах, к-рые имеют эвтектич. характер. Установлено, что тв. р-ры в этих системах термически нестабильны и легко распадаются на составляющие их в-ва, что выражается в высоких зна-

X·1985, 19, N 4

чениях энталпии и свободной энергии смешивания. Стабильность тв. р-ров уменьшается в направлении от I—KNO₃ к I—CsNO₃. Содержание 2-го компонента не оказывает влияния на т. разл. р-ров. Отличительным признаком жидк. р-ров в рассматриваемых системах является их неупорядоченность и независимость термич. разл. составляющих компонентов друг от друга. Представлена термодинамич. интерпретация полученных эксперим. данных.

В. Е. Смирнов



Термофиз. св-ва
веществ

1983

1 E313. Измерения теплофизических свойств методом ступенчатого нагрева. Measurements of thermophysical properties by a stepwise heating method. Araki N. «Int. J. Thermophys.», 1984, 5, № 1: Selec. Pap. Jap.—US Joint Semin. Thermophys. Prop., Tokyo, 24—26 Oct., 1983, 53—71 (англ.)

NaNO₃
(температура
прогодн.)

В используемом методе образец в форме диска нагревается П-образным импульсом излучения ксеноновой дуговой лампы, сигнал изменения температуры на противолежащей поверхности регистрируется термопарой. По кинетике изменения температуры определяется температуропроводность, теплоемкость находится сравнением величины подъема температуры и изучаемого и эталонного образцов. В варианте методики для жидкостей плоский слой жидкости помещается между двумя металлическими образцами. Приведены результаты измерений температуропроводности NaNO₃ в твердом и жидкокристаллическом состояниях. Библ. 21.

Л. П. Ф.

95 1985, 18, N1.

NaNO₃

1984

101: 61200r Thermochemical study of sodium nitrate dissolution in ethylenediamine-water mixtures and in pure ethylenediamine at 298.15 K. Dovgopol, I. V.; Ivanova, E. F.; Kern, A. P. (Khar'k. Univ., Kharkov, USSR). *Zh. Fiz. Khim.* 1984, 58(6), 1569-70 (Russ). The heats of soln of NaNO₃ in ethylenediamine, pure and aq. were measured calorimetrically at 298.15 K. The heat of soln. as function of compn. of the solvent and the electrolyte. were detd. The results are discussed from the point of view of solvating capacities of the solvent.

Soln H)

c.A.1984, 101, n8

NaNB₃

(OM-20307)

1984

Рязов В.И., Толеев Б.Ф.,
Толобаев Г.С.

P

Ж. пром. химии, 1984,
57, №10, 2351 - 2352.

$\text{NaNO}_3(\text{K})$ (OM-20581) 1984
21924)

Ghosh B.P., Nag K.,

T_{tr} ,
 $\Delta_{tr}H$;

J. Thermal. Anal.,
1984, 29, N3, 433-437.

$\text{NaNO}_3 \text{ aq}$

[OM-18476]

1984

Isono T.,

ИсоНо Т.,
Безкоемъ,
Электро-
пробогт.

J. Chem. and Eng.
Data, 1984, 29, N1,
45-52.

NaNO₃

1984

2 E677. Определение структуры нитрата натрия вблизи фазового перехода типа порядок — беспорядок.
Structure determination of sodium nitrate near the order-disorder phase transition. Lefebvre J., Fouret R., Zeyen C. M. E. «J. phys.» (Fr.), 1984, 45, № 8, 1317—1327 (англ.; рез. фр.)

Предложены две модели структуры NaNO₃ вблизи перехода порядок — беспорядок при $T_c = 276^\circ\text{C}$. В первой модели предполагается статич. разупорядочение ионов NO₃⁻ по двум равновесным положениям, характеризуемое параметром порядка η . Во второй модели разупорядочение описывается с помощью одномерной ф-ции распределения вероятности ориентации анионов. При этом учитывается связь между поворотами аниона NO₃⁻ вокруг тригональной оси с трансляцией вдоль этой же оси. Сравнение обеих моделей показывает, что статич. модель остается справедливой до тех пор, пока среднеквадратичная амплитуда вращательных движений анионов не превышает 12°. Определение структуры по двум

T_c, структ.

Ф 1985, 18, № 2.

моделям приводит к одинаковой точности при т-рах ниже $\approx 250^{\circ}\text{C}$, соответствие со второй, динамической, моделью оказывается лучше при более высоких т-рах в области $T_c = 26^{\circ}\text{C}$. Рассмотрение кривых равной вероятности расположения анионов NO_3^- , построенных по эксперим. данным, позволяют заключить, что поворот аниона вокруг тригональной оси происходит одновременно с трансляцией т. обр., что расстояния между кислородом и ближайшим ионом Na остаются почти неизменными в процессе перескока анионов между равновесными положениями.

А. Отко

NaNO₃

1984

1 Б3138. Определение структуры нитрата натрия вблизи фазового перехода типа порядок—беспорядок. Structure determination of sodium nitrate near the order-disorder phase transition. Lefebvre J., Fouret R., Zeyen C. M. E. «J. Phys.» <Fr.>, 1984, 45, № 8, 1317—1327 (англ.; рез. фр.)

фаз. переход

Методом нейтронографии при т-рах 22, 228, 245, 257 и 266°С исследована структура кристаллов NaNO₃, в к-ром при 276°С наблюдается фазовый переход типа порядок—беспорядок. Для интерпретации полученных результатов рассмотрено две модели действия механизма разупорядочения. По 1-й модели в структуре происходит статич. разупорядочение ионов NO₃⁻ между двумя равновесными положениями (модель Изинга с параметром порядка η). По 2-й модели вводится одномерная

X, 1985, 19, N1.

функция вероятности ориентирования для описания динамич. разупорядочения. При т-рах 228 и 245° С вычисления по обеим моделям с одинаковой точностью соответствуют эксперим. результатам, при более высоких т-рах разупорядочение лучше описывается 2-ой моделью. Формализм теории, введенный в работе для случая тригон. симметрии NaNO_3 , где соотношение индексов $-h+k+l=3n$, легко распространяется на кристаллы тетрагон. и гексагон. симметрии. В. А. Ступников

NaNO₃

1984

101: 161546b Structure determination of sodium nitrate near the order-disorder phase transition. Lefebvre, J.; Fouret, R.; Zeyen, C. M. E. (Lab. Dyn. Cristaux Mol., Univ. Sci. Tech. Lille I, 59655 Villeneuve d'Ascq, Fr.). *J. Phys. (Les Ulis, Fr.)* 1984, 45(8), 1317-27 (Eng). Two models are proposed to solve the NaNO₃ structure near the order-disorder transition ($T_c = 276^\circ$). The 1st model is built with the static disorder assumption between the 2 equil. positions of NO₃⁻ ions. In this case, disorder is characterized by an order parameter: η . For the 2nd model, a 1-dimensional orientational probability function is introduced to take disorder into account. In the latter formalism, a coupling between NO₃⁻ rotations around the 3-fold axis and translations along the same axis is introduced. The static model can be valid while the square root of the rotational mean square amplitude is $< 12^\circ$. Structure detn. by the 2 models yields equiv. fits for temps. below $\sim 250^\circ$, fits with the 2nd model become better for temps. $> 250^\circ$ ($T_c - 26^\circ$). Equiprobability curves display the NO₃⁻ ion jump mechanism between their 2 equil. positions: the rotation around the 3-fold axis is made via a translation so that the distance between O atoms and the nearest neighbor Na⁺ ions stays approx. const. during the jump.

Tc;

c.A.1984, 101, n18

NaNO₃

1984

1 Б3142. Описание изотропных групп фазового перехода в NaNO₃. Isotropy group description of a phase transition in NaNO₃. Stognetta W. S., Hatch D. M. «J. Chem. Phys.», 1984, 80, № 11, 5745—5750 (англ.)

Методы теории групп в рамках модели Ландау фазовых переходов (в сочетании с концепцией групп изотропии и условиями Лифшица) применены для описания непрерывного полиморфного перехода фазы с симметрией $\bar{R}\bar{3}c$. Анализ позволил выделить 6 возможных вариантов подгрупп симметрии для новой фазы. Для решения систем использованы нелинейные полиномные ур-ния с нахождением минимума свободной энергии до 4-го порядка для всех 6 фаз. Как методом теории групп, так и минимизацией свободной энергии найдено, что неприводимое представление A_{2u} является движущей силой перехода $\bar{R}\bar{3}c \rightarrow R\bar{3}c$. Сопоставление результатов по непрерывному переходу в NaNO₃ из пара-

*полиморфн-
переход*

X. 1985, 19, N1

сегнетоэлектрич. фазу с изменением симметрии от $R\bar{3}c$ до $R3c$ (превращение идет при комн. т-ре и давл. 45 кбар и сопровождается вращением групп NO_3^- и смещением Na^+ , мягкая мода перехода $k=0$) показало совпадение вычислений симметрии параметра порядка с лит. данными, включая определение величин смещений атомов от их среднего положения. В. А. Ступников

NaNO_3

1985

Greis O.; Bahandar
K.M.; et al.

T_{f2}), Thermochem. acta,

T_m ; 1985, 86, 343-350,

(cell: KNO_3 ; I)

NaNO₃

1985

, 103; 12308q Thermochemical study of solutions of sodium and ammonium nitrates in dimethylsulfoxide at various temperatures. Klyueva, M. L.; Ryabchenko, O. I.; Novoselov, N. P. (Leningr. Tekhnol. Inst. Tsnellyul.-Bum. Prom., Leningrad, USSR). *Zh. Prikl. Khim. (Leningrad)* 1985, 58(5), 990-3 (Russ). The heats of soln. of NaNO₃ and NH₄NO₃ in DMSO were measured calorimetrically at 298.15 and 323.15 K, for various concns. of the solns. These data, together with data for alkali metal iodide solns. show that temp. and concn. dependences of the heats of soln. vary with the nature of the dissolved electrolyte. This is particularly true for the specific solvation of ions in DMSO.

(1 H soln
8 DMSO)

⑦ \otimes

● NH₄NO₃

C.A. 1985, 103, N₂

[Om. 21675]

1985

CuCl₂

NaNO₂-NaNO₃ Picard F.S., Fla-
ment T.A., et al.,

J. Electrochem. Soc.,
1985, 132, N4, 863-868.

NaNO_3

1985

Takahashi Y.,
Sakamoto R. et al.

C_p (323-573K) Bulletin of Chem.
Thermodyn., 1985,
28, p. 226.

Метиолитология

1985

NaNO₂

NaNO₃

KNO₃

3 ИЗ26. Экспериментальное определение теплопроводности расплавов чистых солей и их смесей. Experimental determination of the thermal conductivity of molten pure salts and salt mixtures. Tufeu R., Petitet J. P., Denielou L., Neindre B. Le. «Int. J. Thermophys.», 1985, 6, № 4, 315—330 (англ.)

Методом коаксиальных цилиндров измерена теплопроводность λ жидких $NaNO_3$, KNO_3 , $NaNO_2$, эквимолярной смеси $NaNO_3-KNO_3$ и промышленного теплоносителя — системы $NaNO_3-NaNO_2-KNO_3$ при атм. давлении в интервале $T=500-600\text{ K}$ с погрешностью 4 %. Для всех в-в λ практически не зависит от температуры в отличие от данных большинства авторов, показывающих заметный рост λ при возрастании температуры. Причиной этих различий может быть неучет другими авторами конвекции и излучения. В то же время, наблюдается хорошее согласие с данными Омотани, полученными методом нагреваемой проволоки. Концентрационная зависимость λ , измеренная для системы $NaNO_3-KNO_3$ при $T=607\text{ K}$ близка к линейной.

А. Д. О.

оф. 1986, 18, N3

$NaNO_3$, KNO_3

NaNO₃

1985

105: 14481f A central component in the low-frequency Raman spectra of sodium nitrate (NaNO_3). Yagi, Toshiro; Yasaka, Hiroshi; Sakai, Akira (Dep. Phys., Kyushu Univ., Fukuoka, Japan 812). *Jpn. J. Appl. Phys., Part 1* 1985, 24(Suppl. 24-2, Proc. Int. Meet. Ferroelectr., 6th), 522-4 (Eng). Low-frequency Raman spectra of NaNO_3 were obsd. as a function of temp. in a range from room temp. to above the m.p. T_m . A strong central component appears and grows up with increasing temp. Both of the width and intensity of the component show an anomaly near the phase transition point T_c . The anomalous part of the intensity shows temp. dependence as $(T_c-T)^{1/2}$ below T_c , indicating a close relation between the spectra and the order parameter in the phase transition. In terms of a spectral shape anal. using a simplified model, the origin of the central component was assigned to a precessional free-rotation of NO_3 mols. The precessional free-rotational motion of NO_3 is essential for the order-disorder mechanism in the phase transition of NaNO_3 .

Tc

c. A. 1986, 105, N 2

NaNO₃

1985

8 E731. Центральный пик при фазовом переходе порядок — беспорядок в нитрате натрия. A central peak in the order-disorder phase transition of sodium nitrate. Yasaka Hiroshi, Sakai Akira, Yagi Toshirou. «J. Phys. Soc. Jap.», 1985, 54, № 10, 3697—3700 (англ.)

Изучено поведение центрального пика в НЧ-области спектров КРС монокристаллов NaNO₃ в диапазоне т-р от комнатной до 580 К, охватывающем точку фазового перехода $T_c = 548$ К. Характеристики центрального пика, наблюдаемого в геометрии $x(zz)y$, сильно зависят от т-ры. Интенсивность и ширина центрального пика имеют аномалии вблизи T_c . Аномальная часть интенсивности пика хорошо описывается формулой $(T_c - T)^{1/2}$ с показателем, равным критич. индексу параметра порядка. Возникновение центрального пика в NaNO₃, по-видимому, не связано с какими-либо посторонними факторами (как примеси или дефекты), но объясняется особенностями движения ионов NO₃⁻, которое активизируется с повышением температуры.

А. Отко

cf. 1986, 18, № 8

NaND₃ 1985
Vandyshov V. N.,
Korolev V. P., et al.

ΔH_{soln} . Zh. Obshch. Khim. 1985,
55(II), 2409-II.

(cell. LiNO₃; ?)

NaNO₃

1986

24 Б2069. Термическое расширение нитрата натрия.
Thermal expansion of sodium nitrate (I). Ibra-
him M. M d., Ramachandran V., Sarangarap K., Srin-
ivasan R. «J. Phys. and Chem. Solids», 1986, 47, № 5,
517—520 (англ.)

С использованием интерферометра с лазерным ис-
точником (He—Ne) проведен анализ характера линей-
ного расширения в т-рном диапазоне 77—300К образ-
цов NaNO₃ (ф. гр. $R\bar{3}c$, СТ кальцита) в виде пирамиды
с квадратным основанием 4×4 мм и высотой 5 мм, вы-
резанной из кристаллов, выращенных из расплава.
Коэф. линейного расширения вдоль оси $\bar{3}(\alpha_{||})$ и пер-
пендикулярно ей (α_{\perp}) найдены равными: $\alpha_{\perp} 13,4 \cdot 10^{-6}$,
 $\alpha_{||} 112,5 \cdot 10^{-6}$. Существенно анизотропный характер
расширения кристаллов с очень большими различиями
значений α_{\perp} и $\alpha_{||}$ объясняется слоистым характером
структуры с ориентацией плоских треугольных группи-
ровок NO₃ перпендикулярно оси с (в гексагон. установ-
ке).

С. В. Соболева

*термическое
расширение*

X. 1986, 19, N 24

NaNO₃ (K)

1986

20 Б3228. Энталпии разбавления недиссоциированных частиц нитрата натрия в метаноле при 298,15 К. Иванова Е. Ф., Керн А. П., Слюсарь Н. Н. «11 Всес. конф. по калориметрии и хим. термодинам., Новосибирск, 17—19 июня, 1986. Тез. докл. Ч. I». Новосибирск, 1986, 168—169

Определены интегральные энталпии р-рения NaNO₃ в MeOH во всем диапазоне конц-ий. На основании эксперим. результатов получены соотв. энталпии разбавления, совпадающие с рассчитанными по теории Дебая—Хюкеля в р-рах с конц-ией 0—0,0016 Мл. В MeOH NaNO₃ образует ионные двойники. Показана возможность определения энталпии разбавления р-ра, состоящего только из недиссоциированных частиц электролита.

Л. В. Арсеенков

(баг №)

X. 1986, 19, № 20

NaNO_3

1986

Kruglyak A. I., Kiko
S. M. et al.

Russia,
 ΔH , ΔS ,
 ΔG ;

Ukr. Khim. Zh. (Russ. Ed.)
1986, 52(4), 352-5.

(c.u. LiNO_3 ; 1)

NaN_3

1986

Лукашева Р.Н., Сорина Р.А.
и др.,

XI Всесоюзная конференция
по космогенетике и освоению
космической периодичности,
Новосибирск, 1986. Тезисы
докладов, ч. I, 3-4, 178-179.

Даг. Н.

NaNO_3

1986

Искандеров Х. У., Сумга-
коб Р. Р. и др.

Туркм. 20с. №9. 2011-н. Чарг-
ысой, 1986. 23с., и.л. Бедиевдр.
11 квадр. Рыс. (Рукопись син.
в Туркес НИИХГИ 22.04.86,
N 49-Ty).

(см. NaNO_2 аг; ?)

NaNO_3 (paenr.)

1986

Tschirner Hans Ulrich,
Garlipp Bernd, et al.

$H_T - H_0$; Neue Muette 1986, 31(9),
351-3.

(cell. Al_2O_3 (paenr.); T)

NaNO₃ (K)

1986

№ 20 Б3231 Энталпия растворения нитрата натрия в смесях вода — амид. Вядягите Ю. А., Бразаускене Д. И. «11 Всес. конф. по калориметрии и хим. термодинам., Новосибирск, 17—19 июня, 1986. Тез. докл. Ч. 1». Новосибирск, 1986, 162—163

В герметичном калориметре с адиабатич. оболочкой измерены энталпии р-рения NaNO_3 в смесях вода — карбамид и вода — ДМФА, содержащих 1; 7,5; 10; 15; 20, 25 мол.% карбамида и 1, 10, 20, 30, 40, 60 мол.% ДМФА при конц-ии NaNO_3 0,01 моль/кг смеси и т-ре 298 К. С ростом конц-ии обоих амидов эндотермичность энталпии р-рения (ΔH_p) уменьшается, более резко в смесях с карбамидом. Наклон изотермы ΔH_p в смеси вода — ДМФА меняется в зоне конц-ии 20—30 мол.%, что совпадает с изменением структуры смешанного растворителя.

Л. В. Арсеенков

Х. 1986, 19, № 20

NaNO_3 Всегдаческого А. А.,
Усаковог Л. Г. и др.
1986

Даг Н;
Рег. №., "Электропрожектор",
М., 1986. 12 с., Библиогр.
16 наим. в ВИНИТИ 21.02.
86 N1206-В).

(сер. $\text{LiF}(k)$; \bar{I})

NaNO₃

1987

9 E223. Модовые параметры Грюнайзена и тепловое расширение NaNO₃. Mode Gruneisen parameters and thermal expansion of sodium nitrate. Ibrahim M. M d., Ramachandran V., Sarangapani K. «J. Phys. and Chem. Solids», 1987, 48, № 3, 263—268 (англ.)

*модовые
расширение*

На основании обобщенной теории Грюнайзена в квазигармонич. приближении в пределе низких и высоких т-р из измеренных второго и вычисленных третьего порядков упругих постоянных вычислены значения обобщенных параметров Грюнайзена.

оф. 1987, 18, № 9

NaN_3 (DM. 26409) 1987

Pandey J.D., Gupta U.,

Z. Phys. Chemie.

Leipzig, 1987, 268, N2,
283-288.

(coll. Z. NO_3 ay! ?)

NaNO₃

om. 26473

1987

18 Б3028. Определение термодинамических свойств расплавленных нитратов под давлением из измерений скорости звука. Thermodynamic properties of molten nitrates under pressure obtained from velocity of sound. Petitet J. P., Denielou L., Tufeu R. «Physica», 1987, BC144, № 3, 320—330 (англ.)

Описана конструкция установки для измерения скорости звука (v) в расплавах солей при повышенных т-рах и давл. Измерены v в расплавах NaNO_3 (I) в интервале т-р 614—739 К и давл. 18,6—283 МПа; в RbNO_3 (II) при 591—815 К и давл. 25,5—343,8 МПа и в CsNO_3 (III) при 693—948 К и 23,6—346,4 МПа. Точность измерений v оценена в 1%. Барич. зависимости плотности расплавов аппроксимированы ур-нием Тэйта $V = V_0 [1 - A \lg(B + P/B + P_0)]$, где V и V_0 — молярные объемы соли при давл. P и P_0 соотв., A и B — эмпир. коэф. Предполагалось, что коэф. A не зависит от т-ры и давл., а отношение A/B при $P = P_0$ принимало

ρ ; v

(+2)

X. 1987, 19, N 18

лось равным изотермич. сжимаемости (β_T). Проанализировано влияние ошибки измерения скорости звука на точность расчета коэф. A и рекомендованы значения A , равные 0,102, 0,104 и 0,103 для I—III соотв. С их использованием вычислены и табулированы термодинамич. ф-ции (плотность, коэф. термич. расширения, C_p , C_v изотермич. и адиабатич. сжимаемости и внутреннее давл.) расплавов I—III в указанных интервалах темп. и давлений.

П. М. Чукуров



NaNO_3 [ON. 29544]

1988

Poon W.C.-K, Salje E.,

Phys. γ . Phys. C: Solid State
Physics, 1988, 21, N4,
715-729.

The excess optical fire & ring-
gence and phase

NaNO₃

1988

23 Б3211. Спонтанная деформация при структурном фазовом переходе в NaNO₃. Spontaneous strain at the structural phase transition in NaNO₃. Reeder R. J., Redfern S. A. T., Salje E. «Phys. and Chem. Miner.», 1988, 15, № 6, 605—611 (англ.)

В диапазоне т-р 22—577 К исследованы т-рные зависимости параметров a и c элементарной ячейки NaNO₃. При $T_c = 553$ К происходит ориентац. упорядочение с изменением Пр гр. с $\bar{R}\bar{3}m$ на $\bar{R}\bar{3}c$. Коэф. термич. расширения $13,8 \cdot 10^{-5}$ при 400 и $60 \cdot 10^{-5}$ К⁻¹ при T_c . Спонтанная деформация составила $55 \cdot 10^{-3}$ при 295 К, причем она взаимодействует квадратично с параметром порядка. Крит. показатель $\beta = 0,22 \pm 0,1$, что отличается от классич. величины для переходов 2-го рода. Ниже 450 К наблюдается пересечение с трикрит. поведением ($\beta = 1/4$). Т-рная эволюция макроскопич. параметра порядка, как показывает т-рная зависимость спонтанной деформации, следует трикрит. поведению между 70 и 450 К. Ниже 70 К наблюдается насыщение параметра порядка.

По резюме

X. 1988, N 23

NaNO₃

1988

- 110: 48814k Temperature variation of the Debye-Waller factor of sodium nitrite. Somashekhar, R.; Prahllad, U. D.; Madhava, M. S. (Dép. Phys., Univ. Mysore, Mysoe, 570 006 India). *J. Mater. Sci. Lett.* 1988, 7(9), 989-90 (Eng). The x-ray Debye-Waller factors for NaNO₂ are 6.66, 2.32, 2.12, 4.36, and 4.97 Å² at 305, 368, 399, 418, and 453 K, resp. The Debye temps. are 114 and 112 K at 298 and 478 K, resp. The Debye-Waller factor decreases with increasing temp. below the phase transition (160-166°) and increases with temp. above the phase transition.

Dd

c.A.1989, 110, n6

$\text{NaNO}_3(\text{K}, \text{rc})$

1988

Takahashi Y., Sakamoto
R. et al.

$\Delta_m H$, Int. J. Thermophys.
 $A_{T_2} H, Cp$; 1988, 9 (6), 1081-90.

(see $\text{LiNO}_3(\text{K}, \text{rc})$; 1)

NaNO_3 (Om. 32131)

1989

El-Kabbany F.,
U.K. ~~and~~ Egypt Badr Y., et al.,

T_{c2} Ann. Phys. (DDR),
1989, 46, N 5, 355-366

NaNO₃

01 32627 1989

14 Б3170. Энталпии растворения некоторых нитратов в водных растворах метанола при 298,15 К. Enthalpies of solution of some nitrates in aqueous methanol solutions at 298,15 K / Pałecz B., Barczyńska J., Taniewska-Osińska S. // Thermochim. acta.— 1989.— 150, № 1.— С. 121—123.— Англ.

При т-ре 298,15 К определены энталпии р-рения (ΔH_m) NaNO₃, KNO₃, Ca(NO₃)₂ и La(NO₃)₃ в смесях вода — метанол (I) во всем интервале составов смешанного р-рителя. ΔH_m положительны для KNO₃ и NaNO₃ и отрицательны для остальных нитратов. В первом случае ΔH_m проходят через максимум в обл. [I] ≈ ≈ 15 мол. %, а во втором — абс. значения ΔH_m проходят через минимум в обл. [I] ≈ 15% и затем через максимум в обл. [I] ≈ 95%. Табулированы энталпийные парные коэф. взаимодействия молекул I и электролитов в водн. растворах.

А. С. Соловкин

Д Наг

(73)

X. 1990, N 4